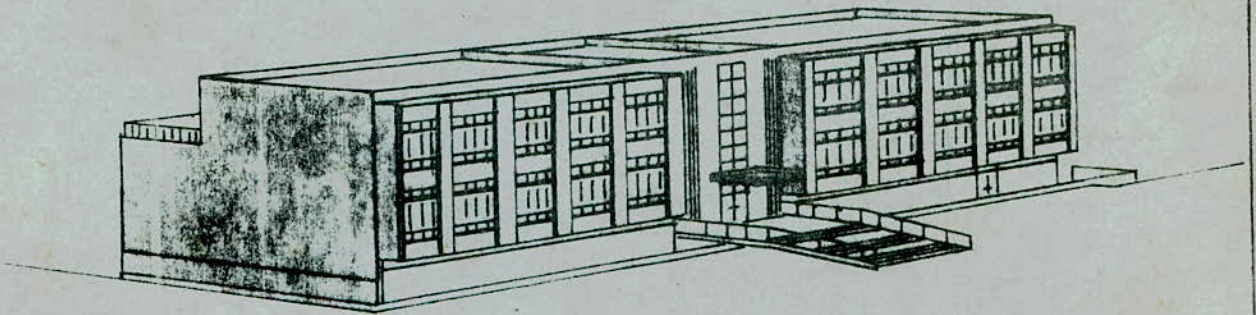


Ecole Nationale Polytechnique d'Alger

département de génie civil 16/81

*1. ex*

# projet de fin d'études



BATIMENT A USAGE DE CANTINE

Proposé par : SONELGAZ

Dirigé par : A. BOUHADJA

Etudié par :

A. CHEKIRED

M. BAHA

*1981*

Promotion : JUIN 1981

# **Table des Matières**

. Présentation et description de l'ouvrage.	1
. Caractéristiques des matériaux	5
. Calcul des éléments	
- Acrotère	9
- Calcul des poutrelles	11
- Calcul du plancher-dalle	17
. Étude du portique métallique	22
. Étude au séisme	42
- Méthode de Barman	50
- Calcul des efforts dans les portiques sous S.I.H	53
. Calcul des efforts dans les portiques sous les charges verticales	
- Méthode de Caquot	57
- Calcul des efforts dans le portique longitudinal	65
- Calcul des efforts dans le portique transversal	67
. Superposition des différentes sollicitations.	
- portique longitudinal	70
- portique transversal	74
. Ferrailage des poutres et vérifications.	78
- portique longitudinal	82
- portique transversal.	97
. Ferrailage des poteaux	106
- portique longitudinal	114
- portique transversal	119

. Calcul des fondations .	125
. Calcul de longrines	130
. Calcul des escaliers	135
. Calcul du mur de soutènement	139.

# **Introduction**

A la mémoire de notre regretté professeur de béton  
Monsieur Cheif MEROUANI.

A nos parents pour leur sacrifice.

A nos collègues et amis.

Nous tenons à remercier tous les professeurs qui ont  
contribué à notre formation, pour laquelle ce  
projet de fin d'études représente en quelque sorte  
une conclusion.

Nous remercions, tout particulièrement nos  
amis du bureau d'études de la Sonelgaz  
pour l'aide inestimable qu'ils nous ont fournie.

Nous souhaitons aussi à nos camarades et  
frères des promotions à venir beaucoup de courage et  
de chance dans les études.

1

## PRESENTATION. ET. DESCRIPTION.

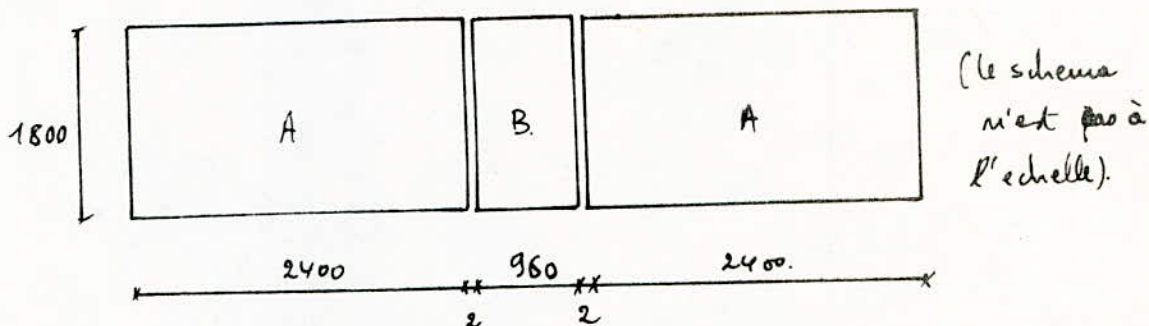
### DE. L'OUVRAGE.

Le projet dont suit l'étude porte sur le calcul des éléments résistants d'un bâtiment à usage de cantine.

Ce bâtiment sera situé à Alger (Gré-de-Constantine).

Il se compose de 3 blocs dont 2 sont symétriques.

Compte tenu des recommandations pour les ouvrages en béton armé et afin de ne pas tenir compte des effets dus aux variations de température, on prévoira 2 joints de dilatation de 2 cm comme indiqué sur le schéma suivant.



L'étude portera sur les blocs "A" et sur quelques éléments du bloc B.

Notre bâtiment étant entouré sur 3 côtés, nous prévoirons un mur de soutènement sur les 3 côtés et nous en ferons le calcul.

#### Taux de travail du Sol:

Le rapport de sol donné par le L.N.T.P.B fournit une contrainte admissible de  $2 \text{ kg/cm}^2$  à une profondeur de 1,5 m. Nous adopterons pour l'ensemble du bâtiment des semelles superficielles.

### Béton Armé :

- Tout le béton armé entrant dans la constitution du bâtiment sera conforme aux règles techniques de conception et de calcul des ouvrages en B.A (C.C. B.A 68) et à tous les règlements en vigueur applicables en Algérie.
- Pour l'acier nous utiliserons de l'acier à haute adhérence conforme aux normes ; et de l'acier doux de nuance FeE24.

### Ossature :

L'ossature du bâtiment est constituée de portiques longitudinaux et de portiques transversaux. Ces portiques sont constitués de poutres et de poteaux encastres les uns dans les autres assurant ainsi le contreventement du bâtiment.

Pour le bloc A, le dernier niveau sera constitué par un portique métallique et ce pour la grande portée des poutres transversales (12m).

Ces portiques métalliques seront articulés à leur base.

L'ossature du bloc B sera entièrement en béton-armé.

L'ouvrage reposera sur le sol par l'intermédiaire de "gras béton" qui sera prévu sous les semelles et les longrines.

### Plancher :

Le bâtiment comprend 2 types de planchers :

- plancher en dalle pleine. (2<sup>ème</sup> et 1<sup>er</sup> sous-sol).
- plancher à corps creux avec dalle de compression reposant sur des poutrelles préfabriquées.



3

Maçonnerie:

- Murs extérieurs:
  - doison en briques creuses (15 cm)
  - vide d'air de 5 cm
  - doison en briques creuses (10 cm).
- Murs intérieurs: - doison de séparation en briques creuses (5 cm).

Revêtements:

- Céramique dans les salles d'eau
- Carrelage ailleurs.

Convertisseurs

<u>potique métallique</u> : complexe d'étanchéité:	40 kg/m <sup>2</sup>
forme de pente	300 kg/m <sup>2</sup>
plaque de liège	8
TN. 40	40
Solives métalliques	40
	<hr/>
	$\Sigma CP = 428 \text{ kg/m}^2$

Bloc central: - plancher terrasse inaccessibles

Gravillons (protection - étanchéité)	60 kg/m <sup>2</sup>
multicouches	10
chape	80
Isolation thermique (liège)	12
Forme de pente	55
Houdis + table de compression	325
plâtre	18
	<hr/>
	$\Sigma CP = 560 \text{ kg/m}^2$

4

- Plancher à corps-neux.

- carrelage.	44 kg/m <sup>2</sup>
- Mortier de pose	40
- sable	51
- Isolation phonique	10
- cloison.	75
- Moudis + Table de compression (20x5).	325
- Enduit plaque	13
	<hr/>
	$\Sigma CP = 558 \text{ kg/m}^2$

- Surcharges d'exploitation (non majorées).

- terrasse.	100 kg/m <sup>2</sup>
- Plancher du 1 <sup>er</sup> étage.	500 kg/m <sup>2</sup>
- du R.D.C	500 kg/m <sup>2</sup>
- Plancher du 1 <sup>er</sup> Sous-sol	800 kg/m <sup>2</sup>
- Plancher du 2 <sup>e</sup> Sous sol	450 kg/m <sup>2</sup> .

# CARACTERISTIQUES DES MATERIAUX

## LE BETON.

- . Il est dosé à  $350 \text{ kg/m}^3$  de CPA 325 à contrôle atténué.
- . Grossueur des granulats :  $C_g$  5/15 mm.
- . Résistance nominale de compression  $\sigma'_{28} = 270 \text{ bars}$
- . Résistance nominale de traction  $\sigma_{28} = 23,2 \text{ bars.}$

Contrainte de compression admissible (art 9.4. C.C.B.A. 68).

Elle est prise égale à une fraction de sa résistance à 28 j

$$\bar{\sigma}'_b = \rho'_b \cdot \sigma'_{28}$$

$$\text{avec } \rho'_b = \alpha \cdot \beta \cdot \gamma \cdot \delta \cdot \varepsilon.$$

$\alpha$  : dépend de la classe de ciment utilisé  $\alpha = 1$  (CPA 325)

$\beta$  : dépend de l'efficacité du contrôle.  $\beta = 5/6$  (contrôle atténué)

$\gamma$  : dépend des épaisseurs relatives des éléments et des dimensions des granulats.  $C_g : 5/15. \quad \gamma = 1$

$\delta$  : dépend de la nature de la sollicitation.

$\delta = 0,30$  en compression simple

$\delta = 0,60$  en flexion simple.

- en flexion composée (Art 9.4. C.C.B.A. 68).

$\delta = 0,60$  : l'effort normal est une traction

$$\delta = \begin{cases} 0,30 \left(1 + \frac{e_0}{3e_1}\right) & \text{si } \delta < 0,60 \\ 0,60 & \text{si } \delta > 0,60 \end{cases} \quad \begin{array}{l} \text{l'effort normal} \\ \text{est une compression.} \end{array}$$

avec :  $e_0$  : excentricité de la résultante des forces extérieures par rapport au centre de gravité du béton seul.

(6)

$e_1$  : distance de la limite du noyau central au c.d.g de la section de béton seul dans le plan radial passant par le centre de pression

Lorsqu'il s'agit d'une sollicitation pondérée du 2<sup>e</sup> genre, les valeurs de  $\delta$  sont multipliées par 1,5.

$\varepsilon$  : dépend de la forme de la section et de la position de l'axe neutre.

$\varepsilon = 1$  en compression simple

$0,5 < \varepsilon < 1$  dans les autres cas.

En compression simple.

$$\bar{\sigma}'_{b0} = 1,5/6 \cdot 1 \cdot 0,3 \cdot 1 \cdot 270 = 67,5 \text{ bars} = 68,85 \text{ kg/cm}^2 \text{ (SP}_1\text{)}$$

$$\bar{\sigma}'_{b0} = 1,5 \cdot 67,5 = 101,25 \text{ bars} = 103,3 \text{ kg/cm}^2 \text{ (SP}_2\text{)}$$

En flexion simple :

$$\bar{\sigma}'_b = 135 \text{ bars} = 137,7 \text{ kg/cm}^2 \text{ (SP}_1\text{)}$$

$$\bar{\sigma}'_b = 202,5 \text{ bars} = 206,5 \text{ kg/cm}^2 \text{ (SP}_2\text{)}$$

Contrainte de traction de référence (Art 9.5 . c.c.B.A.68)

$$\bar{\sigma}_b = \alpha \cdot \beta \cdot \gamma \cdot \theta \cdot \sigma'_{28}$$

$\alpha, \beta, \gamma$  : idem que précédemment.

$$\theta = 0,018 + \frac{2,1}{\sigma'_{28}} \text{ (}\sigma'_{28} \text{ en bars)}$$

$$\bar{\sigma}_b = 5,8 \text{ bars} = 5,9 \text{ kg/cm}^2 \text{ (SP}_1\text{)}$$

$$\bar{\sigma}_b = 8,7 \text{ bars} = 8,9 \text{ kg/cm}^2 \text{ (SP}_2\text{)}$$

7

## ACIERS.

on distingue deux categories d'acier.

- aciers doux ou ronds lisses.

marque FeE24 ;  $\bar{\sigma}_{eu} = 2350 \text{ bars} = 2400 \text{ kg/cm}^2$  (limite elastique nominale).

- contraintes admissibles.

$$\bar{\sigma}_a = \frac{2}{3} \bar{\sigma}_{eu} = 1600 \text{ kg/cm}^2 \quad (SP_1)$$

$$\bar{\sigma}_a = \bar{\sigma}_{eu} = 2400 \text{ kg/cm}^2 \quad (SP_2).$$

- aciers à haute adherence ou aciers Tor.

marque FeE40 .  $\bar{\sigma}_{eu} = 4120 \text{ bars} = 4200 \text{ kg/cm}^2$  pour  $\phi \leq 20 \text{ mm}$ .

$\bar{\sigma}_{eu} = 3920 \text{ bars} = 4000 \text{ kg/cm}^2$  pour  $\phi > 20 \text{ mm}$

Contraintes admissibles.

$$\phi \leq 20 \text{ mm.} \quad \begin{cases} \bar{\sigma}_a = 2800 \text{ kg/cm}^2 & (SP_1) \\ \bar{\sigma}_a = 4200 \text{ kg/cm}^2 & (SP_2) \end{cases}$$

$$\phi > 20 \text{ mm.} \quad \begin{cases} \bar{\sigma}_a = 2665 \text{ kg/cm}^2 & (SP_1) \\ \bar{\sigma}_a = 4000 \text{ kg/cm}^2 & (SP_2) \end{cases}$$

Contraintes de traction imposées par la condition de fissuration (Art. 4.9)

La valeur maximale de la contrainte des armatures est limitée à la plus grande des valeurs suivantes (en bars).

$$\bar{\sigma}_1 = k \cdot \eta \cdot \frac{\bar{\omega}_f}{1 + 10 \bar{\omega}_f} \quad : \text{ contrainte de fissuration systematique}$$

$$\bar{\sigma}_2 = 2,4 \sqrt{\eta \cdot \frac{k}{\phi} \cdot \bar{\sigma}_b} \quad : \text{ contrainte de fissuration non systematique ou accidentelle.}$$

8

$\eta$  : coefficient de fissuration  $\left\{ \begin{array}{l} = 1 \text{ Ronds lisses} \\ = 1,6 \text{ H.A.} \end{array} \right.$

$\phi$  : diamètre de la plus grosse barre (en mm)

$\bar{w}_f$  : pourcentage de fissuration.  $\bar{w}_f = \frac{A}{B_f}$

A : section des armatures tendues

$B_f$  : section d'enrobage des barres tendues

K : coefficient dépendant des conséquences de la fissuration sur le comportement de l'ouvrage.

-  $K = 1,5 \cdot 10^6$  fissuration peu préjudiciable.

-  $K = 1 \cdot 10^6$  fissuration préjudiciable.

-  $K = 0,5 \cdot 10^6$  fissuration très préjudiciable.

### - Treillis ronds

$\phi \leq 6 \text{ mm}$  :  $\sigma_{eu} = 5200 \text{ bars} = 5304 \text{ kg/cm}^2$ .

$\phi > 6 \text{ mm}$  :  $\sigma_{eu} = 4410 \text{ bars} = 4500 \text{ kg/cm}^2$ .

Contraintes admissibles

$\phi \leq 6 \text{ mm}$  :  $\bar{\sigma}_e = 3533 \text{ kg/cm}^2$  (SP1)

$\phi > 6 \text{ mm}$  :  $\bar{\sigma}_e = 3000 \text{ kg/cm}^2$  (SP1)

$\phi \leq 6 \text{ mm}$  :  $\bar{\sigma}_e = 5300 \text{ kg/cm}^2$  (SP2)

$\phi > 6 \text{ mm}$  :  $\bar{\sigma}_e = 4500 \text{ kg/cm}^2$  (SP2).

# Calcul des Elements

9

- ACROTÈRE -

L'acrotère est calculée, comme étant encastrée au plancher.  
Le calcul de l'acrotère se fera pour une bande de 1 mètre.  
L'acrotère a une épaisseur de 15 cm et une hauteur de 60 cm.  
Poids propre de l'acrotère:  $G = 350 \text{ kg/ml}$ .  
Surcharge horizontale.  $P = 100 \text{ kg/ml}$ .  
Nous avons ainsi à calculer une section rectangulaire (100x15)  
soumise à la flexion composée.

Calcul des efforts pour une bande de un (1) mètre.

$$N = 350 \text{ kg.}$$

$$M = 1,2 \cdot P \cdot h = 1,2 \cdot 100 \cdot 0,60 = 72 \text{ kgm.}$$

$$e = \frac{M}{N} = \frac{72}{350} = 0,206 > \frac{h}{6} \rightarrow \text{section partiellement comprimée.}$$

$$\rightarrow M = P \cdot h + N \left( \frac{h_0}{2} - a \right).$$

$$= 120 \cdot 0,6 + 350 \left( \frac{0,15}{2} - 0,03 \right) = 91 \text{ kgm.}$$

Calcul des armatures.

$$\mu = \frac{15 \cdot 91 \cdot 10^2}{2800 \cdot 100 \cdot 12} = 0,0029 \rightarrow \begin{cases} k = 186,6 \\ \epsilon = 0,9752. \end{cases}$$

$$A_1 = \frac{91 \cdot 10^2}{2800 \cdot 0,9752 \cdot 12} = 0,29 \text{ cm}^2.$$

$$\rightarrow A = A_1 - \frac{N}{\sigma_s} = 0,29 - \frac{350}{2800} = 0,16 \text{ cm}^2$$



Calculations de la condition de non-fragilité

$$A \geq 0,69 \cdot b \cdot h \cdot \frac{\bar{\sigma}_0}{\bar{\sigma}_{cu}} = 0,69 \cdot 100 \cdot 12 \cdot \frac{5,9}{4200} = 1,26 \text{ cm}^2$$

→ 5TG par m. (1,46 cm<sup>2</sup>)

On prévoit des armatures de peau.

Vérification de la condition de non-fissuration.

$$\bar{\sigma}_{f, \text{réel}} = \frac{A}{S_f} = \frac{1,41}{10 \times 4} = 0,0029$$

$$\bar{\sigma}_{f, \text{théorique}} = 0,0114.$$

$$\left. \begin{array}{l} \bar{\sigma}_{f, \text{théorique}} > \bar{\sigma}_{f, \text{réel}} \end{array} \right\}$$

$$\rightarrow \bar{\sigma}_f = \bar{\sigma}_2 = 2984 \text{ kg/cm}^2$$

→ vérifié (> 2800 kg/cm<sup>2</sup>)

Ma que notre acrotère se termine par un "chapeau" à 2 pentes différentes, nous prendrons 5TG pour le maintien du bord extérieur du "chapeau" en plus des 5TG nécessaires pour la résistance de l'acrotère.

Vérification au séisme :

Les acrotères sont soumis à des sollicitations horizontales de direction quelconque agissant seules:  $F_H = \bar{\sigma} \cdot W$ .

$$\bar{\sigma} = \text{coefficient séismique local uniforme} = 0,20 + 0,10 \cdot \alpha = 0,30 \quad (\alpha = 1).$$

$$W = G + P \quad : \quad G : \text{poids propre de l'acrotère}$$

$$P : \text{surcharge d'exploitation verticale} \quad (P = 0).$$

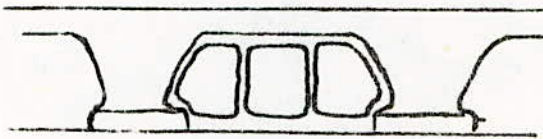
$$W = G + 0 = 360 \text{ kg.}$$

$$F_H = \bar{\sigma} \cdot W = 0,3 \cdot 360 = 108 \text{ kg.} < 120 \text{ kg.}$$

→ la vérification au séisme n'est pas nécessaire.

## CALCUL - DES - POUTRELLES.

Les poutrelles que nous nous proposons de calculer sont les poutrelles d'un plancher à corps creux (20+5).



Les poutrelles sont préfabriquées sur chantier. Elles possèdent des armatures en attente permettant une bonne liaison avec le béton des poutres et des dalles de compression. Les poutrelles seront calculées sous les sollicitations du 1<sup>er</sup> genre (SPA). : G+1,2 P.  
 Dans notre calcul, nous ne considérons que les poutrelles du niveau II et celles du niveau III. Le plancher du niveau II étant constitué par une dalle pleine de 20 cm d'épaisseur.

- charge revenant à la poutrelle :

$$q = (558 + 1,2 \cdot 500) \times 0,60 = 695 \text{ kg/ml.}$$

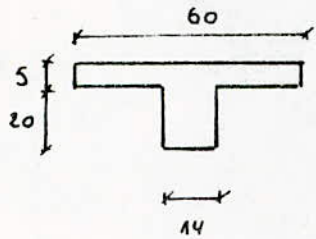
0,60 m correspond à la largeur de la table de compression.

- Poids propre de la poutrelle :

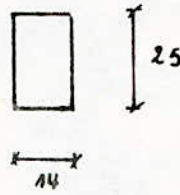
$$0,20 \times 0,14 \times 2500 = 70 \text{ kg/ml.}$$

- Charge totale :  $695 + 70 = 765 \text{ kg/ml.}$

Pour les poutrelles, les sections de calcul diffèrent selon que l'on se place à l'appui ou en travée.

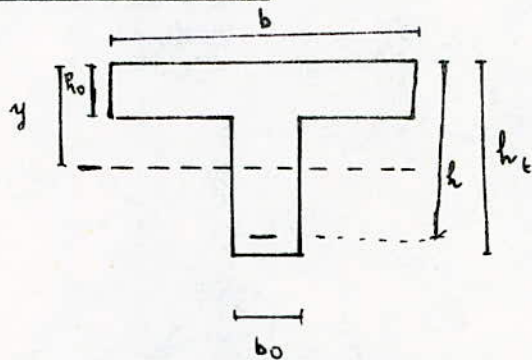


En Travée



Sur Appui

Calcul des sections d'acier



on calcule  $\mu = \frac{15 \cdot M}{\bar{\sigma}_a \cdot b \cdot h^2}$  Abaques  $\rightarrow \epsilon, \alpha, K$

si  $\alpha h \leq h_0$  : l'axe neutre tombe dans la table de compression

si  $\alpha h > h_0$  : l'axe neutre tombe dans la nervure.

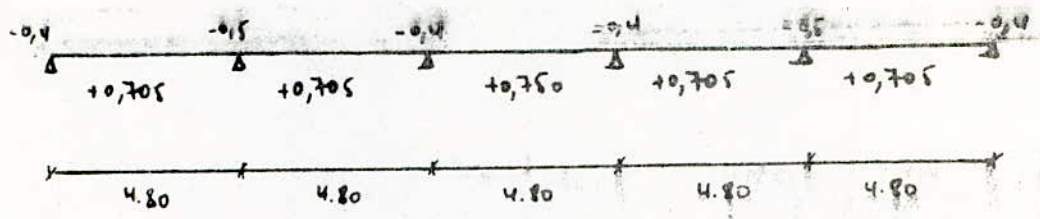
on vérifie que

$\bar{\sigma}'_b = \frac{\bar{\sigma}'_a}{K} < \bar{\sigma}'_b$  mais avons alors la condition

$\bar{\sigma}'_{me} \leq \bar{\sigma}'_{b0}$  donc nous aurons uniquement des armatures tendues.

La poutrelle est calculée comme une poutre sur plusieurs appuis.

avec  $M_0 = q \frac{l^2}{8}$  et  $T = 1,15 \cdot q \cdot \frac{l}{2}$



$$M_0 = q \frac{l^2}{8} = 765 \cdot \frac{4,8^2}{8} = 2204 \text{ kg.m.}$$

$$T = 1,15 \cdot q \frac{l}{2} = 2640 \text{ kg.}$$

Sur Appuis

- $\alpha = 0,4. \quad M_a = 882 \text{ kg.m}$
- $\alpha = 0,5 \quad M_a = 1102 \text{ kg.m}$

En Travers

- $\alpha = 0,705. \quad M_t = 1554 \text{ kg.m}$
- $\alpha = 0,705 \quad M_t = 1653 \text{ kg.m.}$

Sections. D'acier . En. Travers.										
	$M_t$	$\mu$	$K$	$\alpha$	$\epsilon$	$\alpha h$	$\epsilon h$	$A_{calculée}$	$A_{choisie}$	$\phi$
$\alpha = 0,705$	1554	0,0747	47,6	0,2396	0,9201	4,79	18,402	3,02	3,39	3T12
$\alpha = 0,750$	1653	0,0769	46	0,2459	0,9180	4,918	18,76	3,21	3,39	3T12

Sections. D'acier . Aux. Appuis								
	$M_a$	$\mu$	$K$	$\epsilon$	$\epsilon.h$	$A_{calculée}$	$A_{choisie}$	$\phi$
$\alpha = 0,4$	882	0,0638	32,9	0,8956	20,5	1,53	2,26	2T12
$\alpha = 0,5$	1102	0,0797	28,6	0,8853	20,5	1,94	2,26	2T12

Vérification de la condition de non-fragilité.

$$A \geq 0,69 \cdot b \cdot h \cdot \frac{\bar{\sigma}_b}{\bar{\sigma}_{cu}}$$

Sur appuis:  $A \geq 0,69 \cdot 23 \cdot 14 \cdot \frac{5,8}{4200} = 0,307 \text{ cm}^2$  vérifié.

En travées  $A \geq 0,69 \cdot 60 \times 20 \times \frac{5,8}{4200} = 1,15 \text{ cm}^2$  vérifié.

Vérification de la flèche (Art 58.4. C.C.B. A 68).

Si les 3 conditions suivantes sont simultanément vérifiées, la justification des flèches n'est pas nécessaire.

$$1/ \frac{h_t}{l} \geq \frac{1}{15} \frac{M_t}{M_0} \rightarrow \frac{0,25}{4,80} = 0,0521 > \frac{1}{15} \cdot 0,75 = 0,05$$

$$2/ \frac{A}{b \cdot h} < \frac{36}{\bar{\sigma}_{cu}} \rightarrow \frac{1,53}{14 \times 23} = 0,00475 < \frac{36}{4200} = 0,0085$$

$$3/ \frac{h_t}{l} \geq \frac{1}{22,5} \rightarrow \frac{0,25}{4,80} = 0,0521 > \frac{1}{22,5} = 0,044$$

Vérification de la condition de non-fissuration.

La condition de fissuration nous donne une limite de la contrainte admissible qui est le maximum de  $(\bar{\sigma}_1, \bar{\sigma}_2)$ . Une autre limite est imposée par l'eau:  $\bar{\sigma}_e$ . Nous avons donc:

$$\bar{\sigma}_{af} = \min \left\{ \begin{array}{l} \max(\bar{\sigma}_1, \bar{\sigma}_2) \\ \bar{\sigma}_e \end{array} \right.$$

On calcule le pourcentage réel de fissuration:  $\bar{\omega}_{f \text{ réel}} = \frac{3,39}{4 \times 14} = 0,06$

$\bar{\omega}_{f \text{ théo}} = 0,016 \rightarrow \bar{\omega}_{f \text{ réel}} > \bar{\omega}_{f \text{ théo}} \xrightarrow[\text{(p.30)}]{\text{(Aide Mémoire)}} \bar{\sigma}_2 > 3000 \rightarrow \text{vérifié.}$

Contrainte de l'adhérence: (Art 29. C.C.B.A 68).

on doit vérifier que:  $\tau_d < \bar{\tau}_d = 2 \psi_s \cdot \bar{\sigma}_b$

avec  $\psi_s$ : coefficient de scellement = 1,5 pour HA

$$\bar{\sigma}_b = 5,8 \text{ kg/cm}^2.$$

$$\bar{\tau}_d = 2 \times 1,5 \times 5,8 = 17,4 \text{ kg/cm}^2.$$

$$\tau_d = \frac{T}{n \cdot p \cdot z} \quad \text{avec } T = T_{\max} = 1,15 \cdot q \frac{l}{2} = 3540 \text{ kg.}$$

$p$ : périmètre d'une barre

$n$ : nombre de barres.

$$z = \frac{7}{8} \cdot h = \frac{7}{8} \cdot 23 = 20,19 \text{ cm.}$$

$$\tau_d = \frac{3540}{14 \cdot 31 \cdot 20,19} = 15,51 < 17,4 \text{ kg/cm}^2.$$

Calcul des armatures transversales (Art 25. C.C.B.A 68).

On calcule les armatures transversales pour l'effort tranchant maximum et on adopte ces armatures pour toutes les poutrelles.

On choisit des cadres verticaux  $\phi 6$ :  $A = 0,56 \text{ cm}^2$ .

$$\text{Contrainte de cisaillement maximum: } \tau_b = \frac{T}{b_0 \cdot z} = \frac{3540}{14 \cdot \frac{7}{8} \cdot 23} = 12,52 \text{ kg/cm}^2$$

$$\sigma'_b = \frac{\sigma_a}{\kappa} = \frac{2100}{21,6} = 98 \text{ kg/cm}^2.$$

$$\bar{\sigma}'_{b0} < \sigma'_b < 2 \bar{\sigma}'_{b0}$$

$$\text{on vérifie que: } \tau_b \leq \left(4,5 - \frac{98}{68,5}\right) 5,8 = 17,80 \text{ kg/cm}^2.$$

contrainte admissible des armatures transversales

on ne fait pas de reprise de bétonnage.

$$\bar{\sigma}_{at} = 3.5 \text{ cm} \quad \text{avec } \beta = \frac{2}{3}$$

$$\bar{f}_{at} = \frac{2}{3} \cdot 2400 = 1600 \text{ kg/cm}^2$$

écartement admissible

$$\bar{x} = \max \left\{ \begin{array}{l} t_1 = 0,2 \cdot h = 4,6 \text{ cm} \\ t_2 = h \left( 1 - 0,3 \frac{\sigma_b}{\bar{\sigma}_b} \right) = 8,1 \text{ cm} \end{array} \right.$$

espacement des armatures transversales

$$\text{à l'appui on aura: } t = A_t \cdot 3 \cdot \frac{\bar{\sigma}_{at}}{T} = 0,56 \frac{7}{8} \cdot 23 \cdot \frac{1600}{3540} = 5,1 \text{ cm}$$

Vue le faible espacement des armatures transversales, nous adopterons des cages  $\phi 8$  avec un espacement de 8 cm.

Fermeture de la dalle de compression (Art 58.2)

Les dimensions des mailles du treillis soudé ne doivent pas dépasser:

- 20 cm pour les armatures perpendiculaires aux nervures
- 33 cm pour les armatures parallèles aux nervures.

Nous prendrons un treillis soudé  $\phi 5$  à mailles  $20 \times 30$

Nous devons en outre vérifier les sections d'armatures sachant que

$l_n$  (écartement entre axes des nervures) est compris entre 50 et 80 cm.

$$\text{On doit vérifier que: } A_t \geq \frac{43}{\bar{\sigma}_{at}} \cdot l_n$$

$$\left. \begin{array}{l} l_n = 60 \text{ cm} \\ \bar{\sigma}_{at} = 5304 \text{ kg/cm}^2 \end{array} \right\} A = \frac{43}{5304} \cdot 60 = 0,49 \text{ cm}^2 < A_t = 5\phi 5 = 0,981 \text{ cm}^2$$

Etude du plancher du 1<sup>er</sup> sous-sol.

C'est un plancher destiné à supporter de très fortes surcharges.  
Il sera constitué, pour cela, d'une dalle pleine en béton armé,  
d'épaisseur 20 cm.

Évaluation des charges et surcharges

• Charges permanentes :	- carrelage	44 kg/m <sup>2</sup>
	- mortier de pose	40
	- sable	52
	- isolation	10
	- dalle	500
	- cloison	<u>75</u>

$G = 720 \text{ kg/m}^2$

• A ce poids propre, on ajoute une charge à considérer  
comme permanente de  $1000 \text{ kg/m}^2$  relative au matériel  
posé. La charge totale sera de :  $1720 \text{ kg/m}^2$ .

• On supposera une surcharge de  $250 \text{ kg/m}^2$ .

$\rightarrow G + 1,2 P = q = 2020 \text{ kg/m}^2$ .

Exposé de la méthode de calcul des dalles (ou panneaux).

Le plancher que nous avons à calculer est constitué de panneaux  
ou dalles uniformément chargés et appuyés sur leur contour.

En désignant par  $l_x$  et  $l_y$  les dimensions des dalles mesurées  
entre mes intérieurs d'appuis des panneaux ( $l_x < l_y$ ) on a 2 cas à  
envisager suivant la valeur du rapport  $f = \frac{l_x}{l_y}$ .



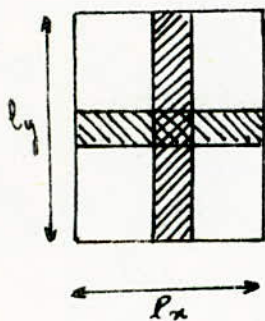
•  $\frac{l_x}{l_y} \leq 0,4$  : Panneau long :

la dalle porte alors dans un seul sens. On ne tient compte de la flexion que suivant la petite dimension. On calcule alors les armatures parallèles à  $l_x$ . Selon  $l_y$ , on placera uniquement des armatures de répartition. la dalle sera calculée comme une poutre rectangulaire de largeur 1m, d'épaisseur  $h$  et de portée  $l_x$ .

•  $0,4 < \frac{l_x}{l_y} \leq 1$  : Panneau court :

On calcule les armatures dans les 2 directions.

Si on considère un panneau uniformément chargé et reposant librement sur son pourtour, les règles C.C.B.A. 68 (Annexes A2) permettent de déterminer les moments au centre du panneau par bande de largeur unité. (voir figure ci-contre).



$$\begin{cases} M_{x0} = \mu_x \cdot q \cdot l_x^2 \\ M_{y0} = \mu_y \cdot M_{x0} \end{cases}$$

avec :  $q$  : charge uniformément répartie.

$\mu_x$  et  $\mu_y$  : sont donnés en fonction de  $\beta$  par une échelle fonctionnelle.

Pour tous les panneaux, nous prendrons selon la direction considérée :

$$M_x = 0,85 \cdot M$$

$$\text{et } M_y = 0,50 \cdot M.$$

19

• suivant  $l_x$  : 1° en travée

$$\mu = \frac{15 M}{\bar{\sigma}_a \cdot b \cdot h^2} = \frac{15 \cdot 1973 \cdot 10^2}{2800 \cdot 100 \cdot 17^2} = 0,0366 \rightarrow K = 46,12 > \bar{K}$$

$$\epsilon = 0,9182$$

$$\rightarrow A = \frac{M}{\bar{\sigma}_a \cdot \epsilon \cdot h} = \frac{1973 \cdot 10^2}{2800 \cdot 0,9182 \cdot 17} = 4,53 \text{ cm}^2$$

→ 5 T12 p.m. (5,65 cm<sup>2</sup>)

2° sur appui

$$\mu = \frac{15 \cdot 1161 \cdot 10^2}{2800 \cdot 100 \cdot 17^2} = 0,0215 \rightarrow K = 62,88 > \bar{K}$$

$$\epsilon = 0,9358$$

$$\rightarrow A = \frac{1161 \cdot 10^2}{2800 \cdot 0,9358 \cdot 17} = 2,61 \text{ cm}^2$$

→ 3 T12 p.m. (3,39 cm<sup>2</sup>)

• suivant  $l_y$ :

- en travée :  $A = 3,1 \text{ cm}^2 \rightarrow 4 \text{ T12 p.m. (4,52 cm}^2)$

- sur appui :  $A = 1,8 \text{ cm}^2 \rightarrow 2 \text{ T12 p.m. (2,26 cm}^2)$

Vérification de la condition de non-fragilité : (c.c.B.A. Art 52)

• suivant  $l_x$  :

$$A \geq 0,69 \cdot b \cdot h \cdot \frac{\bar{\sigma}_b}{\bar{\sigma}_{cu}} \left(1 - \frac{f}{2}\right) = 0,69 \cdot 100 \cdot 17 \cdot \frac{5,9}{4200} \left(1 - \frac{0,78}{2}\right) = 1,01 \text{ cm}^2$$

vérifié.

• suivant  $l_y$

$$A \geq 0,69 \cdot b \cdot h \cdot \frac{\bar{\sigma}_b}{\bar{\sigma}_{cu}} \left(1 + \frac{f}{4}\right) = 0,69 \cdot 100 \cdot 16 \cdot \frac{5,9}{4200} \left(1 + \frac{0,78}{4}\right) = 1,94 \text{ cm}^2$$

vérifié.

Étude des liaisons:

Si on appelle  $P$  la charge totale sur la surface de tout le panneau, on aura:

• au milieu de  $l_x$  :  $T = \frac{P}{3l_y}$

• au milieu de  $l_y$  :  $T = \frac{P}{2l_y + l_x}$

- Étude d'un panneau.

$$\left. \begin{array}{l} l_x = 4,25 \text{ m} \\ l_y = 5,45 \text{ m} \end{array} \right\} \rightarrow \beta = 0,78 \rightarrow \begin{cases} \mu_x = 0,0636 \\ \mu_y = 0,653 \end{cases}$$

$$M_{x0} = \mu_x \cdot q \cdot l_x^2 = 0,0636 \cdot 2020 \cdot 4,25^2 = 2321 \text{ kgm.}$$

$$M_{y0} = \mu_y \cdot M_{x0} = 0,653 \cdot 2321 = 1516 \text{ kgm.}$$

• Entravée:

$$M_{tx} = 0,85 \cdot M_{x0} = 0,85 \cdot 2321 = 1973 \text{ kgm.}$$

$$M_{ty} = 0,85 \cdot M_{y0} = 0,85 \cdot 1516 = 1289 \text{ kgm.}$$

• Sur appui

$$M_{ax} = 0,5 \cdot M_{x0} = 0,50 \cdot 2321 = 1161 \text{ kgm.}$$

$$M_{ay} = 0,5 \cdot M_{y0} = 0,50 \cdot 1516 = 758 \text{ kgm.}$$

Détermination des moments:

On utilisera la même méthode que pour une poutre soumise à la flexion simple.

Vérification de la flèche. (Art 61.22. C.C.B.A. 68).

Si les conditions qui suivent sont vérifiées, la justification de la flèche n'est pas nécessaire.

$$1/ \frac{h_t}{l_x} > \frac{1}{20} \frac{M_t}{M_x} \quad \rightarrow \quad \frac{20}{425} = 0,047 > \frac{1}{20} \cdot 0,85 = 0,0425$$

$$2/ \frac{A}{b \cdot h} < \frac{20}{5 \text{ cm}} \quad \rightarrow \quad \frac{5,65}{150 \cdot 17} = 0,0021 < \frac{20}{4200} = 0,0047.$$

Vérification de la contrainte de cisaillement.

$$T_{\max} = \frac{F}{2l_y + l_x} = \frac{q \cdot l_x \cdot l_y}{2l_y + l_x} = \frac{2020 \cdot 4,25 \cdot 5,45}{2 \cdot 5,45 + 4,25} = 3089 \text{ kg}$$

$$\tau_b = \frac{T}{b \cdot z} = \frac{3089}{100 \cdot \frac{7}{2} \cdot 17} = 2,1 \text{ kg/cm}^2$$

$$\tau_b < 1,15 \cdot \bar{\tau}_b = 6,78 \text{ kg/cm}^2 = \bar{\tau}_b.$$

Les armatures transversales ne sont pas nécessaires.

• Dalle du 2<sup>3</sup> sous-sol. (Dalle flottante)

La dalle du 2<sup>e</sup> sous-sol aura une épaisseur de 15 cm et sera armée de la même manière que la dalle du 1<sup>er</sup> sous-sol.

## CALCUL DU PORTIQUE METALLIQUE

Le portique étudié est un portique en charpente métallique articulé à la base. Nous avons choisi un portique métallique avec la grande portée des poutres transversales du niveau V. Les poutres transversales ont une portée de 12m et sont posées sur les poteaux. Les poutres longitudinales sont rivées à l'axe des poteaux par l'intermédiaire d'une plaque. Les portiques dans les deux sens seront dimensionnés sous la combinaison la plus défavorable c'est-à-dire en tenant compte du séisme. (G+P+SI). qui donne des efforts horizontaux.

### Poids de la couverture :

- complexe d'étanchéité	40 kg/m <sup>2</sup>
- forme de pente	300 "
- plaques de liège (isolation phonique).	8 "
- TN 40	40 "
- Solives métalliques	40 "
	<hr/>
	G = 428 kg/m <sup>2</sup>

### Surcharge d'exploitation :

$$P = 100 \text{ kg/m}^2.$$

**Portique**

**Metallique**

Calcul de la potique transversal.

Surface revenant au potique transversal

$$S = 4,8 \times 13,2 = 63,36 \text{ m}^2.$$

Charges fournies au système :  $G + P/5$ .

• poutres longitudinales:  $4 \times 4,8 \times 248 = 4762$

• poutres transversales:  $248 \times 13,2 = 3274$

• couvertures :  $429 \times 63,36 = 27118$

• poteaux :  $170 \times 2 \times 4,2 = 1428$

---


$$G = 36582 \text{ kg.}$$

$$P = 100 \times 63,36 = 6336 \text{ kg.}$$

$$W = G + \frac{P}{5} = 37850 \text{ kg}$$

Le potique est à un seul niveau:  $\beta_T = 0,2047$ .

$$\rightarrow F_T = \beta_T \cdot W = 0,2047 \times 37850 = 7748 \text{ kg.}$$

Calcul de la charge verticale par mètre-linéaire

$$q_v = \frac{7748}{12} = 646 \text{ kg/ml.}$$

$$\rightarrow CP = 429 \times 4,8 + 248 = 2303 \text{ kg/ml}$$

$$P = 100 \times 4,8 = 480 \text{ kg/ml.}$$

$$SI_v = 646 \text{ kg/ml.}$$

$$\rightarrow q(CP + P + SI_v) = 3429 \text{ kg/ml.}$$

Moments dus aux charges verticales.

• en travée :

$$M = q \frac{l^2}{24} = 3429 \cdot \frac{12^2}{24} = 20574 \text{ kgm.}$$

• sur appui

$$M = q \frac{l^2}{12} = 3429 \cdot \frac{12^2}{12} = 41148 \text{ kgm.}$$

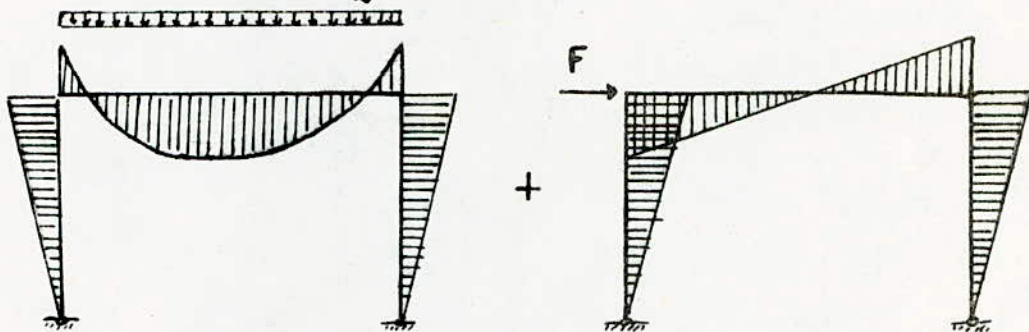
Moments dus aux charges horizontales :

$$F = 7748 \text{ kg}$$

$$\rightarrow M = F \cdot \frac{h}{2} = 7748 \times \frac{4,2}{2} = \frac{32542}{2} \text{ kgm.} = 16271 \text{ kgm.}$$

Moment total sur appui

$$M = 41148 + \frac{32542}{2} = 57419 \text{ kgm.}$$



Calcul du module de résistance nécessaire.

$$W_{nec} \geq \frac{M}{\sigma_e} = \frac{57419 \cdot 10^4}{2400} = 2392 \text{ cm}^3.$$

Pour les poutres transversales nous prendrons des HEA 450

$$(W_x = 2900 \text{ cm}^3).$$

Pour les poteaux, sur la faible section d'ancrage, nous prendrons des poteaux à inertie variable.



### Vérification de la flèche des poutres transversales.

Dans le calcul de la flèche, nous prendrons les surcharges et les charges normales et non pondérées.

$$\left. \begin{array}{l} q_G = 2303 \text{ kg/ml} \\ q_P = 480 \text{ kg/ml} \end{array} \right\} q_{(G+P)} = 2783 \text{ kg/ml.}$$

les règles CM66 donnent en page 269 :  $\frac{f}{l} \leq \frac{1,2 \cdot \bar{\sigma}_f \cdot l}{100.000 \cdot h}$

où  $\bar{\sigma}_f$  en  $\text{kg/mm}^2$  est la contrainte de flexion calculée au milieu de la travée.

$$M = \frac{q l^2}{24}$$

$$f = \frac{1,2 \cdot M \cdot l^2}{10^5 \cdot w \cdot h} = 1,2 \cdot \frac{2783 \cdot \bar{l}^2 \cdot \bar{l}^2 \cdot 10^4}{10^5 \cdot 2900 \cdot 0,54 \cdot 24} = \frac{36}{24} = 1,5 \text{ cm}$$

$$\text{CM66} \rightarrow \bar{f} = \frac{l}{200} = 6 \text{ cm} > f = 1,5 \text{ cm.}$$

### Calcul des éléments du portique longitudinal.

La surface relevant au portique longitudinal est de :

$$S = 7,2 \times 24 = 172,8 \text{ m}^2.$$

- Charges soumises au séisme :  $G + P/5$ .

$$\text{poutres longitudinales} \quad 248 \times 24 = 5952$$

$$\text{poutres transversales} \quad 6 \times 6 \times 248 = 8928$$

$$\text{couvertures} \quad 428 \times 172,8 = 73958$$

$$\text{ poteaux} \quad 6 \times 170 \times 4,2 = 4284$$

$$G = 93122 \text{ kg}$$

$$P = 100 \times 144 = 14400 \text{ kg.}$$

(26)

La charge soumise au réseau sera  $G + \frac{P}{7} = 96002 \text{ kg}$

Pour le pontique métallique, nous avons

$$\sigma_L = \sigma_V = 0,2289.$$

ce qui nous donne.

$$F_L = F_V = 0,2289 \cdot 96002 = 21975 \text{ kg.}$$

La charge par mètre-linéaire sera donc

$$q_V = \frac{21975}{24} = 916 \text{ kg/ml.}$$

Les charges verticales à desquelles est soumis le pontique sont

$$\left. \begin{aligned} G &= 428 \times 6 + 248 &= 2816 \text{ kg/ml} \\ P &= 150 \times 6 &= 600 \text{ kg/ml} \\ SI_V & &= 916 \text{ kg/ml} \end{aligned} \right\} q_T = 4332 \text{ kg/ml.}$$

Calcul des efforts dus aux charges verticales.

en travée :  $M_t = q \frac{l^2}{24} = 4159 \text{ kgm.}$

sur appui :  $M_a = q \frac{l^2}{12} = 8318 \text{ kgm.}$

Calcul des efforts dus aux forces horizontales

$$F_H = 21975 \text{ kg.}$$

Les poteaux étant identiques et articulés à leur base nous aurons

$$M_i = F_i \cdot h \quad \text{avec} \quad F_i = \frac{k \cdot F \cdot I_i}{0,8(I_1 + I_n) + I_2 + \dots + I_{n-1}}$$

$$k = 0,8 \quad \text{pour } i = 1, n$$

$$k = 1 \quad \text{pour } i = 2, \dots, n-1.$$

(27)

nous avons 6 poteaux transversaux identiques

$$F_1 = F_6 = \frac{0,8 \cdot 21975}{5,6} = 3140 \text{ Kg} \rightarrow M_1 = M_6 = 6594 \text{ Kgm.}$$

$$F_2 = \dots = F_5 = \frac{21975}{5,6} = 3925 \text{ Kg.} \rightarrow M_2 = \dots = M_5 = 8243 \text{ Kgm.}$$

Sous les sollicitations du second genre nous avons:

$$M_t = 4159 \text{ Kgm}$$

$$M_a = 16461 \text{ Kgm.}$$

$$\rightarrow W_{\text{rec}} > \frac{16461 \cdot 10^2}{2400} = 686 \text{ cm}^3$$

Pour les poteaux, sur la faible section d'ancrage, nous prendrons des poteaux tronqués à la base. Il s'agit surtout pour dimensions:

$$\begin{array}{l} \text{- au sommet :} \\ \left. \begin{array}{l} h = 450 \text{ mm} \\ b = 300 \text{ mm.} \\ c = 26 \text{ mm} \\ a = 14 \text{ mm} \end{array} \right\} \text{HEB 450} \quad \begin{array}{l} W_x = 3550 \text{ cm}^3 \\ W_y = 781 \text{ cm}^3 \end{array} \end{array}$$

$$\begin{array}{l} \text{- à la base} \\ \left. \begin{array}{l} h = 220 \text{ mm} \\ b = 220 \text{ mm} \\ c = 26 \text{ mm} \\ a = 14 \text{ mm.} \end{array} \right\} \end{array}$$

Calculations des contraintes dans les poteaux :

• poids revenant à un poteau :

- poids du poteau.	$180 \times 4,2$	= 756 kg
- couvertures	$428 \times 4,8 \times \frac{13,2}{2}$	= 13560
- poutre de patique transvers	$160 \times \frac{13,2}{2}$	= 1056
- surcharge d'exploitation	$100 \times 4,8 \times \frac{13,2}{2}$	= 3168
- charges dues au séisme	$7748/2$	= 3874.
		<u>N = 22414 kg</u>

Calcul de la contrainte de compression

$$\sigma = \frac{N}{A} = \frac{22414}{4 \times 2,6 \times 22 + 4,4 \times 13,2} = 158,7 \text{ kg/cm}^2.$$

Calcul de la contrainte de flexion

$$\sigma = \frac{M}{W} = \frac{57419 \cdot 10^4}{3550} = 1618 \text{ kg/cm}^2$$

Calcul de la contrainte au flambage. (Art 5.131 CM66)

lorsque la stabilité n'est assurée que par l'encastrement des poutres sur les poteaux, le rapport  $l/l_0$  est donné en fonction des coefficients d'encastrement  $K_A$  et  $K_B$ . aux 2 extrémités du poteau.

Comme nous avons une articulation en pied du poteau :  $K_A = 0$  et l'expression donnant  $K_B$  se réduit à :

$$K_B = \frac{1/l}{1/l + 1/l} = \frac{1/12}{1/4,2 + 1/12} = 0,2592.$$

l'Art 5.134. nous donne.  $\frac{l}{l_0} = 2,928 \rightarrow l = 12,30 \text{ m.}$

On calcule le rayon de giration moyen à mi hauteur.

$$\left. \begin{array}{l} h = 335 \text{ mm} \\ b = 260 \text{ mm} \\ a = 14 \text{ mm} \\ c = 26 \text{ mm} \end{array} \right\} I_{x-x} = \frac{b^3}{12} \cdot h + 260 \cdot 26 \cdot \left( \frac{335-26}{2} \right)^2 + \frac{(335-26)^3}{12} \cdot 14$$

$$1,96 \cdot 10^8 \text{ mm}^4 = 19578 \text{ cm}^4$$

$$A = (260 \cdot 26) \cdot 2 + (335 - 26 - 26) \cdot 14 = 174,82 \text{ cm}^2$$

$$\rightarrow i_x = \sqrt{\frac{I_{x-x}}{A}} = 10,58$$

$$\rightarrow \lambda = \frac{l}{i} = \frac{12,30 \cdot 10^3}{10,58} = 116,26 \xrightarrow{\text{Annexe 13.411}} K = 2,064$$

on calcule

$$K \cdot \sigma + \sigma_f = (159,7 \cdot 2,064) + 1418 = 1946 \text{ kg/cm}^2 < 2400 \text{ kg/cm}^2$$

On vérifie la formule enveloppe.

$$\frac{\sigma}{\gamma} (K \cdot \sigma + \sigma_f) = \frac{1}{\gamma} \cdot 1946 = 2200 \text{ kg/cm}^2 < 2400 \text{ kg/cm}^2 = \sigma_c$$

d'où aucune autre vérification n'est nécessaire.

CALCUL DES LIAISONS.

Pour les poutres longitudinales nous prendrons des profils HEA 300 ( $W_x = 1260 \text{ cm}^3$ ), avec à chaque extrémité des plaques de dimensions  $380 \times 380 \times 20$ . Ces plaques sont soudées aux extrémités des poutres et rivées à l'âme des poteaux.

Les poutres transversales seront des profils HEA 450; elles seront posées et rivées sur les têtes des poteaux.

À la partie supérieure des poteaux nous aurons des plaques de dimensions  $360 \times 610 \times 20$ . Ces plaques, en tête des poteaux, seront soudées aux poteaux.

Les poutres transversales étant de longueur supérieure à douze (12) mètres, nous sommes obligés de prévoir des prolongements à l'une des extrémités des poutres transversales.

La liaison entre les poutres se fera par l'intermédiaire d'edisses sur l'âme et sur les seuilles des poutres.

À la base des poteaux, nous aurons des plaques d'arrise et des raidisseurs.

Calcul des soudures dans la liaison poutre longitudinale - plaque

On prend une plaque de 25 mm d'épaisseur.

Nous avons un effort tranchant total pondéré =  $F = 133546$  kg.

Nous supposons que l'effort tranchant se répartit uniformément entre les cordons de l'âme de la poutre et les cordons des semelles.

- Cordons reliant l'âme de la poutre à la plaque.

Art 4.312.33 CM 66 on doit avoir  $\frac{F}{0,75 \cdot l \cdot a \cdot \alpha} \leq \sigma_e$ .

$$\rightarrow l \geq \frac{F}{0,75 \cdot \sigma_e \cdot a \cdot \alpha} = \frac{133546}{2 \cdot 0,75 \cdot 2400 \cdot 10,4} = 35,6 \text{ cm.}$$

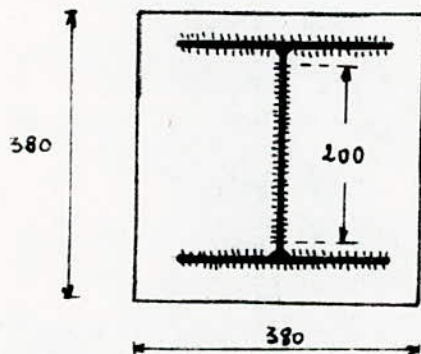
Nous prendrions de part et d'autre de l'âme des cordons de 20 cm.

$$l = 20 \text{ cm.}$$

$$\left. \begin{array}{l} a = 12 \text{ cm.} \\ \alpha = 0,867. \end{array} \right\} \text{ (Art 4.312. CM 66).}$$

- Cordons reliant les semelles de la poutre à la plaque.

nous avons aussi  $l \geq 35,6 \text{ cm.}$



Calcul des boulons reliant les pontes longitudinales  
aux poteaux.

Ces pontes sont soumises à leur poids propre et aux moments dus aux effets horizontaux dus au séisme.

nous avons :  $M = 16561 \text{ kgm}$ .

Les boulons seront soumis à un effort de cisaillement et à un effort de traction (ou compression) dû au moment en tête des poteaux dans le sens longitudinal.

L'effort de cisaillement est  $T = q \cdot l =$

$$T = 248 \times 4,8 = 1191 \text{ kg.}$$

L'effort de traction maximal est :

$$N = \frac{M}{h} = \frac{16561}{0,29} = 57107 \text{ kg.}$$

l'article 4.122.1 nous donne

$$1,25 \frac{N}{n \cdot A_r} \leq 5e.$$

nous prendons des boulons  $\phi 20$ .  $A_r = 2,45 \text{ cm}^2$

$$\rightarrow n \geq \frac{1,25 \cdot 57107}{2400 \cdot 2,45} = 12,2$$

$$\rightarrow \underline{n = 16.}$$

on vérifie le cisaillement. Art 4.122.21.

$$1,54 \frac{T}{n \cdot A_r} < 6e. \quad \rightarrow \text{vérifié.}$$



Calcul de la liaison plaque supérieure - poteau

Nous avons un moment  $M$  et un effort horizontal  $F$

$$M = 57419 \text{ Kg.m}$$

$$F = 7748 \text{ Kg}$$

Nous supposons que le moment est repris par les cordons assemblant les semelles du poteau à la plaque et que l'effort horizontal est repris par les cordons assemblant l'âme du poteau et la plaque.

Cordons assemblant les semelles du poteau à la plaque.

C.M.66. Art 4.312.62

$$-5e \leq 1,18 \left[ \frac{N}{\Sigma l_i a_i \alpha_i} + \frac{M \cdot h}{h^2 \cdot l_1 a_1 \alpha_1 + 2(h-2e)^2 \cdot l_2 a_2 \alpha_2} \right] \leq 5e$$

$$N = 0$$

$$M = 57419 \text{ Kg.m.}$$

$$h = 0,55 \text{ m}$$

$$l_1 = (300 - 20) = 280 \text{ mm} = 0,28 \text{ m.}$$

$$l_2 = \frac{280 - 14}{2} = \frac{264}{2} = 132 \text{ mm} = 0,132 \text{ m.}$$

$$a_1 \alpha_1 = a_2 \alpha_2 = a_3 \alpha_3 = 13,6 \text{ mm. (Art 4.312.0 C.M.66)}$$

$$-2400 < \frac{57419 \cdot 0,55}{55^2 \cdot 28 \cdot 13,6 + 2(55 - 5,8)^2 \cdot 13,25 \cdot 13,6} < 2400$$

$$-2400 < 1560 < 2400.$$

• Soudure assemblant l'âme du poteau à la plaque

$$\sqrt{1,4 \left( \frac{N}{\Sigma l \cdot a \cdot \alpha} \right)^2 + 1,8 \left( \frac{T}{2 l_3 \cdot a_3 \cdot \alpha_3} \right)^2} \leq \sigma_c.$$

$$T = 7748 \text{ Kg.}$$

$$l_3 = h - 2e - 4 = 450 - 2 \cdot 2,6 - 4 = 44,1 \text{ cm.}$$

$$\sqrt{1,8} \cdot \frac{7748}{2 \cdot 44,1 \cdot 1,36} = 86,7 \text{ kg/cm}^2 < 2400 \text{ kg/cm}^2.$$

• Pour la plaque inférieure, nous prendrons le même type de soudure de soudure.

Leson des joints transversales au les têtes des poteaux.

En tête des poteaux, nous avons un effort horizontal dû au seisme et un moment fléchissant dû à toutes les charges et un effort tranchant dû aux charges verticales.

$$H = 7748 \text{ Kg}$$

$$M = 57419 \text{ Kg.m}$$

$$T = 22289 \text{ Kg.}$$

Pour éviter le voilement de la partie transversale au niveau du poteau, nous disposons des raidisseurs dans le même alignement que les éléments du poteau (semelles et âme) d'épaisseur 20 mm.

Le moment fléchissant nous donne un effort de cisaillement de  $\frac{M}{h} = \frac{57419}{0,45} = 127598 \text{ Kg}$

Pour relier la partie transversale à la platine en tête du poteau, nous utiliserons des cordons de soudure (et les boulons pour le montage).

Les cordons de soudure auront les caractéristiques suivantes:  $l = 51 \text{ cm.}$

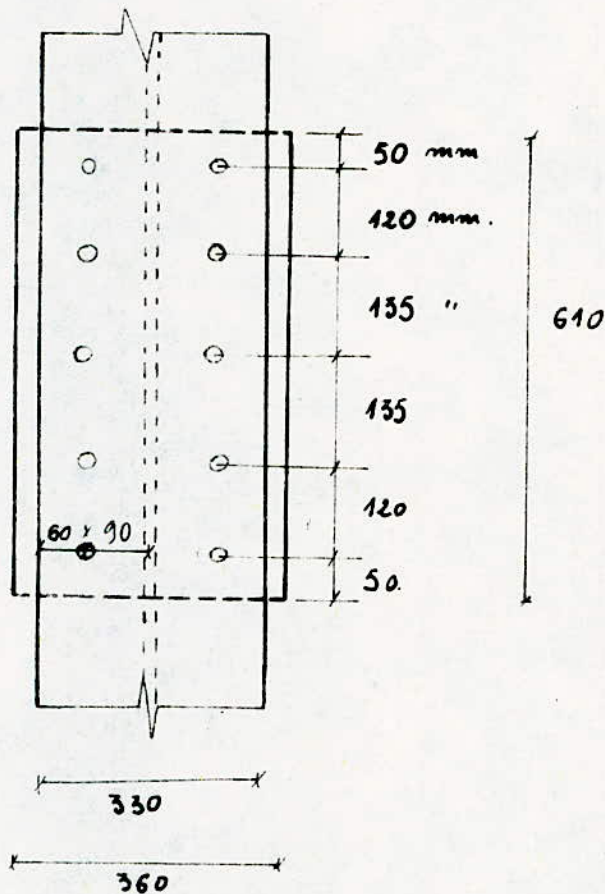
$$a_x = 0,88 \text{ cm.}$$

Les bords des semelles au niveau des soudures seront amincis pour assurer une bonne répartition des efforts.

(36)

Les barreaux utilisés seront des barreaux de  $\phi 22$ .

Nous utiliserons 10 barreaux.



Les espacements entre les barreaux sont donnés par les règles CM 66. Art 4.101.

$$3.d < s < 7.d$$

$$3.23 < s < 7.23$$

$$\rightarrow 69 < s < 161 \text{ mm. } \begin{cases} s = 120 \text{ mm.} \\ s = 135 \text{ mm.} \end{cases}$$

$$s_{l_2} \leq 2,5 d = 2,5 \cdot 23 = 57,5 \text{ mm.}$$

$$\rightarrow s_{l_2} = 50 \text{ mm.}$$

### Dimensionnement de la plaque d'arrivé des poteaux

CM 66 Art 5.121.

la plaque d'arrivé est dimensionnée en fonction de la contrainte de compression du béton.

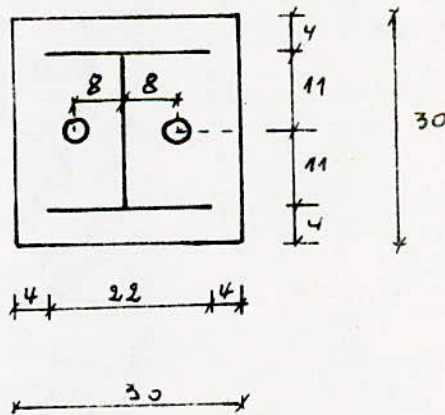
$$\left. \begin{array}{l} \bar{\sigma}_b = 68,85 \text{ kg/cm}^2 \\ N = 22414 \text{ Kg} \end{array} \right\} A_{\text{min}} = \frac{22414}{68,85} = 325,6 \text{ cm}^2.$$

On prendra une plaque d'arrivé carrée de côté 30 cm  
l'épaisseur de la platine est dimensionnée au soulèvement

$$e_p > \frac{F}{375} \frac{c}{t} \frac{\delta + t}{\delta}$$

$$F = \text{force au soulèvement} = \frac{\sum C_p - \frac{3}{2} \sum S_I}{2} = \frac{22414 - 3874 - \frac{3}{2} \cdot 3874}{2}$$

$$F = 6365 \text{ Kg.}$$



$$c = 16 - 2,2 = 13,8 \text{ cm.}$$

$$t = 16 - \frac{1,4}{2} = 15,3 \text{ cm}$$

$$\delta = 16 \text{ cm.}$$

$$\left. \begin{array}{l} c = 13,8 \text{ cm} \\ t = 15,3 \text{ cm} \\ \delta = 16 \text{ cm} \end{array} \right\} e_p > \frac{6365}{375} \frac{13,8}{15,3} \frac{13,3 + 16}{16} = 29,95 \text{ mm}$$

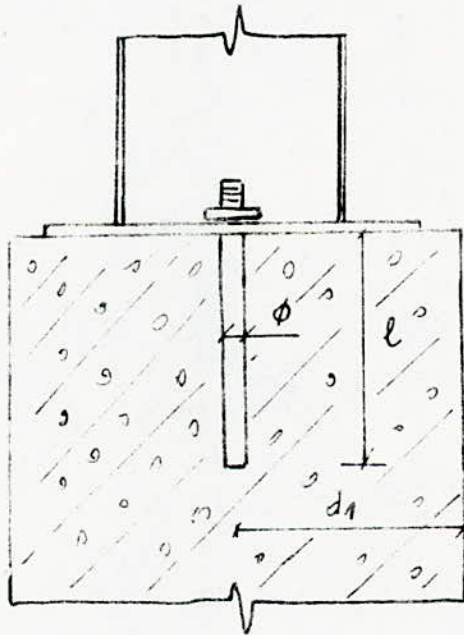
Nous prendrons une plaque d'arrivé de 3,5 cm d'épaisseur.

Calcul des isolans s'arrange

CM66. Art 5.123.

$$\begin{array}{l}
 F_H = 3925 \text{ Kg} \\
 N = 22412 \text{ Kg}
 \end{array}
 \left\{
 \begin{array}{l}
 F_H < 0,36 \cdot N
 \end{array}
 \right.$$

la transmission des efforts horizontaux dus au seisme se fera par frottement de la platine sur le béton. on entera de noyer la base du poteau dans du béton à moins de créer un joint plastique autour ; sinon le béton éclaterait.



On prendra une tige de 30 mm de diamètre et qui sera armée sur une longueur de 500 mm.

On vérifie que l'effort de soulèvement exercé sur une tige est inférieur à l'effort de traction admissible.

$$\bar{N} = 0,1 \left( 1 + 7 \frac{g_c}{1000} \right) \cdot \frac{\phi \cdot l}{\left( 1 + \frac{\phi}{d_1} \right)^2}$$

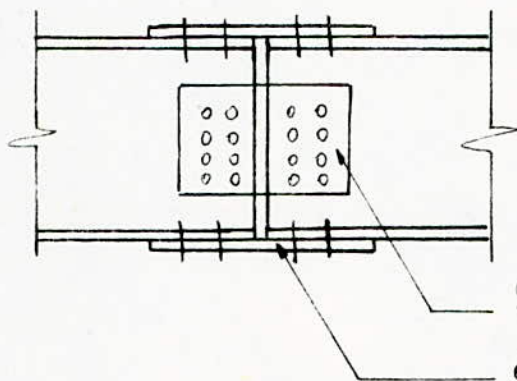
g<sub>c</sub>: dosage du béton 350  $\frac{\text{kg}}{\text{m}^3}$

d<sub>1</sub>: axe de la tige au parement du poteau en béton armé.

$$\bar{N} = 4028 > 3925 \text{ Kg (effort revenant aux 2 tiges)}.$$

Calcul de la liaison au niveau des poutres transversales.

Pu que les poutres transversales ont une longueur supérieure à douze (12) mètres, nous sommes obligés de réaliser un joint entre les poutres transversales et ce par des eclisses sur les semelles et sur l'âme des poutres.



(Le dessin n'est pas à l'échelle)

La jonction des poutres transversales se fera à mi-travée, vu que c'est la section la moins sollicitée. Elle n'est soumise qu'au moment dû aux charges verticales, en plus de l'effort horizontal dû au séisme horizontal.

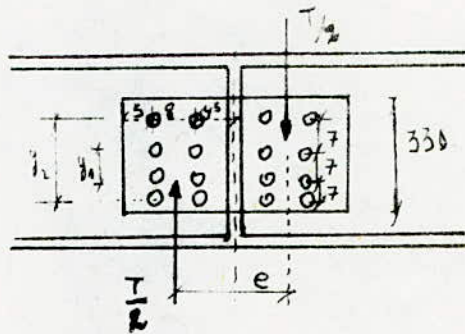
$$M = 20574 \text{ kgm.}$$

$$H = 7748 \text{ kg.}$$

Les boulons reliant les âmes des poutres seront soumis à un effort de cisaillement  $T = \frac{M}{h} = \frac{20574}{0,45} = 45720 \text{ kg.}$

Nous prendrons 4 files de 4 boulons et nous ferons les vérifications nécessaires pour les eclisses sur les âmes.

(40)



$$y_1 = 70 \text{ mm}$$

$$y_2 = 21 \text{ mm}$$

$$e = 170 \text{ mm}$$

$$\mu_i : \frac{T}{2} \cdot e = \frac{45720}{2} \cdot 17 = 388620 \text{ kg cm.}$$

$$\sigma_{mi} : \frac{\mu_i \cdot y_{max}}{n \cdot \sum y_i^2} = \frac{388620 \cdot 10,5}{2 \cdot (2 \cdot 7^2 + 7^2)} = 4164 \text{ kg}$$

$$\sigma_T = \frac{T/2}{n \cdot m} = \frac{45720}{2 \cdot 2 \cdot 4} = 2858 \text{ kg}$$

$$R = \sqrt{\sigma_{mi}^2 + \sigma_T^2} = \sqrt{4164^2 + 2858^2} = 5051 \text{ kg}$$

Nous prendrons des barres ordinaires  $\phi 24$ . (CM66. Ann. A4.10A)

$$A_r = 3,53 \text{ cm}^2.$$

$$\rightarrow \frac{1,54 \cdot R}{A_r} \leq \sigma_e \rightarrow \frac{1,54 \cdot 5051}{3,53} = 2204 \text{ kg/cm}^2 < 2400 \text{ kg/cm}^2$$

L'épaisseur de l'éclisse est donnée par:

$$1,54 \cdot \sigma \leq \sigma_e \rightarrow 1,54 \cdot \frac{3/2 \cdot T/2}{e \cdot h} \leq \sigma_e \quad (\text{CM66. Art 33A})$$

$$e \cdot h > \frac{1,54 \cdot 3 \cdot T}{4 \cdot \sigma_e} = \frac{1,54 \cdot 3 \cdot 45720}{4 \cdot 2400} = 22,1 \text{ cm}^2$$

nous prendrons  $\begin{cases} e = 10 \text{ mm} \\ h = 330 \text{ mm} \end{cases}$



Calcul des brides des souelles et des boulons correspondants.

Les brides sur les souelles pouvant être soumises à un effet de traction (ou de compression) dû au moment, leurs sections doivent satisfaire :

$$\frac{N}{A} \leq \bar{\sigma}_e$$

avec  $N = 1,54 \cdot H' = 1,54 \cdot \left( \frac{M}{h} + \frac{H}{2} \right) =$

$$\left. \begin{array}{l} M = 20574 \text{ kgm} \\ h = 0,45 \text{ m} \\ H = 7748 \text{ kg} \end{array} \right\} N = 49594 \text{ kg}$$

$$A_{\text{bride}} \geq \frac{N}{\bar{\sigma}_e} = \frac{49594}{2400} =$$

$$\left. \begin{array}{l} A_{\text{bride}} = e \cdot b_s \\ b_s = 30 \text{ cm} \end{array} \right\} e \geq \frac{N}{b_s \cdot \bar{\sigma}_e}$$

et  $b'_s = b_s - 2 \cdot d$

$$\rightarrow e \geq 1,23 \text{ cm} \rightarrow e = 1,5 \text{ cm}$$

les brides auront la largeur de la poutre  $\rightarrow b_s = 300 \text{ mm}$ .  
une épaisseur de 15 mm et une longueur de 500 mm.  
les boulons étant soumis aux mêmes efforts, nous aurons besoin de  $8 \phi 22$ .

# **Etude au Seisme**

### Effets causés par le séisme :

Le séisme, de par ses secousses, engendre dans les constructions des accélérations atteignant parfois l'ordre de grandeur de la gravité. Il en résulte des effets pouvant s'exercer suivant des directions quelconques on peut donc concevoir deux composantes l'une horizontale, l'autre verticale.

On admet que l'accélération horizontale du mouvement sismique s'adresse à la masse même des constructions. Dans le cas des constructions comportant des planchers, on suppose que les forces horizontales s'appliquent au niveau de chaque plancher.

### Calcul Sismique.

La vérification de la stabilité d'un bâtiment vis à vis de l'action sismique se fait en substituant aux effets dynamiques réels des sollicitations statiques des systèmes de forces fictifs (ou syst. équivalents).

Ces systèmes équivalents résultent de la combinaison :

- d'un système de forces élémentaires horizontales (SIH)
- d'un système de forces élémentaires verticales ascendantes ou descendantes (SIV).
- d'un système de couples de torsion d'axes verticaux (ST).

Pour les sollicitations sismiques horizontales, les règles permettent la vérification dans deux directions rectangulaires à envisager successivement.

Le patique métallique supérieur étant articulé, l'étude à la torsion n'a pas été faite, puisque le bâtiment est symétrique.

Pour pouvoir déterminer les sollicitations sismiques, il faudra déterminer d'abord les masses soumises à l'action sismique. Les masses sont considérées concentrées au niveau des planchers. Nous faisons l'étude de deux portiques :

- un portique longitudinal intermédiaire
- un portique transversal intermédiaire.

### Coefficients sismiques.

L'intensité de la force horizontale agissant sur un élément de construction donné dans la direction  $Ox$  est :  $G_x \cdot W$ .

$W$  étant le poids des charges et surcharges de l'élément soumis à l'action sismique.

$G_x$  est un coefficient défini comme étant le produit de quatre (4) autres coefficients :  $G_x = \alpha \cdot \beta \cdot \gamma \cdot \delta$ .

$\alpha$  : coefficient d'intensité : Il dépend de l'intensité nominale  $i_n$  le bâtiment est implanté à Alger : zone de sismicité moyenne  
 $i_n = 8 \rightarrow \boxed{\alpha = 1}$  (PS 69).

$\beta$  : coefficient de réponse : Il caractérise l'importance de la réponse de la structure à une secousse d'intensité égale à l'intensité de référence. Il dépend :

- de la période  $T$  du mode fondamental de vibration de la construction dans la direction étudiée.
- du degré d'amortissement de l'ouvrage
- accessoirement, de la nature du sol de fondation.

évaluation de la période du mode fondamental

$$T = 0,09 \cdot \frac{H}{\sqrt{L}}$$

H : hauteur du bâtiment = 12,95 m.

L : longueur du portique .

sens longitudinal : L = 24 m → T = 0,230 s

sens transversal : L = 12 m → T = 0,336 s

Nous considérons un amortissement moyen

$$\beta = \frac{0,085}{\sqrt[3]{T}}$$

avec un maximum de 0,130 m.

(PS 69 . Art 3.112.-132. b)

sens longitudinal : β = 0,137 → β = 0,130

sens transversal : β = 0,124.

γ : coefficient de distribution (Art 3.112.14. PS 69).

Ce coefficient ne dépend que de la nature de la structure et caractérisé à l'intérieur de cette dernière, le comportement de la masse à laquelle il se rapporte.

Dans les constructions courantes, il est permis d'assimiler la déformée du système à une droite.

Si on prend pour origine des côtes le niveau des semelles de fondations, la formule donnant γ(h) sera :

$$\gamma(h) = h \cdot \frac{\sum z \cdot M(z)}{\sum z^2 \cdot M(z)}$$

M(z) étant la masse concentrée à la côte z.

Les charges permises au même sont égales à

$$W = G + P/5$$

G: poids propre

P: surcharge d'exploitation

Calcul du poids propre par niveau et par plancher complet.

niveau I

- couverture	$428 \times 13,2 \times 24$	= 135590 Kg
- poutres transversales	$6 \times 13,2 \times 155$	= 12276
- poutres longitudinales	$2 \times 24 \times 155$	= 7440
- poteaux	$14 \times 180 \times 4,2$	= 10584
- cloison	$[(300 \times 13,20) + (2 \times 50 \times 24)] \times 3,60$	= 28896
		<hr/>
		G = 188786 Kg

$$P = 100 \times 13,2 \times 24 = 31680 \text{ Kg}$$

niveau II

- plancher	$558 \times 19,2 \times 24$	= 257127 Kg
- poutres longitudinales	$2 \times 24 (312,5 + 375)$	= 33000
- poutres transversales	$19,2 (2 \times 375 + 4 \times 312,5)$	= 38400
- poteaux	$\frac{8}{2} \times 4,40 \times 398$	= 7005
	$\frac{16}{2} \times 4,40 \times 756,5$	= 26629
- cloisons	$300 \times 3,80 (24 + \frac{19,2}{2})$	= 38304
		<hr/>
		G = 400465 Kg.

$$P = 500 \times 19,2 \times 24 = 230400 \text{ Kg.}$$

46

niveau III.

- plancher  $553 \times 19,2 \times 24$  = 257127 kg
- poutres longitudinales = 33000
- poutres transversales = 38400
- poteaux = 7005
- = 60944

- cloison  $300 \left( \frac{4,40 + 3,78}{2} \right) \cdot 19,2$   
 $+ 300 \cdot 24 \left( \frac{4,40 + 3,78}{2} \right) \cdot 2$

= 82455  


---

G = 478931 kg

$P = 500 \times 19,2 \times 24 = 230400 \text{ kg.}$

niveau II

- plancher  $633 \times 19,2 \times 24$  = 291687 kg
- poutres longitudinales = 33000
- poutres transversales = 36000
- poteaux  $24 \left( \frac{3,78 + 3,24}{2} \right) \cdot 756,5$  = 63728

- cloison  $300 \left( \frac{3,78 + 3,24}{2} \right) \cdot 19,2$   
 $+ 300 \cdot 24 \left( \frac{3,78 + 3,24}{2} \right) \cdot 2$

= 70762.  


---

G = 495177 kg.

$P = 800 \times 19,2 \times 24 = 345600 \text{ kg.}$

	G (kg)	P (kg)	$W = G + \frac{P}{5}$
IV	400465	230400	474545
III	478931	230400	525011
II	495177	345600	564297

calcul de  $\delta(h)$ .

	z (m)	z <sup>2</sup>	W (t)	z.W	z <sup>2</sup> .W	$\frac{\sum z.W}{\sum z^2.W}$	$\delta$
IV	13,07	170,82	434,6	5680,1	74241	0,102	1,335
III	8,17	75,17	525,1	4552,7	39472	0,102	0,986
II	4,39	23,91	564,3	2759,5	13494	0,102	0,5

-  $\delta$ : coefficient de fondation : Il tient compte de l'incidence des conditions de fondations sur le comportement de l'ouvrage. Il est indépendant des propriétés dynamiques de la construction. Pour notre ouvrage nous prendrons des semelles superficielles avec un terrain de consistance moyenne.

$$\Rightarrow \boxed{\delta = 1,15} \quad (\text{Art 3.112.15}).$$

Coefficient sismique horizontal.

- longitudinal :  $\sigma_L = \alpha \cdot \beta_L \cdot \delta(h)_L \cdot \delta$

- transversal :  $\sigma_T = \alpha \cdot \beta_T \cdot \delta(h)_T \cdot \delta$

Coefficient sismique vertical. (P.569. Art 3.112.2)

$$\sigma_v = \pm \frac{1}{\sqrt{\alpha}} \cdot \sigma_H \quad \text{avec } \sigma_H = \max(\sigma_L, \sigma_T).$$



Forces Sismiques Agissant par Niveau.

	$\bar{S}_T$	$\bar{S}_L$	$\bar{S}_V$	$F_T = \bar{S}_T \cdot W$	$F_L = \bar{S}_L \cdot W$	$F_V (t)$
IV	0,191	0,211	0,211	83,1 (t)	91,7 (t)	91,7
III	0,127	0,140	0,140	66,7	73,6	73,6
II	0,078	0,079	0,079	40,7	44,6	44,6

Nous avons 4 portiques longitudinaux et 6 portiques transversaux.  
 Dans chaque sens nous considérons qu'une portique intermédiaire est deux (2) fois plus sollicitée qu'une portique de rive étant donné que les charges qui lui reviennent sont doubles des charges qui reviennent à une portique de rive.

- sens longitudinal:

- portique de rive:  $\frac{1}{6}$  de la force totale.
- portique intermédiaire:  $\frac{1}{3}$  de la force totale.

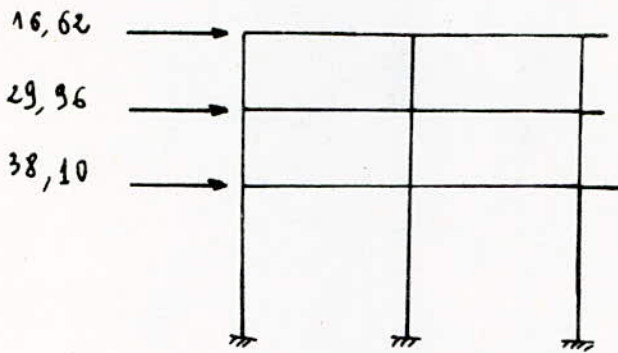
- sens transversal

- portique de rive:  $\frac{1}{10}$  de la force totale.
- portique intermédiaire:  $\frac{1}{5}$  de la force totale.

Forces Sismiques revenant aux portiques intermédiaires par niveau.

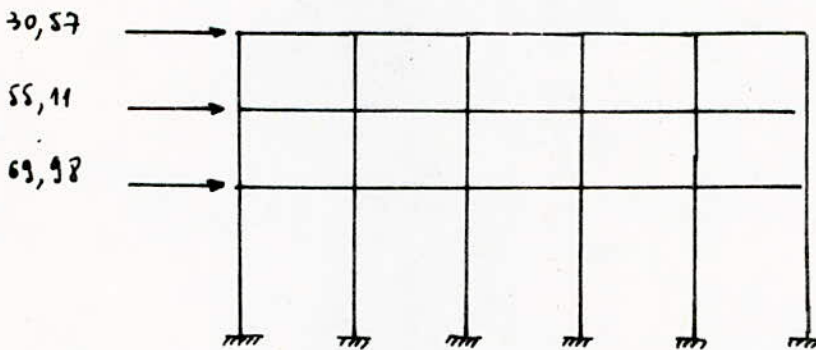
	Portique longitudinal	Portique transversal
IV	30,57 tonnes	16,62 tonnes
III	24,54 tonnes	13,24 tonnes
II	14,87 tonnes	8,14 tonnes

Forces Horizontales Cumulées.



portique transversal.

portique longitudinal.



Charges par mètre-linéaire dues au séisme vertical par niveau.

	portique transversal	portique longitudinal.
IV	1,02 (t/ml)	1,28 (t/ml)
III	0,82 (t/ml)	1,03 (t/ml)
II	0,50 (t/ml)	0,62 (t/ml).

CHARGES. HORIZONTALES.

Méthode De Bowman.

Principe de la méthode :

L'effort tranchant total à chaque niveau se répartit proportionnellement aux inerties des poteaux sauf pour les poteaux de rive dont les inerties sont affectées du coefficient 0,8. (Art 53.12. C C B A 68)

Hypothèses de calcul.

Les poteaux des étages courants sont encastrés au niveau de chacun des planchers, et articulés au niveau des points d'inflexion de ces poteaux.

Les points d'inflexion dans les poteaux, de hauteur  $h$ , se situent :

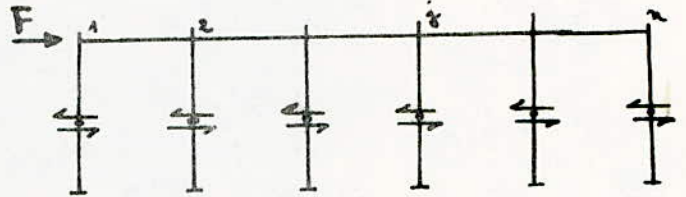
- au dernier niveau, à  $0,65 h$  de la partie supérieure du poteau.
- à l'avant dernier niveau, à  $0,60 h$  du sommet du poteau.
- au niveau directement au-dessous, à  $0,55 h$  du sommet du poteau.
- aux autres niveaux, sauf le 1<sup>er</sup> à  $0,50 h$ .
- au premier niveau, à  $0,40 h$  du sommet du poteau.

Dans le cas où les poteaux d'un même étage ont tous la même hauteur et où les raideurs des différentes travées des pontes poteaux des planchers, parallèles aux forces appliquées et solidaires des poteaux sont toutes supérieures au cinquième de la raideur du poteau le plus raide, on admet que les forces horizontales agissant sur une file de poteaux se répartissent proportionnellement aux inerties des poteaux sauf pour les poteaux de rive qui sont affectées du coefficient 0,8.

### Repartition des forces horizontales par poteau.

- poteau intermediaire (j) :

$$F_j = \frac{I_j \cdot F}{0,8(I_1 + I_n) + \sum_2^m I_i}$$

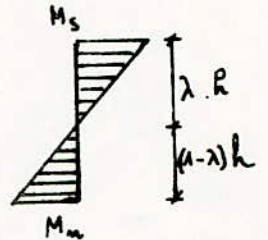


- poteau de rive (1 ou n)

$$F_j = \frac{0,8 \cdot I_j \cdot F}{0,8(I_1 + I_n) + \sum_2^m I_i}$$

### Moments dans les poteaux :

- Moment en tête du poteau :  $M_s = F_i \cdot \lambda \cdot h$
- Moment à la base du poteau :  $M_n = F_i (1 - \lambda) \cdot h$



### Moments dans les poutres :

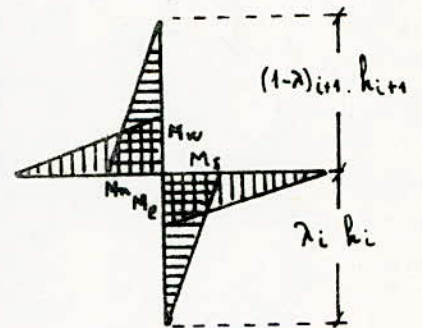
Si au niveau (i) on prend un noeud (j).

$M_s$  : moment en tête du poteau inférieur

$M_n$  : moment à la base du poteau supérieur.

$M_w$  : moment de la travée de gauche

$M_e$  : moment de la travée de droite :



$I_w$  et  $I_e$  sont respectivement les moments d'inertie de la travée de gauche et de la travée de droite,  $l_w$  et  $l_e$  : leurs longueurs libres.

On peut calculer les moments dans les travées aboutissant à un noeud en fonction des moments des poteaux supérieur et inférieur correspondant à ce noeud.

En posant  $k_w = \frac{I_w}{l_w}$  et  $k_e = \frac{I_e}{l_e}$  nous avons:

- le moment à gauche du nœud :  $M_{wg} = \frac{-k_w}{k_w + k_e} (M_s + M_n)$

- le moment à droite du nœud :  $M_{we} = \frac{-k_e}{k_w + k_e} (M_s + M_n)$ .

### Effort tranchant dans les poutres.

$$T = \pm \frac{M_w + M_e}{l}$$

$M_w$  et  $M_e$  sont les moments à gauche et à droite de la poutre.

Dans l'étude au séisme que nous allons faire, nous ne considérerons que le cas du séisme agissant de gauche à droite; mais sur la symétrie du bâtiment les effets seront symétriques dans les différents éléments du portique.

Moments dans les poteaux. pour SIIH. Portique longitudinal.

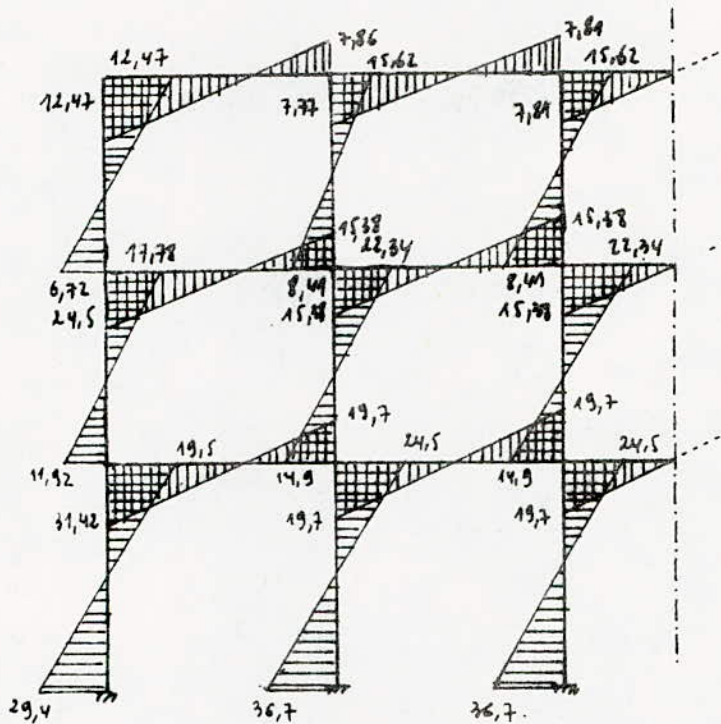
	(1-7) (1'-7')	(2-8) (2'-8')	(3-9) (3'-9')	(7-13) (7'-13')	(8-14) (8'-14')	(9-15)	(13-19)	(14-20)	(15-21)
$h_{(m)}$	4,40	4,40	4,40	3,78	3,78	3,78	4,89	4,89	4,89
$\lambda$	0,65	0,65	0,65	0,60	0,60	0,60	0,40	0,40	0,40
$1-\lambda$	0,35	0,35	0,35	0,40	0,40	0,40	0,60	0,60	0,60
$I_{cm^4}$	341718	341718	341718	762552	762552	762552	762552	762552	762552
$F(t)$	4,36	5,46	5,46	7,88	9,85	9,85	10	12,5	12,5
$M_{s_{t.m}}$	12,47	15,62	15,62	17,88	22,34	22,34	19,5	24,5	24,5
$M_{m_{t.m}}$	6,72	8,41	8,41	11,92	14,9	14,9	29,4	36,7	36,7

Moments aux nœuds dans les poutres pour SIIH. 1/2 Portique longitudinal.

	1	2	3	7	8	9	13	14	15
$I_{nr}$	0	260416	260416	0	260416	260416	0	260416	260416
$l_{nr_{cm}}$	0	430	435	0	425	425	0	425	425
$I_e$	260416	260416	260416	260416	260416	260416	260416	260416	260416
$l_e$	430	435	435	425	425	425	425	425	425
$k_{nr}$	0	605,6	598,7	0	612,7	612,7	0	612,7	612,7
$k_e$	605,6	598,7	598,7	612,7	612,7	612,7	612,7	612,7	612,7
$\frac{k_{nr}}{k_{nr}+k_e}$	0	0,503	0,5	0	0,5	0,5	0	0,5	0,5
$\frac{k_e}{k_{nr}+k_e}$	1	0,497	0,5	1	0,5	0,5	1	0,5	0,5
$M_{nr}$	0	-7,86	-7,81	0	-15,39	-15,38	0	-19,7	-19,7
$M_e$	-12,47	-7,77	-7,81	-22,5	-15,39	-15,38	-31,42	-19,7	-19,7

Efforts tranchants dans les poutres sous S.H. - Portique longitudinal

	(1-2) (2'-1')	(2-3) (3'-2')	(3-3')	(7-8) (8'-7')	(8-9) (9'-8')	(9-9')	(13-14) (14'-13')	(14-15) (15'-14')	(15-15')
$l$ (m)	4,30	4,35	4,35	4,25	4,25	4,25	4,25	4,25	4,25
$M_w$	-7,86	-7,77	-7,89	-15,38	-15,38	-15,38	-19,7	-19,7	-19,7
$M_e$	-12,47	-7,81	-7,81	-24,5	-15,38	-15,38	-31,42	-19,7	-19,7
$T$	$\pm 1,1$	$\approx 0$	0	$\pm 2,14$	0	0	$\pm 2,76$	0	0



Moments dans les poutres et dans les poteaux sous  $\vec{S.H}$   
pour le portique longitudinal.

Moments dans les poteaux sous S.I.H. - Portique transversal.

	(1-5) (1'-5')	(2-6) (2'-6')	(5-9) (5'-9')	(6-10) (6'-10')	(9-13) (9'-13')	(10-14) (10'-14')
$h_m$	4,40	4,40	3,78	3,78	4,89	4,89
$\lambda$	0,65	0,65	0,60	0,60	0,40	0,40
$1-\lambda$	0,35	0,35	0,40	0,40	0,60	0,60
$I_{cm^4}$	341718	341718	762552	762552	762552	762552
$F_t$	3,8	4,7	6,60	8,33	8,47	10,59
$M_s \text{ t.m}$	10,6	13,3	15,11	18,9	16,6	20,8
$M_m \text{ t.m}$	5,8	7,2	10,07	12,6	24,85	31,10

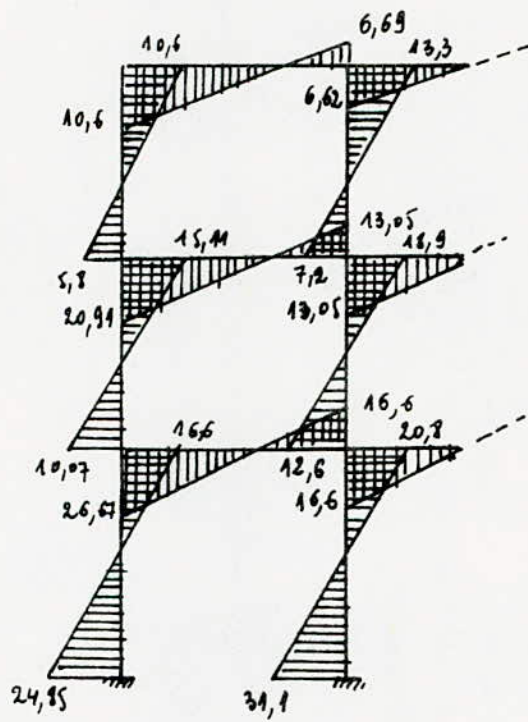
Moments aux nœuds dans les poutres sous S.I.H. -  $\frac{1}{2}$  Portique transversal.

	1	2	5	6	9	10
$I_w \text{ cm}^4$	0	$45 \cdot 10^4$	0	$45 \cdot 10^4$	0	$45 \cdot 10^4$
$l_w \text{ cm}$	0	550	0	545	0	545
$I_e \text{ cm}^4$	$45 \cdot 10^4$	$45 \cdot 10^4$	$45 \cdot 10^4$	$45 \cdot 10^4$	$45 \cdot 10^4$	$45 \cdot 10^4$
$l_e \text{ cm}$	550	555	545	545	545	545
$K_w$	0	818,2	0	825,7	0	825,7
$K_e$	818,2	810,8	825,7	825,7	825,7	825,7
$K_w / (K_w + K_e)$	0	0,5023	0	0,50	0	0,50
$K_e / (K_w + K_e)$	1	0,498	1	0,50	1	0,50
$M_w \text{ t.m}$	0	-6,69	0	-13,05	0	-16,6
$M_e \text{ t.m}$	-10,6	-6,62	-20,91	-13,05	-26,67	-16,6



Efforts tranchants dans les poutres sous S.I.H. Portique transversal.

	(1-2) (2'-1')	(2-2')	(5-6) (6'-5')	(6-6')	(9-10) (10'-9')	(10-10')
$l$ m	5,50	5,55	5,45	5,45	5,45	5,45
$M_{ur}$	-6,69	-6,62	-13,05	-13,05	-16,6	-16,6
$M_e$	-10,6	-6,62	-20,91	-13,05	-26,67	-16,6
$T$	$\pm 0,71$	0	$\pm 1,44$	0	$\pm 1,82$	0



Moments dans les poutres et les poteaux sous  $\vec{S.I.H}$   
pour le portique transversal.

**Efforts** dans les  
**Portiques**

Pour l'étude des sollicitations dans les portiques sous l'effet des charges verticales on utilise la méthode de M<sup>r</sup> CAQUOT.

exposée en annexe A du C.C.B.A.68.

Les portiques constituant l'ossature sont soumis :

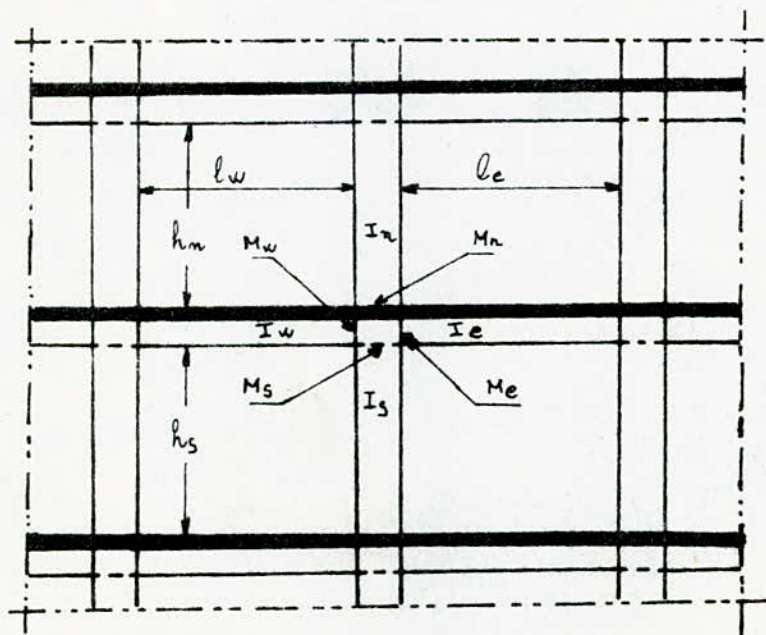
- à leur poids propre.
- au poids propre des planchers qu'ils supportent.
- aux surcharges sismiques.

Pour chaque élément, la sollicitation qu'il faudra prendre en compte est la sollicitation la plus défavorable résultant de la combinaison :

- de la sollicitation normale due aux charges et surcharges.
- de la sollicitation d'origine sismique.

La méthode de Caquot est parfaitement applicable dans notre cas puisque elle s'utilise pour des éléments de planchers constitués de nervures et de poutres associées à des hourdis.

### Exposé de la Méthode de Caquot.



On considère des hauteurs fictives de poteaux.

- $h'_n = 0,9 h_n$  si le nœud considéré appartient à l'avant dernière planche avec  $h_n =$  hauteur libre.
- $h'_n = 0,8 h_n$  pour les autres cas.
- $h'_s = 0,8 h_s$

On considère également des travées fictives.

- $l'_w = 0,8 l_w$
- $l'_e = 0,8 l_e$  } pour les travées intermédiaires.

avec  $l_w$  : portée libre de la travée de gauche

$l_e$  : portée libre de la travée de droite.

Soit  $q_w$  : la charge uniformément répartie par unité de longueur sur la travée de gauche

$q_e$  : la charge uniformément répartie par unité de longueur sur la travée de droite.

$Q_w$  : une charge concentrée appliquée sur la travée de gauche à la distance  $a_w$  du nœud de l'appui ( $Q_e$  et  $a_e$  pour la travée de droite).

on pose :

$$M'_w = q_w \cdot \frac{l_w^2}{8,5} + l'_w \sum k_w \cdot Q_w$$

$$M'_e = q_e \cdot \frac{l_e^2}{8,5} + l'_e \cdot \sum k_e \cdot Q_e$$

avec :  $k_w$  et  $k_e$  donnés (poutres à sections constantes) par

l'échelle fonctionnelle en fonction de  $\frac{q_w}{l'_w}$  et  $\frac{a_e}{l'_e}$ .

$I_w$ ,  $I_e$ ,  $I_s$  et  $I_m$  désignent respectivement les moments d'inertie de la travée de gauche, de la travée de droite, du poteau inférieur et du poteau supérieur; on pose:

$$K_w = \frac{I_w}{l'w}, \quad K_e = \frac{I_e}{l'e}, \quad K_s = \frac{I_s}{h's}, \quad K_m = \frac{I_m}{h'm}$$

$$\text{et } D = K_w + K_e + K_s + K_m.$$

Les moments dans les sections dangereuses (au des appuis) sont en valeur absolue:

- Au nu de l'appui dans la travée de gauche:

$$M_w = M'e \frac{K_w}{D} + M'w \left(1 - \frac{K_w}{D}\right).$$

- Au nu de l'appui dans la travée de droite:

$$M_e = M'e \left(1 - \frac{K_e}{D}\right) + M'w \frac{K_e}{D}.$$

- Au nu inférieur des poutres dans le poteau inférieur:

$$M_s = \frac{K_s}{D} (M'e - M'w).$$

- Au nu supérieur des poutres dans le poteau supérieur:

$$M_m = \frac{K_m}{D} (M'e - M'w).$$

Pour les traverses, les moments  $M_e$  et  $M_w$  sont négatifs.

Pour les poteaux, la face tendue du tronçon supérieur est du côté correspondant à la plus grande des 2 valeurs absolues de  $M'e$  et de  $M'w$ . La face tendue du tronçon inférieur est du côté opposé.

Travées de rive :

• nœud de rive (pas de console) (1)

$$M_{e_1} = M'_{e_1} \left(1 - \frac{K_{e_1}}{D_1}\right)$$

$$M_{s_1} = M'_{e_1} \frac{K_{s_1}}{D_1}$$

$$M_{n_1} = M'_{e_1} \frac{K_{n_1}}{D_1}$$

• nœud voisin du nœud de rive. (2)

La longueur  $l'w_2$  de la travée fictive de rive est prise égale à  $\chi_2 l_{w_2}$  ;  $\chi_2$  étant un coefficient compris entre 0,8 et 1.

avec : •  $\chi_2 = 0,80$  pour  $K_{s_1} + K_{n_1} \geq 1,5 \cdot K_{e_1}$ .

•  $\chi_2 = 1 - \frac{K_{s_1} + K_{n_1}}{7,5 \cdot K_{e_1}}$  pour  $K_{s_1} + K_{n_1} < 1,5 \cdot K_{e_1}$ .

Moments dans les poteaux :

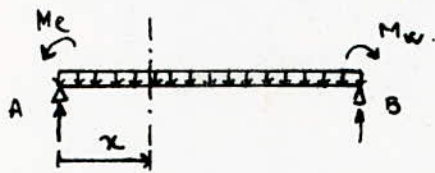
On admet que les points de moment nul dans les poteaux se trouvent à  $h'_{in}$  au dessus du plancher et à  $h'_s$  au dessous du nu inférieur des poutres.

Efforts tranchants dans les poteaux - Efforts normaux dans les poutres -

Par simplification, on se fait pas état, dans les calculs, des efforts tranchants dans les poteaux et des efforts normaux dans les poutres.

Calcul des efforts tranchants dans les pontes :

Conformément à l'annexe A13 du c.c.B.A 68, les efforts tranchants sont calculés en considérant le travée indépendante et en faisant état des moments de continuité et de la charge qui lui est appliquée ( $q$ ) par mètre-linéaire.



$$\sum M_{e/B} = 0 = R_A \cdot l - M_c + M_w - q \frac{l^2}{2}$$

$$\rightarrow R_A = \frac{M_c - M_w}{l} + q \frac{l}{2}$$

L'équation de l'effort tranchant sera alors :

$$T_x = R_A - q \cdot x = q \frac{l}{2} + \frac{M_c - M_w}{l} - q \cdot x$$

portique

longitudinal



Caractéristiques géométriques du portique longitudinal

Niveau	IV			III			II		
Nœud	1	2	3	7	8	9	13	14	15
$l_w$	/	4,30	4,35	/	4,25	4,25	/	4,25	4,25
$l_e$	4,30	4,35	4,35	4,25	4,25	4,25	4,25	4,25	4,25
$h_n$	/	/	/	4,40	4,40	4,40	3,78	3,78	3,78
$h_s$	4,40	4,40	4,40	3,78	3,78	3,78	4,89	4,89	4,89
$I_w$	/	2,61	2,61	/	2,61	2,61	/	2,61	2,61
$I_e$	2,61	2,61	2,61	2,61	2,61	2,61	2,61	2,61	2,61
$I_n$	/	/	/	3,4	3,4	3,4	7,63	7,63	7,63
$I_s$	3,4	3,4	3,4	7,63	7,63	7,63	7,63	7,63	7,63
$l'_w$	/	3,44	3,48	/	3,40	3,40	/	3,40	3,40
$l'_e$	3,44	3,48	3,48	3,40	3,40	3,40	3,40	3,40	3,40
$h'_n$	/	/	/	3,52	3,52	3,52	3,03	3,03	3,03
$h'_s$	3,52	3,52	3,52	3,03	3,03	3,03	3,91	3,91	3,91
$K_w$	/	0,76	0,75	/	0,77	0,77	/	0,77	0,77
$K_e$	0,76	0,75	0,75	0,77	0,77	0,77	0,77	0,77	0,77
$K_n$	/	/	/	0,97	0,97	0,97	2,52	2,52	2,52
$K_s$	0,97	0,97	0,97	2,52	2,52	2,52	1,95	1,95	1,95
$D$	1,73	2,48	2,47	4,26	6,03	5,03	5,24	6,01	6,01

Moments sous (G)

Portique longitudinal

Niveau	Nœud	$q_e$	$q_w$	$M'_e$	$M'_w$	$M_e$	$M_w$	$M_n$	$M_s$
IV	1	5,57	/	7,76	/	4,35	/	/	4,35
	2	5,57	5,57	7,94	7,76	7,89	7,82	/	0,07
	3	5,57	5,57	7,94	7,94	7,94	7,94	/	/
III	7	6,66	/	9,06	/	7,43	/	2,08	5,35
	8	6,66	6,66	9,06	9,06	9,06	9,06	/	/
	9	6,66	6,66	9,06	9,06	9,06	9,06	/	/
II	13	7,32	/	9,96	/	8,50	/	4,79	3,71
	14	7,32	7,32	9,96	9,96	9,96	9,96	/	/
	15	7,32	7,32	9,96	9,96	9,96	9,96	/	/

Moments sous (P)

Niveau	Nœud	$q_e$	$q_w$	$M'_e$	$M'_w$	$M_e$	$M_w$	$M_n$	$M_s$
IV	1	3,2	/	4,46	4,56	4,50	/	/	2,50
	2	3,2	3,2	4,56	4,46	4,53	4,49	/	0,04
	3	3,2	3,2	4,56	4,56	4,56	4,56	/	/
III	7	3,2	/	4,36	/	3,58	/	1,00	2,58
	8	3,2	3,2	4,36	4,36	4,36	4,36	/	/
	9	3,2	3,2	4,36	4,36	4,36	4,36	/	/
II	13	4,8	/	6,53	/	5,57	/	3,14	2,43
	14	4,8	4,8	6,53	6,53	6,53	6,53	/	/
	15	4,8	4,8	6,53	6,53	6,53	6,53	/	/

Moments sous (SIV)

Niveau	Nœud	$q_c$	$q_w$	$M'_c$	$M'_w$	$M_c$	$M_w$	$M_n$	$M_s$
IV	1	1,28	/	1,79	/	1,00	/	/	1,00
	2	1,28	1,28	1,83	1,79	1,82	1,80	/	0,00
	3	1,28	1,28	1,83	1,83	1,83	1,83	/	/
III	7	1,03	/	1,40	/	1,15	/	0,30	0,83
	8	1,03	1,03	1,40	1,40	1,40	1,40	/	/
	9	1,03	1,03	1,40	1,40	1,40	1,40	/	/
II	13	0,62	/	0,85	/	0,73	/	0,41	0,32
	14	0,62	0,62	0,85	0,85	0,85	0,85	/	/
	15	0,62	0,62	0,85	0,85	0,85	0,85	/	/

## Efforts tranchants sous (S)

Niveau	travées	$l(m)$	$q(t/m)$	$M_0(t.m)$	$M_W(t.m)$	$T_0(t)$ ( $x=0$ )	$T_l(t)$ ( $x=l$ )
IV	1-2	4,30	5,57	5,75	7,83	11,50	-12,46
	2-3	4,35	5,57	7,88	7,94	11,46	-12,75
	3-3'	4,35	5,57	7,94	7,94	12,11	-12,11
III	7-8	4,25	6,66	7,79	9,06	13,86	-14,46
	8-9 9-9'	4,25	6,66	9,06	9,06	14,16	-14,16
II	13-14	4,25	7,32	8,50	9,96	15,21	-15,90
	14-15 15-15'	4,25	7,32	9,96	9,96	15,56	-15,56

## Efforts tranchants sous (P)

Niveau	travées	$l(m)$	$q(t/m)$	$M_0(t.m)$	$M_W(t.m)$	$T_0(t)$ ( $x=0$ )	$T_l(t)$ ( $x=l$ )
IV	1-2	4,30	3,20	3,31	4,50	6,60	-7,16
	2-3	4,35	3,20	4,53	4,56	6,96	-6,96
	3-3'	4,35	3,20	4,56	4,56	6,96	-6,96
III	7,8	4,25	3,20	3,75	4,36	6,66	-6,95
	8,9 9-9'	4,25	3,20	4,36	4,36	6,80	-6,80
II	13-14	4,25	4,80	5,57	6,53	9,98	-10,43
	14-15 15-15'	4,25	4,80	6,53	6,53	10,20	-10,20

Efforts tranchants sous (SI<sub>v</sub>)

Niveau	Nœud	l	q (t/m)	M <sub>e</sub>	M <sub>w</sub>	T <sub>g</sub>	T <sub>d</sub>
IV	1-2	4,30	1,28	1,33	1,81	2,64	-2,86
	2-3	4,35	1,28	1,82	1,83	2,79	-2,79
	3-3'	4,35	1,28	1,83	1,83	2,79	-2,79
III	7-8	4,25	1,03	1,20	1,40	2,14	-2,24
	8-9	4,25	1,03	1,40	1,40	2,19	-2,19
	9-9'						
II	13-14	4,25	0,62	0,73	0,85	1,29	-1,36
	14-15			0,85	0,85	1,32	-1,32
	15-15'						

Caracteristiques geometriques du portique transversal :

Niveau	IV		III		II	
Nœuds	1	2	5	6	9	10
$l_w$	/	5,50	/	5,45	/	5,45
$l_e$	5,50	5,55	5,45	5,45	5,45	5,45
$h_n$	/	/	4,40	4,40	3,78	3,78
$h_s$	4,40	4,40	3,78	3,78	4,89	4,89
$I_w$	/	4,50	/	4,50	/	4,50
$I_e$	4,50	4,50	4,50	4,50	4,50	4,50
$I_n$	/	/	3,4	3,4	7,63	7,63
$I_s$	3,4	3,4	7,63	7,63	7,63	7,63
$l'_w$	/	4,40	/	4,36	/	4,36
$l'_e$	4,40	4,44	4,36	4,36	4,36	4,36
$h'_n$	/	/	3,52	3,52	3,03	3,03
$h'_s$	3,52	3,52	3,03	3,03	3,91	3,91
$K_w$	/	1,02	/	1,03	/	1,03
$K_e$	1,02	1,01	1,03	1,03	1,03	1,03
$K_n$	/	/	0,97	0,97	2,52	2,52
$K_s$	0,97	0,97	2,52	2,52	1,95	1,95
$D$	1,93	3	4,52	5,55	5,55	6,53

portique

transversal

Moments sous (S)

Portique transversal

Niveau	Nœuds	$q_c$	$q_w$	$M'_c$	$M'_w$	$M_c$	$M_w$	$M_n$	$M_s$
IV	1	4,45	/	10,14	/	4,97	/	/	4,97
	2	4,45	4,45	10,32	10,14	10,26	10,20	/	0,06
III	5	5,32	/	11,90	/	9,16	/	2,5	6,66
	6	5,32	5,32	11,90	11,90	11,90	11,90	/	/
II	9	5,51	/	12,32	/	10,04	/	5,60	4,33
	10	5,51	5,51	12,32	12,32	12,32	12,32	/	/

Moments sous (P)

Niveau	Nœuds	$q_c$	$q_w$	$M'_c$	$M'_w$	$M_c$	$M_w$	$M_n$	$M_s$
IV	1	2,56	/	5,83	/	2,86	/	/	2,86
	2	2,56	2,56	5,94	5,83	5,90	5,86	/	0,04
III	5	2,56	/	5,73	/	4,40	/	1,20	3,21
	6	2,56	2,56	5,73	5,73	5,73	5,73	/	/
II	9	3,84	/	8,59	/	7,00	/	3,90	3,02
	10	3,84	3,84	8,59	8,59	8,59	8,59	/	/

Moments sous (SIV)

Niveau	Nœud	$q_c$	$q_w$	$M'_c$	$M'_w$	$M_c$	$M_w$	$M_n$	$M_s$
IV	1	1,02	/	2,33	/	1,14	/	/	1,14
	2	1,02	1,02	2,37	2,33	2,36	2,34	/	0,02
III	5	0,82	/	1,84	/	1,42	/	0,33	1,03
	6	0,82	0,82	1,84	1,84	1,84	1,84	/	/
II	9	0,50	/	1,12	/	0,91	/	0,51	0,40
	10	0,50	0,50	1,12	1,12	1,12	1,12	/	/



Efforts tranchants sous (6) Portique transversale P<sub>e</sub>

Niveau	travées	l (m)	q (t/m)	M <sub>e</sub>	M <sub>w</sub>	T <sub>g</sub> (x=0)	T <sub>d</sub> (x=l)
IV	1-2	5,50	4,45	6,90	10,21	11,64	-12,84
	2-2'	5,55	4,45	10,25	10,25	12,35	-12,35
III	5-6	5,45	5,32	9,76	11,90	14,11	-14,90
	6-6'	5,45	6,32	11,90	11,90	14,50	-14,50
II	9-10	5,45	5,51	10,04	12,32	14,73	-15,44
	10-10'	5,45	5,51	12,32	12,32	15,02	-15,02

Efforts tranchants sous (P)

Niveau	travées	l	q	M <sub>e</sub>	M <sub>w</sub>	T <sub>g</sub> (x=0)	T <sub>d</sub> (x=l)
IV	1-2	5,50	2,56	3,97	5,87	6,70	-7,39
	2-2'	5,55	2,56	5,90	5,90	7,10	-7,10
III	5-6	5,45	2,56	4,70	5,73	6,79	-7,17
	6-6'	5,45	2,56	5,73	5,73	6,98	-6,98
II	9-10	5,45	3,84	7,00	8,59	10,35	-10,94
	10-10'	5,45	3,84	8,59	8,59	10,47	-10,47

Efforts tranchants sous (SIV)

Niveau	travées	l	q	M <sub>e</sub>	M <sub>w</sub>	T <sub>g</sub> (x=0)	T <sub>d</sub> (x=l)
IV	1-2	5,50	1,02	1,59	2,35	2,67	-2,95
	2-2'	5,55	1,02	2,36	2,36	2,84	-2,84
III	5-6	5,45	0,82	1,51	1,84	2,17	-2,29
	6-6'	5,45	0,82	1,84	1,84	2,23	-2,23
II	9-10	5,45	0,50	0,91	1,12	1,35	-1,42
	10-10'	5,45	0,50	1,12	1,12	1,37	-1,37

**Superposition des**

**[ifférentes**

**Sollicitations**

portique

longitudinal

Moments flechissant - Poutres -  
- portique longitudinal

Niveau		IV			III		II	
travées =>		1-2	2-3	3-3'	7-8	8-9 9-9'	13-14	14-15 15-15'
G	M <sub>e</sub>	4,35	7,89	7,94	7,43	9,06	8,50	9,36
	M <sub>w</sub>	7,82	7,94	7,94	9,06	9,06	9,36	9,36
P	M <sub>e</sub>	2,50	4,53	4,56	3,58	4,36	5,57	6,53
	M <sub>w</sub>	4,49	4,56	4,56	4,36	4,36	6,53	6,53
S <sub>L</sub> v	M <sub>e</sub>	1	1,82	1,83	1,15	1,40	0,73	0,85
	M <sub>w</sub>	1,80	1,83	1,83	1,40	1,40	0,85	0,85
S <sub>I</sub> h	M <sub>e</sub>	12,47	7,77	7,81	24,5	15,38	31,42	19,70
	M <sub>t</sub>	2,31	0	0	4,56	0	5,86	0
	M <sub>w</sub>	7,86	7,81	7,81	15,38	15,38	19,70	19,70
G + 1/2 P	M <sub>e</sub>	7,35	13,33	13,41	11,73	14,29	15,18	17,20
	M <sub>t</sub>	15,67	14,35	14,32	15,47	14,65	20,30	19,57
	M <sub>w</sub>	13,21	13,41	13,41	14,29	14,29	17,20	17,20
G + P + S <sub>L</sub> v + S <sub>I</sub> h	M <sub>e</sub>	20,32	22,01	22,14	36,66	30,2	46,22	36,44
	M <sub>t</sub>	28,14	15,86	15,83	25,63	15,53	25,40	18,81
	M <sub>w</sub>	21,97	22,14	22,14	30,2	30,2	36,44	36,44

Efforts tranchants - poutres -  
- portique Longitudinal -

Niveau →		IV			III		II	
travées		1-2	2-3	3-3'	7-8	8-9 9-9'	13-14	14-15 15-15'
G	T <sub>e</sub>	11,50	11,46	12,11	13,86	14,16	15,21	15,56
	T <sub>w</sub>	-12,46	-12,75	-12,11	-14,46	-14,16	-15,90	-15,56
P	T <sub>e</sub>	6,60	6,96	6,96	6,66	6,8	9,98	10,20
	T <sub>w</sub>	-7,16	-6,96	-6,96	-6,95	-6,8	-10,43	-10,20
SI <sub>v</sub>	T <sub>e</sub>	2,64	2,79	2,79	2,14	2,19	1,30	1,32
	T <sub>w</sub>	-2,86	-2,79	-2,79	-2,24	-2,19	-1,35	-1,32
SI <sub>H</sub>	T <sub>e</sub>	5,11	0	0	4,37	0	2,76	0
	T <sub>w</sub>	5,11	0	0	4,37	0	2,76	0
G+1,2P	T <sub>e</sub>	19,42	19,81	20,46	21,85	22,32	27,19	27,80
	T <sub>w</sub>	-21,05	-20,07	-20,46	-22,80	-22,32	-28,42	-27,80
G+SI+SI <sub>v</sub>	T <sub>e</sub>	25,85	21,21	21,86	27,03	28,15	29,25	27,08
	T <sub>w</sub>	-27,59	-22,50	-21,86	-28,02	-23,15	-30,44	-27,08

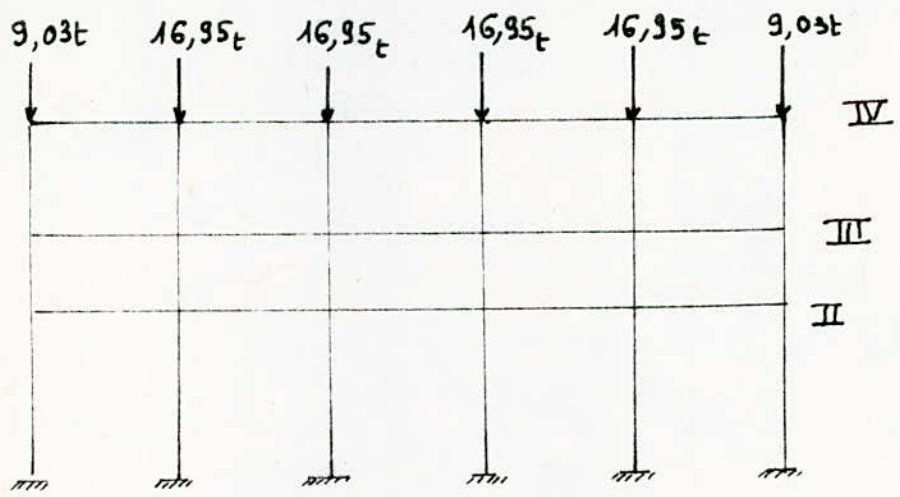
Moments flechissants dans les poteaux

Portique Longitudinal.

niveau.		IV - III			III - II			II - I		
		1-7	2-8	3-9 3'-9'	7-13	8-14	9-15 3'-15'	13-19	14-20	15-21 15'-21'
G	M <sub>s</sub>	4,35	0,07	-	4,18	-	-	3,71	-	-
	M <sub>n</sub>	2,08	-	-	4,79	-	-	3,71	-	-
P	M <sub>s</sub>	2,5	0,04	-	2,01	-	-	2,43	-	-
	M <sub>n</sub>	1	-	-	3,14	-	-	2,43	-	-
SI <sub>v</sub>	M <sub>s</sub>	1	0,02	-	0,65	-	-	0,32		
	M <sub>n</sub>	0,32	-	-	0,41	-	-	0,32		
SI <sub>H</sub>	M <sub>s</sub>	12,5	15,62	15,62	17,88	22,34	22,34	19,5	24,5	24,5
	M <sub>n</sub>	6,72	8,44	8,44	11,92	14,9	14,9	19,4	36,7	36,7
G+1/2P	M <sub>s</sub>	7,35	0,12	-	6,59	-	-	8,14	-	-
	M <sub>n</sub>	3,3	-	-	8,56	-	-	8,14	-	-
G+P+SI	M <sub>s</sub>	20,4	15,73	15,62	24,72	22,34	22,34	27,43	24,5	24,5
	M <sub>n</sub>	10,12	8,44	8,44	20,26	14,9	14,9	37,33	36,7	36,7

Efforts normaux - poteaux -  
portique longitudinal -

File	Poteaux	P.P	G	P	SI <sub>V</sub>	SI <sub>H</sub>	G + 1,2 P		G + P + SI <sub>V</sub> + SI <sub>H</sub>	
							N	N <sub>cum</sub>	N	N <sub>cum</sub>
A	1-7	2,30	25,03	7,20	2,64	5,11	35,97	35,97	42,28	48,68
	7-13	2,86	16,00	7,20	2,14	4,37	27,5	63,47	32,57	74,85
	13-19	3,70	16,00	9,60	1,30	2,76	31,62	94,69	33,36	108,41
B	2-8	2,30	33,15	14,40	5,65	5,11	52,73	52,73	69,61	69,61
	8-14	2,86	16,20	14,40	4,43	4,37	36,34	89,07	42,26	102,87
	14-20	3,70	16,20	19,20	2,67	2,76	42,10	131,17	44,53	147,40
C	3-9	2,30	33,15	14,40	5,65	0	52,73	52,73	55,50	55,50
	9-15	2,86	16,20	14,40	4,43	0	36,34	89,07	37,89	93,39
	15-21	3,70	16,20	19,20	2,67	0	42,94	132,01	41,77	135,16



portique

transversal



Efforts tranchants - poutres -  
- portique transversal -

Niveau $\Rightarrow$		IV		III		II	
travées $\Rightarrow$		1-2	2-2'	5-6	6-6'	9-10	10-10'
G	Te	11,64	12,35	14,11	14,50	14,79	15,02
	Tw	12,84	12,35	14,90	14,50	15,44	15,02
P	Te	6,70	7,10	6,79	6,98	10,35	10,47
	Tw	7,39	7,10	7,17	6,98	10,94	10,47
S <sub>IV</sub>	Te	2,67	2,84	2,17	2,23	1,35	1,37
	Tw	2,95	2,84	2,29	2,23	1,42	1,37
S <sub>IH</sub>	Te	2,38	0	2,33	0	1,82	0
	Tw	2,38	0	2,33	0	1,82	0
S <sub>7,8,9</sub>	Te	19,68	20,87	22,26	22,88	27,15	27,58
	Tw	21,71	20,87	23,50	22,88	28,57	27,58
S <sub>1+2+3+4+5+6+7+8+9+10</sub>	Te	23,39	22,29	25,40	23,71	28,25	26,86
	Tw	25,56	22,29	26,66	23,71	29,62	26,86

Moments fléchissants dans les poteaux.

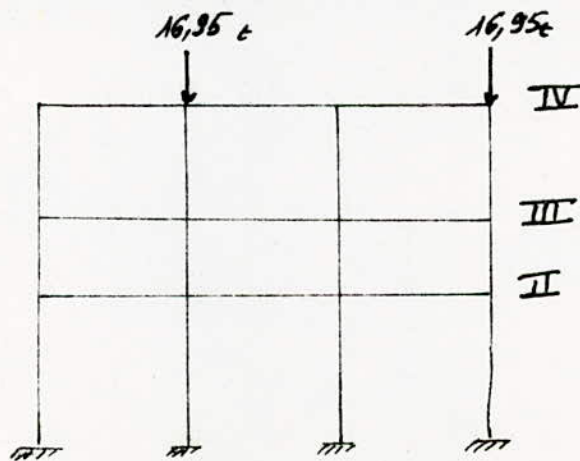
Portique transversal.

niveau		IV - III		III - II		II - I.	
		1-5	2-6 2'-6'	5-9	6-10 6'-10'	9-13	10-14 10'-14'
G	M <sub>s</sub>	4,97	0,06	5,24	-	4,33	-
	M <sub>u</sub>	2,5	-	5,60	-	4,33	-
P	M <sub>s</sub>	2,86	0,04	2,53	-	3,02	-
	M <sub>u</sub>	1,20	-	3,91	-	3,02	-
SIV	M <sub>s</sub>	1,14	0,02	0,81	-	0,40	-
	M <sub>u</sub>	1,03	-	0,51	-	0,40	-
SIH	M <sub>s</sub>	10,6	13,3	15,11	18,9	16,6	20,8
	M <sub>u</sub>	5,8	7,2	10,1	12,6	24,85	31,10
G+P+I	M <sub>s</sub>	8,41	0,09	8,28	-	7,96	-
	M <sub>u</sub>	3,94	-	10,29	-	7,96	-
G+P+S+I	M <sub>s</sub>	19,6	13,4	23,69	18,9	24,35	20,8
	M <sub>u</sub>	10,3	7,2	20,09	12,6	32,6	31,10

**Ferrailage des**  
**Poutres**

Efforts normaux - poteaux  
partique transversal.

file	poteau	l.P	G	P	SIV	SIN	G + 1,2 P		G + P + SIV + SIN	
							N	N <sub>norm</sub>	N	N <sub>norm</sub>
D	1-5	2,30	16,00	7,20	2,67	2,38	26,94	26,94	30,55	30,55
	5-9	2,86	16,00	7,20	2,14	2,33	27,50	54,44	30,56	61,11
	9-13	3,7	16,00	9,60	1,35	1,82	31,22	85,66	32,17	93,58
E	2-6	2,30	33,15	14,40	5,79	2,38	52,73	52,73	58,02	58,02
	6-10	2,86	16,20	14,40	4,52	2,33	36,34	89,07	40,31	98,33
	10-14	3,70	16,20	19,20	2,79	1,82	42,94	134,01	43,71	142,04
E'	2'-6'	2,30	16,20	14,40	5,79	2,38	35,78	35,78	41,07	41,07
	6'-10'	2,86	16,20	14,40	4,52	2,33	34,34	71,68	40,31	81,28
	10'-14'	3,70	16,20	19,20	2,79	1,82	39,10	110,78	43,91	125,03
D'	1'-5'	2,30	32,95	7,20	2,67	2,38	43,89	43,89	47,5	47,5
	5'-9'	2,86	16,00	7,20	2,14	2,33	27,5	71,39	30,56	78,06
	9'-13'	3,70	16,00	9,60	1,35	1,82	31,22	102,61	32,47	110,53



## FERRAILLAGE - DES - POUTRES -

Conformément à l'article A15 du C.C.B.A 68, il ne sera pas fait état dans les calculs des efforts normaux dans les poutres. Les poutres seront donc ferrillées en flexion simple. La méthode de détermination des armatures que nous utiliserons est celle de P. CHARON.

Les poutres sont ferrillées sous la combinaison la plus défavorable entre les sollicitations du 1<sup>er</sup> genre ( $S_{P1}$ ) et les sollicitations du 2<sup>d</sup> genre ( $S_{P2}$ ), avec les conditions suivantes :

- si  $\max [1,5 M(S_{P1}) ; M(S_{P2})] = 1,5 M(S_{P1})$  on calcule la section sous  $S_{P1}$
- si  $\max [1,5 M(S_{P1}) ; M(S_{P2})] = M(S_{P2})$  on calcule la section sous  $S_{P2}$  (...)

Méthode utilisée pour le calcul des armatures longitudinales

$$\text{On calcule } \mu = \frac{15 M}{\bar{\sigma}_a \cdot b \cdot h^2} \xrightarrow{\text{Tableau}} K, \varepsilon \longrightarrow \sigma'_b = \frac{\bar{\sigma}_a}{K}$$

si  $\sigma'_b \leq \bar{\sigma}'_b$  les armatures comprimées ne sont pas nécessaires et les armatures tendues sont données par :

$$A = \frac{M}{\bar{\sigma}_a \cdot \varepsilon \cdot h}$$

si  $\sigma'_b > \bar{\sigma}'_b$  les armatures comprimées sont nécessaires.

$$\text{on calcule alors : } \begin{cases} K_1 = \frac{15}{\mu} \frac{\bar{\sigma}_a}{\bar{\sigma}'_b} \\ K_2 = \frac{15 (h - d')}{\frac{\bar{\sigma}'_a}{\bar{\sigma}_a} \cdot h + d'} \end{cases}$$

• si  $k_1 > k_2$  on prend  $k_1 \xrightarrow{\text{Tableau}} \alpha, \mu', \epsilon$ .

ou aura  $M_1 = \mu' \cdot \bar{\sigma}'_b \cdot b \cdot h^2 \rightarrow M_2 = M - M_1$

$\eta = \alpha \cdot h \rightarrow \bar{\sigma}'_a = \frac{15}{\eta} (\eta - d') \bar{\sigma}'_b$

la section d'armatures comprimées sera :  $A' = \frac{M_2}{(h-d') \bar{\sigma}'_a}$

la section d'armatures tendues sera :  $A = \frac{M_1}{\bar{\sigma}_a \cdot \epsilon \cdot h} + \frac{M_2}{(h-d') \bar{\sigma}_a}$

avec  $\bar{\sigma}_a = k \cdot \bar{\sigma}'_b$ .

• si  $k_1 < k_2$  on prend  $k_2 \xrightarrow{\text{Tableau}} \mu', \epsilon$

$\rightarrow \bar{\sigma}'_b = \frac{15}{m} \frac{\bar{\sigma}_a}{k_2} \longrightarrow M_1 = \mu' \cdot \bar{\sigma}'_b \cdot b \cdot h^2 \rightarrow M_2 = M - M_1$

la section d'armatures comprimées sera :  $A' = \frac{M_2}{(h-d') \bar{\sigma}'_a}$

la section d'armatures tendues sera :  $A = A' + \frac{M_1}{\bar{\sigma}_a \cdot \epsilon \cdot h}$

Calcul des armatures transversales.

Les armatures transversales sont calculées avec l'effort tranchant maximal du niveau. Les armatures sont adoptées pour toutes les traves du niveau considéré.

Formules utilisées :

Contrainte de cisaillement max :

$\tau_{ob} = \frac{T}{b \cdot \frac{2}{3} \cdot h}$

$b = 30 \text{ cm}$

$h = \begin{cases} 55 \text{ cm} & \text{pour les poutres transversales.} \\ 45 \text{ cm} & \text{pour les poutres longitudinales.} \end{cases}$

Contraintes de cisaillement admissibles

on pose:  $\bar{\tau}_{b1} = 3,5 \bar{\sigma}_b$   
 $\bar{\tau}_{b2} = (4,5 - \frac{\sigma'_b}{\bar{\sigma}'_{b0}}) \bar{\sigma}_b$   
 $\bar{\tau}_{b3} = 5 \bar{\sigma}_b$

si  $\sigma'_b \leq \bar{\sigma}'_{b0}$  et  $\tau_b \leq \bar{\tau}_{b1}$  } on utilisera des cadres  
 si  $\bar{\sigma}'_{b0} < \sigma'_b \leq 2\bar{\sigma}'_{b0}$  et  $\tau_b \leq \bar{\tau}_{b2}$  } et étrécs verticaux.

si  $\sigma'_b \leq \bar{\sigma}'_{b0}$  et  $\bar{\tau}_{b1} < \tau_b \leq \bar{\tau}_{b3}$  } on utilisera des cadres  
 si  $\bar{\sigma}'_{b0} < \sigma'_b \leq 2\bar{\sigma}'_{b0}$  et  $\bar{\tau}_{b2} < \tau_b \leq \bar{\tau}_{b3}$  } et des étrécs verticaux  
 plus des barres obliques.

si  $\tau_b > \bar{\tau}_{b3}$  on doit changer le béton.

avec  $\bar{\sigma}_b = 5,9 \text{ kg/cm}^2$   
 $\bar{\sigma}'_{b0} = 68,85 \text{ kg/cm}^2$

pour calculer  $\sigma'_b$ , on utilise la méthode suivante:

soient A : section d'armatures longitudinales } à l'appui considéré.  
 M : moment

on calcule  $\tilde{\nu} = \frac{100A}{b \cdot h}$   $\xrightarrow{\text{Tableau}}$   $k, \epsilon$   $\rightarrow \sigma_a = \frac{M}{A \cdot \epsilon \cdot h}$   $\rightarrow \sigma'_b = \frac{\sigma_a}{k}$

Contraintes admissibles des armatures transversales:

$\bar{\sigma}_{at} = f_a \cdot \sigma_{cu}$

- les armatures transversales sont constituées de barres FeE24  $\rightarrow \sigma_{cu} = 2400 \frac{\text{kg}}{\text{cm}^2}$
- la section ne comporte pas de reprise de bétonnage.

$f_a = \max \left[ \frac{2}{3}, 1 - \frac{\tau_b}{9\bar{\sigma}_b} \right]$

Calcul des espacements :

$$t_0 = \frac{A_t \cdot \bar{\sigma}_{at}}{T_{max}} ; \text{ avec } A_t : \text{ section des armatures transversales}$$

Espacement admissible :

$$\bar{t} = \max \begin{cases} t_1 = \left(1 - 0,3 \frac{\tau_b}{\sigma_b}\right) \cdot h \\ t_2 = 0,2 \cdot h \end{cases}$$

Vérifications des contraintes dans les poutres :

La méthode utilisée est celle de P. CHARON ; elle est exposée dans l'ouvrage "Calcul pratique des sections de béton armé".

Elle est la suivante ; on calcule successivement :

$$A_1 = A + A'$$

$$h_1 = \frac{A' \cdot d' + A \cdot h}{A + A'}$$

$$\bar{m} = \frac{100 \cdot A_1}{b \cdot h_1} \rightarrow \epsilon$$

$$\alpha = 3(1 - \epsilon) \rightarrow \gamma_1 = \alpha \cdot h_1 \rightarrow k' = 15 \left(\frac{h}{\gamma_1} - 1\right)$$

$$\sigma_a = \frac{M}{A(h-d') - \frac{15}{m} \frac{\gamma_1}{2k'} \left(\frac{\gamma_1}{3} - d'\right)}$$

$$\sigma'_b = \frac{15 \sigma_a}{m k'}$$

$$\sigma'_a = \frac{\gamma_1 - d'}{h - \gamma_1} \sigma_a$$



porlique

longitudinal

Niveau IV

	1	1-2	2	2-3	3	3-3'
$M_{(t.m)}$	29,32°	28,14°	22,01°	15,75	22,14°	14,32
$\mu$	0,1254	0,1737	0,1367	0,1459	0,1367	0,1327
$K$	21,3	17	20,1	19,3	20,1	20,5
$\epsilon$	0,8623	0,8438	0,8576	0,8542	0,8576	0,8592
$K_1$	19,38	19,38	19,38	19,38	19,38	19,38
$K_2$		12		12		
$\alpha$		0,4360		0,4360		
$\mu'$		0,1863		0,1863		
$\epsilon$		0,8547		0,8547		
$M_1$		23,34		15,56		
$M_2$		4,8		0,19		
$y$		19,62		19,62		
$\sigma'_a$		2305		1537		
$\sigma_a$	4000	4000	4000	2665	4000	2665
$A'_{cm^2}$		5,3		0,31 3T10		
$A_{cm^2}$	13,1 3T25	18,18	14,35 3T25	15,18 5T20	14,35 3T25	13,85 3T25

Niveau III

	7	7-8	8	8-9	9	9-9'
$M_{(t.m)}$	36,66°	25,44°	30,20°	14,65	30,20°	14,65
$\mu$	0,2263	0,1570	0,1864	0,1357	0,1864	0,1357
K	14,1	18,3	16,20	20,2	16,20	20,2
$\epsilon$	0,8282	0,8499	0,8397	0,8580	0,8397	0,8535
$K_1$	19,38	19,38	19,38	19,38	19,38	19,38
$K_2$	12	12	12	12	12	12
$\alpha$	0,4360	0,4360	0,4360		0,4360	
$\mu'$	0,1863	0,1863	0,1863		0,1863	
$\epsilon$	0,8547	0,8547	0,8547		0,8547	
$M_1$	23,34	28,34	23,34		23,34	
$M_2$	13,32	2,1	6,86		6,86	
y	19,62	19,62	19,62		19,62	
$\sigma'_a$	2305	2305	2305		2305	
$\sigma_a$	4000	4000	4000	2665	4000	2665
$A'_{cm^2}$	12,84	2,30	7,44		7,44	
$A_{cm^2}$	22,58	16,48	19,46	14,24	19,46	14,24

Niveau II

	13	13-14	14	14-15	15	15-15'
$M_{(t.m)}$	46,22°	20,30	36,44°	19,57	36,44°	19,57
$\mu$	0,2853	0,1881	0,2249	0,1815	0,2249	0,1813
K	11,9	16,1	14,2	16,6	14,2	16,6
$\epsilon$	0,8141	0,8398	0,8288	0,8418	0,8288	0,8418
$K_1$	19,38	19,38	19,38	19,38	19,38	19,38
$K_2$	12	12	12	12	12	12
$\alpha$	0,4360	0,4360	0,4360	0,4360	0,4360	0,4360
$\mu'$	0,1863	0,1863	0,1863	0,1863	0,1863	0,1863
$\epsilon$	0,8547	0,8547	0,8547	0,8547	0,8547	0,8547
$M_1$	23,34	15,56	23,34	15,56	23,34	15,56
$M_2$	22,88	4,74	13,1	4,01	13,1	4,01
y	19,62	19,62	19,62	19,62	19,62	19,62
$\sigma'_a$	2305	1537	2305	1537	2305	1537
$\sigma_a$	4000	2665	4000	2665	4000	2665
$A'_{cm^2}$	24,82 6725	7,41 3720	14,21 3725	6,52 3720	14,21 3725	6,52 3720
$A_{cm^2}$	23,47 6725	19,63 4725	23,36 5725	18,94 4725	23,36 5725	18,94 4725

VERIFICATION des CONTRAINTES

Niveau IV

	1	1-2	2	2-3	3	3-3'
M	36,74	27,43	13,32	15,75	13,41	14,32
R+A <sub>2</sub> A <sub>1</sub>	40,25	23,47	14,73	15,71	14,73	14,73
h <sub>1</sub>	23,40	37,13	45	45	45	45
$\tilde{w}$	4,5635	2,107	1,0911	1,16	1,0911	1,0911
K			19,8	19	19,8	19,8
E	0,7768	0,8201	0,8563	0,8534	0,8563	0,8563
K	0,6696	0,5396				
y <sub>1</sub>	19,69	20,04				
K'	19,28	18,68				
$\sigma_a$	3837	3773	2347	2611	2347	2347
$\sigma'_a$	2227	2273				
$\sigma'_b$	199	202	113,5	137,4	119	119

Remarque:  $\sigma_a < \begin{cases} \bar{\sigma}_a = 4000 \text{ pour } SP_2 \\ \bar{\sigma}_a = 2665 \text{ pour } SP_1 \end{cases}$

$\sigma'_b < \begin{cases} \bar{\sigma}'_b = 206,5 \text{ pour } SP_2 \\ \bar{\sigma}'_b = 137,5 \text{ pour } SP_1 \end{cases}$

Niveau III

	Z	Z-8	8	8-9	9	9-8'
M	44,8A	25,44	28,33	14,65	28,33	14,65
A+K=A <sub>n</sub>	53,6	23,6	25,66	14,73	25,66	14,73
h <sub>n</sub>	27	35	35,6	45	35,6	45
w	6,6173	2,276	2,403	1,0911	2,405	1,0911
K				19,8		19,8
ε	0,7573	0,8162	0,8127	0,8563	0,8127	0,8563
α	0,7281	0,5515	0,5618		0,5618	
β <sub>n</sub>	19,66	19,30	20,0		20,0	
K'	19,334	19,944	18,75		18,75	
σ <sub>n</sub>	3382	3666	3735	2581	3735	2581
σ' <sub>α</sub>	1957	2040	2241		2241	
σ' <sub>β</sub>	175	184	199	131	199	13

88

Niveau II

	13	13-14	14	14-15	15	15-15'
M	46,22	20,30	36,44	19,57	36,44	19,57
A+K=A <sub>n</sub>	58,9	23,47	39,27	23,47	39,27	23,47
h <sub>n</sub>	25	28,24	20,0	22,24	20,0	22,24
w	7,853	3,518	6,545	3,518	6,545	3,518
K						
ε	0,7475	0,7908	0,7573	0,7908	0,7573	0,7908
α	0,7576	0,6276	0,7281	0,6276	0,7281	0,6276
β <sub>n</sub>	18,94	13,96	14,56	13,96	14,56	13,96
K'	20,64	23,35	31,36	33,35	31,36	33,25
σ <sub>n</sub>	3985	2578	3709	2486	3709	2486
σ' <sub>α</sub>	2132	745	1165	718	1165	718
σ' <sub>β</sub>	103	2300	38	22	38	22

- Vérification de la condition de non-fragilité (Art 52. c.c.B.A. 68).

$$A \geq 0,69 \cdot b \cdot h \cdot \frac{\bar{\sigma}_b}{\sigma_{cm}}$$

$b = 30 \text{ cm}$   
 $h = 45 \text{ cm}$   
 $\sigma_{cm} = 4200 \text{ kg/cm}^2$

sous  $SP_1$  :  $\bar{\sigma}_b = 5,8 \text{ kg/cm}^2$   
 $A \geq 0,69 \cdot 30 \cdot 45 \cdot \frac{5,8}{4200} = 1,29 \text{ cm}^2$

sous  $SP_2$  :  $\bar{\sigma}_b = 8,7 \text{ kg/cm}^2$   
 $A \geq 0,69 \cdot 30 \cdot 45 \cdot \frac{8,7}{4200} = 1,93 \text{ cm}^2$

- Vérification de la condition de non-fissuration.

niveau IV.

	1	1-2	2	2-3	3	3-3'
$A$ $\text{cm}^2$	24,54	18,85	14,73	15,71	14,73	14,73
$B_f$ $\text{cm}^2$	300	300	300	300	300	300
$\bar{\omega}_f$ réel	0,082	0,063	0,05	0,053	0,05	0,05
$\bar{\omega}_f$ théor.	0,0198	0,0169	0,0199	0,0169	0,0199	0,0198
$\bar{\sigma}_1$	>4200	>4200	>3000	>3000	>3000	>3000

avec : A : section d'armatures tendues sur appuis ou en travée.

$B_f$  : section d'enrobage (de béton).

niveau III

	7	7-8	8	8-9	9	9-9'
A	29,45	17,14	19,63	14,73	19,63	14,73
B <sub>f</sub>	300	300	300	300	300	300
$\bar{\omega}_f$ reel	0,098	0,059	0,065	0,05	0,065	0,05
$\bar{\omega}_f$ theor	0,0188	0,0188	0,0188	0,0188	0,0188	0,0188
$\sigma_1$	>4200	>4200	>4200	>2800	>4200	>2800

niveau II

	13	13-14	14	14-15	15	15-15'
A	28,45	19,63	24,54	19,63	24,54	19,63
B <sub>f</sub>	300	300	300	300	300	300
$\bar{\omega}_f$ reel	0,098	0,065	0,082	0,065	0,082	0,065
$\bar{\omega}_f$ theor	0,0188	0,0188	0,0188	0,0188	0,0188	0,0188
$\sigma_1$	>4200	>2800	>4200	>2800	>4200	>2800



- Vérification de la flèche (Art 61 . c.c.B.A 68).

on doit vérifier que:

$$A \leq \frac{43}{500} \cdot b_0 \cdot h.$$

$$\frac{43}{4200} \cdot 30 \cdot 45 = 13,82 \text{ cm}^2 < A. \quad \text{non vérifié}$$

on doit justifier la flèche. (Art 61.21. ii . c.c.B.A. 68).

on vérifie pour le niveau II qui est le plus chargé.

$$G = 1 \times 1 \times 0,20 \times 2500 = 500 \text{ kg/m}^2.$$

$$\rightarrow q = 500 \times 0,30 = 150 \text{ kg/ml.} \quad \rightarrow Mq = 0,81 \cdot 150 \cdot \frac{4,25^2}{8} = 274,4$$

$$\rightarrow q = (500 + 800) \cdot 0,3 = 390 \text{ kg/ml.} \quad \rightarrow Mq = 0,81 \cdot 390 \cdot \frac{4,25^2}{8} = 713,2$$

pour les cloisons on aura:

$$j = 75 \times 0,3 = 22,5 \text{ kg/ml} \quad \rightarrow Mj = 0,81 \cdot 22,5 \cdot \frac{4,25^2}{8} = 41,2.$$

les poutres longitudinales étant toutes identiques

$$I = \frac{b \cdot h^3}{12} = \frac{30 \cdot 45^3}{12} = 227812,5 \text{ cm}^4.$$

calcul de  $\bar{w}$ .

$$\bar{w} = \frac{A}{b_0 \cdot h} = \frac{19,11}{30 \cdot 45} = 0,0142$$

• charges de faible durée d'application:

$$\lambda_i = \frac{\bar{b}_0}{72(2+3)\bar{w}} = \frac{5,8}{72 \cdot 5 \cdot 0,0142} = 1,1346$$

• charges de longue durée d'application:

$$\lambda_v = \frac{\bar{b}_0}{180(2+3)\bar{w}} = \frac{5,8}{180(2+3)0,0142} = 0,4538.$$

Determination de la contrainte ( $\sigma_a$ )

$$\bar{m} = \frac{100 \cdot A}{b \cdot h} = 1,42 \quad \xrightarrow{\text{Tableau}} \quad \varepsilon = 0,8423.$$

$$\cdot \text{charge (g)} : \quad \sigma_a = \frac{M_g}{A \cdot \varepsilon \cdot h} = \frac{27440}{19,11 \cdot 0,8423 \cdot 45} = 37,8 \text{ kg/cm}^2$$

$$\cdot \text{charge (q)} : \quad \sigma_a = \frac{M_q}{A \cdot \varepsilon \cdot h} = \frac{71320}{19,11 \cdot 0,8423 \cdot 45} = 98,5 \text{ kg/cm}^2$$

$$\cdot \text{charge (j)} : \quad \sigma_a = \frac{M_j}{A \cdot \varepsilon \cdot h} = \frac{4120}{19,11 \cdot 0,8423 \cdot 45} = 5,7 \text{ kg/cm}^2.$$

Determination de ( $\mu$ ).

• charge (g)

$$\mu_g = 1 - \frac{5 \bar{\sigma}_b}{4 m \cdot \sigma_a + 3 \bar{\sigma}_b} = 1 - \frac{5 \times 5,8}{4 \times 0,0142 \times 37,8 + 3 \times 5,8} = -0,48 \quad \mu_g = 0$$

• charge (q)

$$\mu_q = 1 - \frac{5 \times 5,8}{4 \times 0,0142 \times 98,5 + 3 \times 5,8} = -0,54 \quad \rightarrow \mu_q = 0$$

• charge (j)

$$\mu_j = 1 - \frac{5 \times 5,8}{4 \times 0,0142 \times 5,7 + 3 \times 5,8} = -0,63 \quad \rightarrow \mu_j = 0.$$

$$\text{d'où} \quad I_{f_v} = I_{f_i} = I_{f_j} = I = 227812,5.$$

Calcul du module de déformation longitudinal.

$$E_v = 7000 \sqrt{\sigma'_j} = 7000 \sqrt{1,2 \cdot 275} = 127161 \text{ kg/cm}^2$$

$$E_i = 3 \cdot E_v = 381484 \text{ kg/cm}^2$$

91

• calcul de  $f_{g\infty}$

$$f_{g\infty} = \frac{Mg \cdot l^2}{10 \cdot E_v \cdot I_v} = \frac{27440 \cdot 425^2}{10 \cdot 127161 \cdot 227812,5} = 0,017 \text{ cm}$$

• calcul de  $f_{q_0}$

$$f_{q_0} = \frac{Mq \cdot l^2}{10 \cdot E_c \cdot I_f} = \frac{71320 \cdot 425^2}{10 \cdot 381484 \cdot 227812,5} = 0,015 \text{ cm}$$

• calcul de  $f_{j_0}$

$$f_{j_0} = \frac{M_j \cdot l^2}{10 \cdot E_c \cdot I_f} = \frac{570 \cdot 425^2}{10 \cdot 381484 \cdot 227812,5} = 0,0002 \text{ cm}$$

• calcul de  $f_{g_0}$

$$f_{g_0} = \frac{Mg \cdot l^2}{10 \cdot E_c \cdot I} = \frac{27440 \cdot 425^2}{10 \cdot 381484 \cdot 227812,5} = 0,006 \text{ cm}$$

Calcul de la fleche nuisible:

$$\Delta f_t = f_{g\infty} - f_{j_0} + f_{q_0} - f_{g_0}$$

$$= 0,017 - 0,0002 + 0,015 - 0,006 = 0,03 \text{ cm}$$

Calcul de la fleche admissible:

$$l < 5 \text{ m} \rightarrow \bar{\Delta f}_t = \frac{l}{500} = \frac{425}{500} = 0,85 \text{ cm}$$

$$\Delta f_t = 0,03 \text{ cm} < \bar{\Delta f}_t = 0,85 \text{ cm} \quad \text{verifié}$$

Verification de la condition de non-entrainement des armatures.

On a :  $\bar{\tau}_d = 2 \cdot \psi_d \cdot \bar{\sigma}_b$  avec  $\psi_d = 1,5$  pour les aciers HA  
 $= 2 \times 1,5 \times 5,9 = 17,70 \text{ kg/cm}^2$ .

On doit vérifier que

$$\tau_d = \frac{T}{n \cdot p \cdot z} \leq \bar{\tau}_d \quad \text{avec } T = \text{effort tranchant}$$

$$\tau_{di} = \frac{T}{p \cdot z_{mi}} \cdot \frac{A_{ci}}{A} \leq \bar{\tau}_d$$

niveau	A cm <sup>2</sup>	T t	$\phi$ cm	A <sub>i</sub> /A	$\tau_{ui}$ cm	$\tau_{di}$
IV	24,54	19,42	2,5	0,2	7,85	12,56 kg/cm <sup>2</sup>
III	29,45	21,85	2,5	0,1667	7,85	11,78 kg/cm <sup>2</sup>
II	29,45	27,19	2,5	0,1667	7,85	14,6 kg/cm <sup>2</sup>

Condition aux appuis.

1/ On doit avoir :  $c \geq \frac{2T}{b \cdot \bar{\sigma}'_b} = c_0$

on prend l'effort tranchant maximal :  $T = 27,19 \text{ t}$  (aux appuis de rive).

$$c_0 = \frac{2 \cdot 27190}{30 \cdot 68,85} = 26,4 \text{ cm} < 45 \text{ cm} < 55 \text{ cm}.$$

$c$  = largeur du poteau.

2/ Conditions sur les armatures inférieures:

Sur les appuis, les sections A des armatures inférieures doivent satisfaire à l'inégalité suivante.

$$A \cdot \bar{\sigma}_a \geq T + \frac{M}{3}$$

M: moment dans la section d'appui pris avec son signe.

Appui	1	2	3	7	8	9	13	14	17
A	15,71	0	0	24,15	6,03	6,03	29,45	14,73	14,73
T	19,42	29,05	20,46	29,85	22,8	22,32	27,19	28,42	27,8
M	36,74	13,32	13,41	44,81	28,33	28,33	46,22	36,44	36,44
$T - \frac{M}{3}$	< 0	< 0	< 0	< 0	< 0	< 0	< 0	< 0	< 0

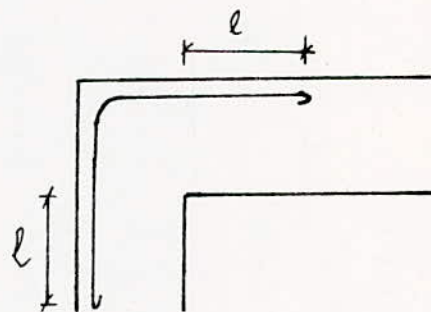
Arçage des armatures supérieures des poutres (chapeaux) au niveau des poteaux pour les appuis de rive.

Pour un arçage en retour d'équerre, nous devons avoir

$$l \geq 0,13 \cdot \frac{\bar{\sigma}_a}{\bar{\sigma}_d} = 1,17 \cdot 3.$$

$$\bar{\sigma}_d = 1,25 \cdot \psi_s^2 \cdot \bar{\sigma}_b = 17,7 \text{ kg/cm}^2$$

$$l \geq 17\phi \rightarrow l = 50 \text{ cm.}$$



Calcul des armatures transversales.

Le portique longitudinal étant constitué de travées identiques, nous envisageons d'adopter le même ferrailage transversal pour toutes les portées d'un même niveau, ainsi que les espacements.

niveau III

Appui 1:  $T = 19,42 \text{ t}$  ,  $\tau_b = \frac{T}{b_0 \cdot z} = 16,44 \text{ kg/cm}^2$

$$\sigma'_b = 199 \text{ kg/cm}^2 \rightarrow \bar{\sigma}'_{b0} < \sigma'_b < 2 \bar{\sigma}'_{b0}$$

$$\bar{\tau}_b = \left( 4,5 - \frac{199}{103,275} \right) \cdot 8,7 = 22,38 \text{ kg/cm}^2$$

$$\tau_b < \bar{\tau}_b \rightarrow \text{cadres et étriers uniquement. } (\phi 10)$$

$$s = \frac{3,14 \cdot 7 \cdot 45 \cdot 1600}{8 \cdot 19420} = 10,2 \text{ cm}$$

$$\bar{s} = \max \begin{cases} 0,2 \cdot h = 9 \text{ cm} \\ 45 \left( 1 - 0,3 \cdot \frac{16,44}{8,7} \right) = 6,8 \text{ cm} \end{cases}$$

$\rightarrow$  on adopte un espacement de 9 cm à l'appui.

Appui 2:  $T = 21,05 \text{ t}$  ,  $\tau_b = 17,82 \text{ kg/cm}^2$

$$\sigma'_b = 199 \text{ kg/cm}^2 , \quad \bar{\sigma}'_{b0} < \sigma'_b < 2 \bar{\sigma}'_{b0}$$

$$\bar{\tau}_b = 16,1 \text{ kg/cm}^2$$

$\tau_b > \bar{\tau}_b \rightarrow$  les armatures obliques sont nécessaires en plus des cadres et des étriers.

on releva de  $T_{20}$  de chaque côté de l'appui et on adopte des cadres et des étriers  $\phi 8$  espacés de 9 cm à l'appui.

Appui 3.

$$T = 20,46 \text{ t} \quad , \quad \tau_b = 17,32 \text{ kg/cm}^2$$

$$\sigma'_b = 119 \text{ kg/cm}^2 \quad , \quad \bar{\sigma}'_{b0} < \sigma'_b < 2\bar{\sigma}'_{b0}$$

$$\bar{\tau}_b = 16,2 \text{ kg/cm}^2$$

$\tau_b > \bar{\tau}_b \rightarrow$  les armatures obliques sont nécessaires  
en plus des cadres et des étriers  $\phi 8$ .

On relievera de part et d'autre à gauche de l'appui et 2T25 à  
droite de l'appui, et on adoptera des cadres et des étriers  $\phi 8$   
espacés de 9 cm à l'appui.

niveau IIIAppui 7 :

$$T = 21,85 \text{ t} \quad , \quad \tau_b = 18,5 \text{ kg/cm}^2$$

$$\sigma'_b = 175 \text{ kg/cm}^2 \quad , \quad \bar{\sigma}'_b < \sigma'_b < 2\bar{\sigma}'_b$$

$$\bar{\tau}_b = 24,41 \text{ kg/cm}^2$$

$\tau_b < \bar{\tau}_b \rightarrow$  cadres et étriers verticaux uniquement  
on adoptera des  $\phi 10$  espacés de 9 cm à l'appui.

Appui 8 :

cadres et étriers verticaux uniquement  
 $\phi 10$ . espacés de 8 cm à l'appui

Appui 9 :

cadres et étriers verticaux uniquement  
 $\phi 10$ . espacés de 8 cm à l'appui.

niveau IIAppui 13Appui 14Appui 15

} cadres et étriers verticaux uniquement  
 $\phi 12$  espacés de 9 cm à l'appui.



portique

transversal



Niveau IV

	1	1-2	2	2-2'
M	19,57°	20,87	17,33	18,71
$\mu$	0,0808	0,1294	0,1075	0,1104
K	28,4	20,9	23,6	23,2
E	0,8848	0,8607	0,8705	0,8691
A	10,1	16,55	13,4	14

Niveau III

	5	5-6	6	6-6'
M	35,89°	20,33	32,52°	19,26
$\mu$	0,1483	0,1200	0,1344	0,1187
K	19	21,9	20,3	22,7
E	0,8529	0,8645	0,8584	0,8674
$K_1$	19,4			
$K_2$	12,5			
$\alpha$	0,4360			
$\mu'$	0,1863			
E	0,8547			
$M_1$	34,88			
$M_2$	1			
y	23,98			
$\sigma'_a$	2449			
$\sigma_a$	4000			
$A'_{cm^2}$	0,82			
$A_{cm^2}$	19,1	15,27	17,23	14,42

Niveau II

	9	9-10	10	10-10'
M	44,62°	26,4	38,73°	25,26
$\mu$	0,1843	0,1636	0,1601	0,1607
K	16,35	17,8	18,0	18,3
E	0,8405	0,8476	0,8485	0,8499
$K_1$	19,4	19,4	19,4	19,4
$K_2$	12,5	12,5	12,5	12,5
$\alpha$	0,4360	0,4360	0,4360	0,4360
$\mu'$	0,1863	0,1863	0,1863	0,1863
E	0,8547	0,8547	0,8547	0,8547
$M_1$	34,9	23,3	34,9	23,3
$M_2$	9,72	3,1	9,83	1,96
y	23,98	23,98	23,98	23,98
$\sigma'_a$	2449	1632	2449	1632
$\sigma_a$	4000	2665	4000	2665
$A'_{cm^2}$	7,95	3,8	3,13	2,5
$A_{cm^2}$	23,42	20,93	20,5	20,1

Verification des contraintes

Niveau IV

	1	1-2	2	2-2'
M	28,17 <sup>•</sup>	18,89	17,33	18,71
P	17,87	24,15	17,87	24,15
h <sub>a</sub>	55	55	55	55
w	1,083	1,4636	1,083	1,4636
K	19,9	16,4	19,9	16,4
ε	0,8567	0,8406	0,8567	0,8406
σ <sub>a</sub>	3345	1692	2058	1676
σ' <sub>b</sub>	169	104	104	103

Niveau III

	5	5-6	6	6-6'
M	45,27 <sup>•</sup>	20,33	30,33 <sup>•</sup>	19,26
A+A'=A <sub>1</sub>	33,57	15,70	17,87	15,70
h <sub>a</sub>	40,97	55	55	55
w	2,731	0,9515	1,083	0,9515
K		21,55	19,85	21,55
ε	0,8055			
α	0,5836			
γ <sub>1</sub>	23,91			
K'	19,504			
σ <sub>a</sub>	3928	2728 < 2800	3603	2680 < 2800
σ' <sub>a</sub>	2389			
σ' <sub>b</sub>	202	127	121,6	124,4

Niveau II

	9	9-10	10	10-10'
M	44,62 <sup>•</sup>	26,4	38,73 <sup>•</sup>	25,16
A+A'=A <sub>1</sub>	33,57	30,18	33,57	30,18
h <sub>a</sub>	40,97	45,01	40,97	45,01
w	2,73	2,235	2,73	2,235
K				
ε	0,8055	0,8169	0,8055	0,8169
α	0,5836	0,5494	0,5836	0,5494
γ <sub>1</sub>	23,92	24,73	23,92	24,73
K'	19,49	18,36	19,49	18,36
σ <sub>a</sub>	3871	2312	3360	2212
σ' <sub>a</sub>	2357	1507	2046	1442
σ' <sub>b</sub>	198,7	126	172,5	120,5

Vérification de la condition de non fragilité.

$$A > 0,69 \cdot b \cdot h \cdot \frac{\bar{\sigma}_b}{\bar{\sigma}_{en}}$$

$$b = 30 \text{ cm.}, \quad h = 55 \text{ cm.}, \quad \bar{\sigma}_{en} = 4200.$$

cas SP1:

$$A_0 = 0,69 \cdot 30 \cdot 55 \cdot \frac{5,8}{4200} = 1,58 \text{ cm}^2 < A.$$

cas SP2

$$A_0 = 0,69 \cdot 30 \cdot 55 \cdot \frac{8,7}{4200} = 2,76 \text{ cm}^2 < A$$

Vérification de non-fissuration des poutres.

	niveau IV				niveau III				niveau II			
	1	1-2	2	2-2'	5	5-6	6	6-6'	9	9-10	10	10-10'
A	14,73	14,73	14,73	14,73	24,15	15,71	17,84	15,71	24,15	24,15	24,15	24,15
B <sub>f</sub>	300	300	300	300	300	300	300	300	300	300	300	300
$\bar{\sigma}_f$ réel	0,0497	0,0497	0,0497	0,0497	0,067	0,052	0,054	0,052	0,067	0,067	0,067	0,067
$\bar{\sigma}_f$ théorique	0,0188	0,0188	0,0188	0,0188	0,0188	0,0188	0,0188	0,0188	0,0188	0,0188	0,0188	0,0188
$\bar{\sigma}_1$	>4000	>2800	>2800	>2800	>4000	>2800	>4000	>2800	>4000	>2800	>4000	>2800

Vérification de la condition de flèche.

on doit avoir  $A \leq \frac{43}{\sigma_a} \cdot b_0 \cdot h = \frac{43}{4200} \cdot 30 \cdot 55 = 16,9 \text{ cm}^2$

non vérifié, on doit donc justifier la flèche.

on vérifie pour le niveau II dont la surcharge est de  $800 \text{ kg/m}^2$ .

$$g = 560 \times 0,30 = 168 \text{ kg/m} \rightarrow M_g = 0,81 \cdot g \cdot \frac{l^2}{8} = 506 \text{ kg m}$$

$$q = (560 + 800) \cdot 0,30 = 408 \text{ kg/m} \rightarrow M_q = 0,81 \cdot q \cdot \frac{l^2}{8} = 1227 \text{ kg m}$$

$$j = (75 + 325) \cdot 0,30 = 400 \times 0,3 = 120 \text{ kg/m} \rightarrow M_j = 362 \text{ kg m}$$

$$I = \frac{b \cdot h^3}{12} = 540.000 \text{ cm}^4$$

calcul de  $\lambda$ .

$$m = \frac{A}{b \cdot h} = \frac{24,15}{30 \cdot 55} = 0,0146 \rightarrow \varepsilon = 0,8408$$

charges de faible durée:

$$\lambda_i = \frac{5,8}{72(2+3) \cdot 0,0146} = 1,101$$

charges de longue durée

$$\lambda_v = \frac{\lambda_i}{2,5} = 0,4403$$

Détermination des contraintes:

$$(g): \sigma_a = \frac{50600}{24,15 \cdot 0,8408 \cdot 55} = 45,4 \text{ kg/cm}^2$$

$$(q): \sigma_a = \frac{122700}{24,15 \cdot 0,8408 \cdot 55} = 100,9 \text{ kg/cm}^2$$

$$(j): \sigma_a = \frac{36100}{24,15 \cdot 0,8408 \cdot 55} = 32,4 \text{ kg/cm}^2$$

calcul de  $\mu$ .

$$(g) \cdot \mu_{gv} = 1 - \frac{5 \cdot 5,9}{4 \cdot 0,0146 \cdot 45,4 + 3 \cdot 5,9} < 0 \rightarrow \mu_{gv} = 0$$

$$(q) \mu_{qv} = 1 - \frac{5 \cdot 5,9}{4 \cdot 0,0146 \cdot 100,9 + 3 \cdot 5,9} < 0 \rightarrow \mu_{qv} = 0.$$

$$(j) \mu_{jv} = 1 - \frac{5 \cdot 5,9}{4 \cdot 0,0146 \cdot 32,4 + 3 \cdot 5,9} < 0 \rightarrow \mu_{jv} = 0$$

calcul des modules de déformations longitudinaux

$$E_v = 127161$$

$$E_i = 381484.$$

calcul des flèches.

$$f_{g0} = \frac{50600 \cdot \overline{545^2}}{10 \cdot 127161 \cdot 540000} = 0,022 \text{ cm.}$$

$$f_{q0} = \frac{122700 \cdot \overline{545^2}}{10 \cdot 381484 \cdot 540000} = 0,018 \text{ cm.}$$

$$f_{j0} = \frac{50600 \cdot \overline{545^2}}{10 \cdot 381484 \cdot 540000} = 0,0073 \text{ cm.}$$

$$f_{j0} = \frac{36100 \cdot \overline{545^2}}{10 \cdot 381484 \cdot 540000} = 0,0052 \text{ cm.}$$

$$\Delta f_t = 0,022 - 0,0052 + 0,018 - 0,0073 = 0,0275 \text{ cm.}$$

$$l > 5 \text{ m.} \rightarrow \Delta f_t = \frac{l}{1000} + 0,5 = \frac{545}{1000} + 0,5 = 1,045 \text{ cm.}$$

$\rightarrow$  la flèche est vérifiée.

Vérification de la condition de non-entraînement des branches au niveau des appuis de rive.

$$\tau_{di} = \frac{T}{z \cdot \rho_{ui}} \cdot \frac{A_i}{A}$$

$$\bar{\tau}_d = 2.4_d \cdot \bar{\sigma}_b = 2 \times 1,5 \times 5,85 = 17,75 \text{ kg/cm}^2.$$

niveau	A	T	$A_i/A$	$\phi$	$\rho_{ui}$	$\tau_{di}$
IV	3T25 +1T20	21710	0,2747	25	7,85	15,79
			0,1757	20	6,28	12,62
III	3T25 +1T20	23500	0,2747	25	7,85	17,08
			0,1757	20	6,28	12,62
II	3T25 +3T20	28570	0,2033	25	7,85	15,37
			0,13	20	6,28	12,28

$$\max \tau_{di} < \bar{\tau}_d \rightarrow \text{vérifié.}$$

Vérification de la condition aux appuis.

longueur d'appui c

$$c > \frac{2T}{b \cdot \bar{\sigma}'_b}$$

$$c > \frac{2 \cdot 28570}{30 \cdot 68,85} = 27,67 \text{ cm} < 55 \text{ cm} = \text{longueur du poteau.}$$

$$\rightarrow c = 35 \text{ cm}$$

Vérification de la section minimale nécessaires des armatures  
inférieures au niveau des appuis

on doit avoir  $A \geq \frac{T - M/z}{\bar{\sigma}_e} \quad (M > 0)$

Dans tous les cas nous avons une section d'acier négative ;  
donc s'est vérifié.

Calcul des armatures transversales.

On calculera les armatures au niveau de chaque appui pour  
tous les niveaux.

niveau IV.

appui de rive (1).

$T = 19,68 \text{ t}$

$M = 11,67 \cdot \text{tm}$

$A = 17,84 \text{ cm}^2$

$\rightarrow m = \frac{100 A}{b \cdot h} = 1,0812 \rightarrow k = 19,9$   
 $\epsilon = 0,8567$

$\bar{\sigma}_a = \frac{11,67 \cdot 10^5}{17,84 \cdot 0,8567 \cdot 55} = 1388,3 \text{ kg/cm}^2 \rightarrow \bar{\sigma}'_b = \frac{\bar{\sigma}_a}{k} = 69,7 \text{ kg/cm}^2$

$\bar{\sigma}'_b < \bar{\sigma}_b < 2 \cdot \bar{\sigma}'_b \rightarrow \bar{\tau}_{b2} = 20,65 \text{ kg/cm}^2$

$\tau_b = \frac{19680}{30,7/8 \cdot 55} = 13,63 \text{ kg/cm}^2 < \bar{\tau}_{b2} \rightarrow$  les cadres et  
étriers verticaux  
suffisent

$k = \frac{A_t \cdot z \cdot \bar{\sigma}_{er}}{T}$  on prend de  $\phi 10 \text{ FeE24}$ .

$t = 8 \text{ cm} < \bar{t} = 11 \text{ cm} = 0,2 \cdot 55 \text{ cm}$



Appui (2)

$$T = 21,71 t$$

$$M = 17,33 t.m.$$

$$A = 17,84 \text{ cm}^2, \quad \bar{\sigma}'_b = 103,56 \text{ kg/cm}^2$$

$$\bar{\sigma}'_b < \bar{\sigma}'_b < 2\bar{\sigma}'_b, \quad \bar{\sigma}'_b = 14,8 \text{ kg/cm}^2 < \tau_b = 15,04 \text{ kg/cm}^2$$

On doit donc relever des brides de part et d'autre de l'appui.

on relève 3 T16 de part et d'autre de l'appui.

les brides obliques seront inclinées à 45°.

l'effort tranchant équilibré par les brides obliques sera :

$$T_x = \frac{A_i \cdot \bar{\sigma}'_b}{\sqrt{2}} = 2273 \text{ kg}$$

l'effort tranchant résiduel qui sera repris par les armatures transversales

$$\text{sera : } T_r = T - T_x = 19437 \text{ kg}$$

$$\tau_b = \frac{19437}{30 \cdot \frac{7}{8} \cdot 55} = 13,46 \text{ kg/cm}^2 < \bar{\tau}_b = 14,8 \text{ kg/cm}^2$$

l'espacement à l'appui sera de 8 cm. et on prend des  $\phi 8$  FeE24.

niveau III

$$T = 23,50 t$$

$$M = 18,78 t.m$$

$$A = 41,99 \text{ cm}^2, \quad \bar{\sigma}'_b = 91,84 \text{ kg/cm}^2$$

$$\bar{\sigma}'_b < \bar{\sigma}'_b < 2\bar{\sigma}'_b, \quad \tau_b = 16,28 \text{ kg/cm}^2 < \bar{\tau}_b = 18,67 \text{ kg/cm}^2$$

les cadres et étriers verticaux suffisent

on prendra des  $\phi 10$  FeE24. espacés de 8 cm à l'appui.

niveau II.

$T = 29,57 \text{ t}$

$M_1 = 22,63 \text{ t.m}$

$A = 30,18 \text{ cm}^2$  ,  $\sigma'_b = 116,75 \text{ kg/cm}^2$

$\bar{\sigma}'_{b0} < \sigma'_b < 2 \cdot \bar{\sigma}'_{b0}$  ,  $\tau_{b0} = 19,79 \text{ kg/cm}^2 > \bar{\tau}_{b0} = 16,55 \frac{\text{kg}}{\text{cm}^2}$

→ on doit donc relever des barres de part et d'autre

de l'appui en plus des cadres et des étriers verticaux.

On relève 3 T20 de part et d'autre de l'appui à 45°.

Pour les cadres et les étriers verticaux on prendra des

$\phi 10$  FeE24 espacés de 8 cm à l'appui

**errailage des**

**Poteaux**

## FERRAILLAGE - DES - POTEAUX -

Les poteaux seront calculés en flexion composée. Chaque poteau est soumis à un effort normal  $N$  et à des moments fléchissants en tête et en pied dans le sens longitudinal et dans le sens transversal. Ces moments sont donc au nombre de quatre. Les poteaux seront ferrillés aussi bien sous les sollicitations du 1<sup>er</sup> genre ( $SP_1$ ) que du 2<sup>e</sup> genre ( $SP_2$ ).

### Détermination des aciers longitudinaux.

#### Méthode de calcul:

Deux cas peuvent se présenter:

#### 1/ Section partiellement comprimée:

Ce cas se produit lorsque l'effort normal de compression est appliqué en dehors du noyau central de la section homogène.

$$\text{on a alors : } e_0 = \frac{M}{N} > e_1 = \frac{h_c}{6}$$

avec :  $e_0$  : excentricité de la charge.

$M$  : moment de flexion par rapport au centre de gravité de la section de béton seul.

$N$  : effort de compression au centre de gravité du béton seul.

$h_c$  : hauteur totale de la section.

Dans le cas où la section est partiellement comprimée nous pouvons avoir une section avec armatures comprimées ou sans armatures comprimées.

a) Section sans armatures comprimées :

On détermine les armatures  $A_s$  de la section rectangulaire de mêmes dimensions et soumise à la flexion simple sous l'effet d'un moment fictif  $\mu$ , dû aux forces extérieures agissant à gauche de la section par rapport au centre de gravité des armatures tendues.

La section  $A$  des armatures tendues soumise à  $N$  et  $M$  sera alors :

$$A = A_s - \frac{N}{\bar{\sigma}_a} \quad (N: \text{-compression}).$$

La condition pour que la section réelle ne possède pas d'armatures comprimées est que la section fictive n'en possède pas ; c'est-à-dire :  $\kappa \geq \bar{\kappa} = \frac{\bar{\sigma}_a}{\bar{\sigma}_b}$ .

Pour avoir des sections d'armatures minimales, on fera travailler les aciers au maximum  $\rightarrow \bar{\sigma}_a = \bar{\sigma}_a$ .

b) Section avec armatures comprimées :

Soient :  $M_{a.c}$  : Moment des forces extérieures agissant à gauche de la section par rapport au centre de gravité des armatures comprimées.

$M_{a.t}$  : Moment des forces extérieures agissant à gauche de la section par rapport au centre de gravité des armatures tendues.

on calcule:

$$\mu'_1 = \frac{M_{a,t}}{\bar{\sigma}'_b \cdot b \cdot h^2} \quad ; \quad \mu'_2 = \frac{M_{a,c}}{\bar{\sigma}'_b \cdot b \cdot h^2}$$

$$\bar{\omega}' = \frac{100 \cdot A'}{b \cdot h} \quad ; \quad \bar{\omega} = \frac{100 \cdot A}{b \cdot h}$$

$$\kappa = \frac{\bar{\sigma}'_a}{\bar{\sigma}'_b} \quad ; \quad \delta' = \frac{d'}{h}$$

Comme il est intéressant, du point de vue économique d'obtenir des sections d'armatures  $A'$  et  $A$  telles que la somme soit minimale, on recherche la valeur de  $\kappa$  qui réponde à cette condition. On utilise pour cela l'abaque de P. CHARON (P50).  
(Calcul Pratique Des Sections de Béton Armé - Flexion Simple et Composée)

si  $\kappa < \bar{\kappa}$  on retiendra  $\kappa$  pour la suite des calculs.

si  $\kappa > \bar{\kappa}$  on prendra  $\kappa = \bar{\kappa}$ .

Connaissant  $\kappa$ , on calcule  $\bar{\omega}$  et  $\bar{\omega}'$  à l'aide des formules:

$$\bar{\omega}' = \frac{\mu'_1 - \mu'_0}{f} \quad , \quad \bar{\omega} = \frac{100(\mu'_2 + g)}{\kappa(1 - \delta')}$$

avec  $\mu'_0$ ,  $f$  et  $g$  donnés en fonction de  $\kappa$  et  $\delta'$  dans le tableau 5 du même ouvrage.

les sections d'aciers seront alors:

$$\boxed{A' = \frac{\bar{\omega}' \cdot b \cdot h}{100}} \quad , \quad \boxed{A = \frac{\bar{\omega} \cdot b \cdot h}{100}}$$

la contrainte des armatures comprimées sera:

$$\sigma'_a = 15 \left[ 1 - \left( 1 + \frac{\kappa}{15} \right) \delta' \right] \bar{\sigma}'_b$$

2/ Section entièrement comprimée. (section rectangulaire).

Ce cas se produit lorsque :

$$\epsilon_0 = \frac{M}{N} < \frac{h_t}{6} = e_1.$$

On armera la section de manière symétrique  $A'_1 = A'_2 = A'$ .

En appliquant les formules classiques de la résistance des matériaux à la section homogénéisée, la contrainte en un point situé à la distance  $v$  du centre de gravité sera alors :

$$\sigma' = \frac{N}{S} \pm \frac{M \cdot v}{I}.$$

La contrainte sur la fibre la plus comprimée sera

$$\sigma'_{1b} = \frac{N}{b \cdot h_t + 2 \cdot n \cdot A'} + \frac{M_G \cdot h_t}{2I} \quad (\text{relation 1}).$$

avec :  $M_G$  = Moment des forces extérieures agissant à gauche de la section par rapport au centre de gravité de la section homogénéisée confondu avec le centre du rectangle.

$$I = \frac{b h^3}{12} + 2 \cdot n \cdot A' (0,5 - \delta'_x) \cdot h_t^2$$

= Moment d'inertie de la section homogénéisée par rapport à l'axe passant par G et perpendiculaire à l'axe de symétrie.

Du point de vue économique, nous avons intérêt à prendre

$$\sigma'_{1b} = \bar{\sigma}'_b \quad \text{ou que le béton est fortement comprimé.}$$

En posant :

$$\beta = \frac{N}{\bar{B}_0 \cdot b \cdot h_t}, \quad e = \frac{M_G}{N}, \quad \nu = \frac{G \cdot e \cdot \beta}{h_t}$$

$$E = 12 (0,5 - \delta'_t)^2, \quad \mu = \frac{2m A'}{b \cdot h_t}$$

$$C = \frac{1 - \beta - \nu}{e}, \quad D = 0,5 \left[ 1 - \beta + \frac{\beta}{e} + C \right].$$

Avec ces notations, la relation (1) devient :

$$\mu^2 + 2 D \mu + C = 0$$

La racine recherchée de cette équation sera :

$$\mu = -D + \sqrt{D^2 - C}$$

On aura alors :

$$A' = \frac{\mu \cdot b \cdot h_t}{2 \cdot m}$$

- Section circulaire entièrement comprimée :

La méthode utilisée est la méthode P. CHARON.

La section totale des armatures longitudinales  $A$  sera obtenue à l'aide des formules suivantes :

$$B = \pi R^2, \quad \beta = \frac{\bar{B}_0 \cdot B}{N}, \quad a = \frac{r}{R}, \quad e = \frac{M_G}{N}$$

$$\beta = \frac{4e}{R}, \quad C = 0,045 a^2 \cdot \beta, \quad E = \beta - 1 - \beta.$$

$$D = 0,15 \left[ \beta - \beta + 2a^2 (\beta - 1) \right].$$

$$\bar{m} = \frac{-D + \sqrt{D^2 - 4CE}}{2C}$$

$$r = R - \delta \quad (\delta : \text{enrobage})$$



la section totale d'armatures sera:

$$A = \frac{15}{n} \cdot \bar{\sigma} \cdot \frac{B}{100}$$

Si on trouvait pour  $\bar{\sigma}$  une valeur très faible, ou même négative, on prendrait au moins  $\bar{\sigma} = 1$ .

La contrainte des aciers les plus comprimés sera donnée par:

$$\sigma'_a = n \left[ (1 - 2\delta) \bar{\sigma}'_b + \frac{2 \cdot \delta \cdot N}{B + nA} \right]$$

On doit avoir  $\sigma'_a \leq \bar{\sigma}'_a$ . Si  $n \bar{\sigma}'_b \leq \bar{\sigma}'_b$ , il est inutile de calculer  $\sigma'_a$ .

3/ cas de la compression simple.

La section d'armatures longitudinales doit vérifier les trois conditions suivantes:

$$* A_L \geq \frac{1,25}{1000} \theta_1 \cdot \theta_2 \cdot \theta_3 \cdot \frac{N}{\bar{\sigma}'_{b0}}$$

$$* A_L \geq \frac{1}{n} \left( \frac{N}{\bar{\sigma}'_{b0}} - B \right)$$

$$* A_L \leq \frac{B}{20}$$

avec:  $\theta_1$ : coefficient tenant compte des possibilités d'excentricité de la charge.

$\theta_1 = 1,8$  pour les poteaux d'angles

$\theta_2 = 1,4$  pour les poteaux de rive.

$\theta_3 = 1$  pour les autres poteaux.

$$\theta_2 = 1 + \frac{l_e}{4a - 2c} \quad , \quad \theta_3 = 1 + \frac{2160}{\bar{\sigma}'_{ca}} \quad : \text{ dépend de la nuance des aciers longitudinaux.}$$

$l_e$ : longueur de flambement (Art 53-23 du C.C.B.A 68)

$a$ : plus petite dimension transversale

$c$ : enrobage des armatures longitudinales

### Détermination des armatures transversales

Les armatures transversales disposées dans les poteaux ont un triple rôle :

- permettre le positionnement des armatures longitudinales
- empêcher le gonflement du béton
- s'opposer au flambement des armatures.

Aucun pourcentage minimal n'est requis pour les armatures transversales.

Les règles C.C.B.A 68 se bornent à limiter les espacements entre elles-ci, comme indiqué ci-dessous :

#### zones courantes :

L'espacement admissible est :

$$\bar{t} = \min. \begin{cases} t_1 = (100 \phi_t - 15 \phi_{l. \max}) \left( 2 - \frac{\sigma_b'}{\bar{\sigma}_{b_0}} \right) \\ t_2 = 15 \left( 2 - \frac{\sigma_b'}{\bar{\sigma}_{b_0}} \right) \phi_{l. \min} \end{cases}$$

En pratique on prend :

$$\begin{cases} t \leq 15 \phi_{l. \min} \\ \phi_t \geq 0,3 \phi_{l. \max} \end{cases}$$

#### zones de recouvrement :

Soit  $\rightarrow$  le nombre de cours d'armatures transversales à avoir dans la zone de recouvrement :

$$\begin{cases} n \geq 3 \\ n \geq \frac{0,4 \cdot \phi_l^2 \cdot \bar{\sigma}_{a_0} \cdot l}{\phi_t^2 \cdot \bar{\sigma}_{a_0} \cdot t} \end{cases}$$

La longueur de la zone de recouvrement est :  $l_d = \frac{\phi}{4} \cdot \frac{\bar{\sigma}_a}{\bar{\tau}_d} ; \bar{\tau}_d = 1,25 \cdot \psi_d^2 \cdot \bar{\sigma}_b$

Les armatures transversales sont de plus sollicitées par les efforts horizontaux dus au cisailé et développées aux extrémités des poteaux. Les armatures transversales seront calculées de la même façon que les armatures transversales des poutres soumises à l'effort tranchant aux extrémités des poutres.

On calculera l'espacement  $x$  répondant à cette condition pour le sens longitudinal et pour le sens transversal et on prendra le plus faible.

Remarque:

Les règlements parasismiques (Art 2.312. pages 9) recommandent de réduire l'espacement des armatures à ses  $4/5$  de part et d'autre des nœuds ou une longueur égale au  $1/6$  de la hauteur libre du poteau.

portique

longitudinal

## PORTIQUE LONGITUDINAL

Tableau donnant les moments  $\int$  flechissants max ainsi que les efforts normaux correspondants.

Files	Poteaux	1 <sup>er</sup> Genre		2 <sup>em</sup> Genre	
		M <sub>max</sub>	N	M <sub>max</sub>	N
Ⓐ	1-7	7,35	35,97	20,4	42,28
	7-13	8,6	63,47	26,54	74,85
	13-19	7	94,13	29,4	108,21
Ⓑ	2-8	0,12	52,73	15,73	60,61
	8-14	-	89,07	22,34	102,87
	14-20	-	132,01	36,70	147,4
Ⓒ	3-9	-	52,73	15,62	60,61
	9-15	-	89,07	22,34	102,87
	15-21	-	132,01	36,7	147,4

Détermination des armatures longitudinales sous SP1

Afin de savoir si les sections sont partiellement ou totalement comprimées, il faut calculer le rapport

$e_0 = \frac{M}{N}$  pour tous les poteaux et les comparer

à  $e_1 = \frac{h_e}{6}$ .

Dans le sens longitudinal on a  $h_e = 55$ ;  $h_e = 45$

d'où  $e_1 = \frac{55}{6} = 9,17$ ;  $e_1 = \frac{45}{6} = 7,5$

Tableau donnant les différentes valeurs de  $e_0$  et  $\sigma'_b$ .

File	A			B			C		
Poteau	1-7	7-13	13-19	2-8	8-14	14-20	3-9	9-15	15-21
M	7,35	8,6	7	0,12	-	-	-	-	-
N	35,97	63,47	94,13	52,73	89,07	132,01	52,93	89,07	132,01
$e_0 = \frac{M}{N}$	20,4	13,50	0,74	0,23	-	-	-	-	-
$e_1$	7,5	9,17	9,17	7,5	9,17	9,17	7,5	9,17	9,17
$\sigma'_b$	131,22	102,4	87,27	69,74	68,85	68,85	68,85	68,85	68,85

$\downarrow$  section en compression simple.  
 $\downarrow$  section entièrement comprimées. ( $e_0 < e_1$ )  
 $\downarrow$  section partiellement comprimées ( $e_0 > e_1$ )

Section partiellement

comprimées.

	1-7	7-13
$M_{t.m}$	7,35	8,6
$N_t$	35,97	63,47
$e_0$	20,4	13,50
$\sigma'_b$	131,22	102,4
$M_{at}$	13,64	22,88
$M_{ac}$	1,06	-5,69
$\mu$	0,1015	0,089
$E$	0,8734	0,8800
$K$	24,49	26,67
$\bar{K}$	21,34	27,34
$\mu'_1$	////	0,162
$\mu'_2$	////	-0,04
$K$	////	8
$\bar{K}$	////	<0
$\bar{K}$	////	<0
$A_1$	13,94	////
$A$	1,10	<0
$A'$	////	<0
$A_{min}$		

Section entièrement comprimées

	13-19	2-8
$M$	7	0,12
$N$	94,13	52,73
$\bar{\sigma}'_b$	87,27	63,74
$e$	0,3	0,18
$\rho$	0,357	0,373
$\nu$	0,012	0,009
$E$	1,92	1,92
$C$	0,3286	0,3219
$D$	0,55	0,54
$\mu$	-	-
$A'$	-	-

Section en compression simple.

	8-14	14-20	3-9	9-15	15-21
$M$	0	0	0	0	0
$N$	87,07	132,01	52,73	89,07	132,01
$\sigma'_b$	68,85	68,85	68,85	68,85	68,85
$A_0$	<0	<0	<0	<0	<0

Détermination des armatures longitudinales sous SP2

Tableau donnant les différentes valeurs de  $e_0$  et de  $\bar{\sigma}'_b$  pour tous les poteaux.

File	A			B			C		
	1-7	7-13	13-19	2-8	8-14	14-20	3-9	9-15	15-21
M	20,4	26,54	29,4	15,73	22,34	36,70	15,62	22,34	36,70
N	42,28	74,85	108,21	60,61	102,87	147,4	60,61	102,87	147,4
$e_0$	48	35,4	27	26	21,7	24,9	25,8	21,7	24,9
$e_1$	7,5	9,17	9,17	7,5	9,17	9,17	7,5	9,17	9,17
$\bar{\sigma}'_b$	206,5	206,5	204,2	206,5	184,4	196,36	206,5	184,4	196,36

$e_0 > e_1$  pour tous les poteaux les sections sont donc partiellement comprimées



Ferraillage des poteaux

Sections partiellement comprimées.

	1-7	7-13	13-19	2-8	8-14	14-20	3-9	9-15	15-21
M	20,4	26,54	29,4	15,73	22,34	36,7	15,62	22,34	36,70
N	42,28	74,95	108,21	60,61	102,84	147,4	60,61	102,84	147,4
$e_0$	48	35,4	27	26	21,7	24,9	25,8	21,7	24,9
$\bar{\sigma}'_b$	206,5	206,5	204,2	206,5	184,4	196,36	206,55	184,4	196,36
$M_{df}$	27,8	43,38	53,75	26,34	45,49	69,9	26,23	45,49	69,90
$M_{ac}$	13	9,70	5,05	6,12	-0,81	3,54	5,01	-0,81	3,54
$\mu$	0,1379	0,1127	0,1396	0,1307	0,1182	0,1216	0,1301	0,1182	0,1216
$\epsilon$	0,8570	0,8680	0,8564	0,8600	0,8654	0,8614	0,8604	0,8654	0,8614
$\eta$	19,96	22,88	19,82	20,71	22,15	16,53	20,80	22,15	16,53
$\bar{\eta}$	20,34	20,34	20,57	20,34	22,78	21,59	20,34	22,78	21,39
$\mu'_1$	0,187	/	0,191	/	0,179	0,260	/	0,179	0,260
$\mu'_2$	0,087	/	0,018	/	-0,003	0,013	/	-0,003	0,013
$\kappa$	18	/	12	/	11	19	/	11	19
$\bar{\omega}'$	<0	/	<0	/	<0	<0	/	<0	<0
$\bar{\omega}$	0,61	/	0,39	/	0,24	0,014	/	0,24	0,014
$A_n$	/	33,80	/	18,23	/	/	18,15	/	/
A	10,96	6	10,92	3,8	6,56	0,4	3,7	6,56	0,40
A'	<0	/	<0	/	<0	<0	/	<0	<0
$A_{min}$	3,5	5,64	11,43	4,15	5,63	11,44	4,15	5,63	11,44

portique

transversal

PORTIQUE TRANSVERSAL

Tableau donnant les moments fléchissants max ainsi que les efforts normaux correspondants.

Files	Poteaux	1 <sup>er</sup> Genre		2 <sup>em</sup> Genre	
		M <sub>max</sub>	N	M <sub>max</sub>	N
D	1-5	8,41	26,94	19,60	30,55
	5-9	10,51	54,44	26,01	61,11
	9-13	8	85,10	32,60	93,58
E	2-6	0,09	52,73	13,40	58,02
	6-10	0	89,07	18,90	98,33
	10-14	0	138,01	31,10	142,04
E'	2'-6'	0,09	35,78	13,40	41,07
	6'-10'	0	72,12	18,90	81,38
	10'-14'	0	115,06	31,10	125,09
D'	1'-5'	8,41	52,92	19,60	56,53
	5'-9'	10,51	80,42	26,01	96,09
	9'-13'	8	111,08	32,60	119,56

Ferrellage des poteaux sous SP<sub>2</sub>

Sections partiellement comprimées.

	1-5	5-9	9-13	1'-5'	5'-9'
M	8,41	10,51	8	8,41	10,51
N	26,94	54,44	85,1	52,92	80,42
e <sub>0</sub>	31,2	19,3	9,4	15,9	13,1
e <sub>1</sub>	7,5	9,17	9,17	7,5	9,17
σ <sub>0</sub>	137,5	117	91,8	117	101
Mat	13,20	22,76	27,15	17,68	28,60
Mac	3,77	-1,74	-11,15	-0,86	-7,59
μ	0,098	0,089	0,106	0,1315	0,1114
ε	0,8752	0,8800	0,8710	0,8597	0,8686
K	25,06	26,67	23,82	20,64	23,05
K̄	20,36	23,98	30,50	23,98	27,72
μ <sub>1</sub>	/	/	0,215	0,21	0,206
μ <sub>2</sub>	/	/	-0,093	-0,01	-0,055
κ	/	/	4	10	14
ε <sub>13</sub>	/	/	<0	<0	<0
ε <sub>13</sub>	/	/	<0	0,23	<0
A <sub>1</sub>	13,47	18,47	/	/	/
A	3,85	<0	<0	<0	<0
A'	/	/	<0	4,14	<0

Sections entièrement comprimées.

	2-6	2'-6'	9'-13'
M	0,09	0,09	8
N	52,73	35,78	111,08
$\sigma$	0,20	0,20	0,20
$\sigma'_b$	69,3	69,8	87,2
$\rho$	0,38	0,25	0,42
U	0,01	0,007	0,014
E	1,92	1,92	1,92
C	0,32	0,39	0,29
D	0,53	0,61	0,51
$\mu$	/	/	/
A'	/	/	/

Sections en compression simples.

	6-10	10-14	6'-10'	10'-14'
M	0	0	0	0
N	89,07	132,01	72,13	115,06
$\sigma'_{bo}$	68,85	68,85	68,85	68,85
$A_0$	<0	<0	<0	<0

Ferraillage des poteaux sous SP2

Sections partiellement comprimées.

	1-5	5-9	9-13	2-6	6-10	10-14	2'-6'	6'-10'	10'-14'	1'-5'	5'-9'	9'-13'
M	19,6	26,01	32,6	13,4	18,9	31,1	13,4	18,9	31,1	19,6	26,01	32,6
N	30,55	61,11	93,58	58,02	98,93	142,04	41,07	81,38	125,09	56,53	96,09	119,50
e <sub>0</sub>	64	42,6	34,8	23,1	19,2	21,9	32,6	23,2	24,9	34,7	27,1	27,5
e <sub>a</sub>	7,5	9,17	9,17	7,5	9,17	9,17	7,5	9,17	9,17	7,5	9,17	9,17
σ <sub>b</sub>	206,5	206,5	206,5	206,5	175,1	185,2	206,5	190	196,1	206,5	204,6	206,1
M <sub>af</sub>	24,95	39,76	53,66	23,55	41	63,06	20,59	37,21	59,25	29,49	47,63	59,50
M <sub>ac</sub>	14,25	12,26	11,54	3,25	-3,2	-0,96	6,21	0,59	2,95	9,71	4,39	5,70
μ	0,1238	0,1037	0,1334	0,1168	0,1065	0,1638	0,1021	0,097	0,1539	0,1463	0,1237	0,1545
ε	0,8650	0,8725	0,8565	0,8661	0,8710	0,8714	0,8733	0,8756	0,8589	0,8538	0,8620	0,8507
K	21,50	24,20	19,84	22,33	23,76	17,76	24,40	25,19	18,54	19,20	21,50	18,49
$\bar{K}$	20,34	20,34	20,34	20,34	23,98	22,41	20,34	22,11	21,38	20,34	20,52	20,38
μ <sub>1</sub>	/	/	0,189	/	0,17	0,25	/	/	0,22	0,198	/	0,21
μ <sub>2</sub>	/	/	0,041	/	-0,013	-0,004	/	/	0,011	0,066	/	0,02
K	/	/	15	/	10	9	/	/	10	15	/	13
ε <sub>1</sub>	/	/	<0	/	<0	<0	/	/	<0	<0	/	<0
ε <sub>2</sub>	/	/	0,43	/	0,19	0,37	/	/	0,46	0,61	/	0,35
A <sub>1</sub>	13,74	21,7	/	16,19	/	/	14,04	20,24	/	/	26,28	/
A	6,46	7,15	11,22	4,38	5,23	10,2	4,26	0,87	12,65	11,03	3,40	9,63
A'	/	/	<0	/	<0	<0	/	/	<0	<0	/	<0
A <sub>2</sub>	2,61	4,82	10,53	4,14	5,63	11,45	2,82	4,56	9,98	5,12	7,12	18,4

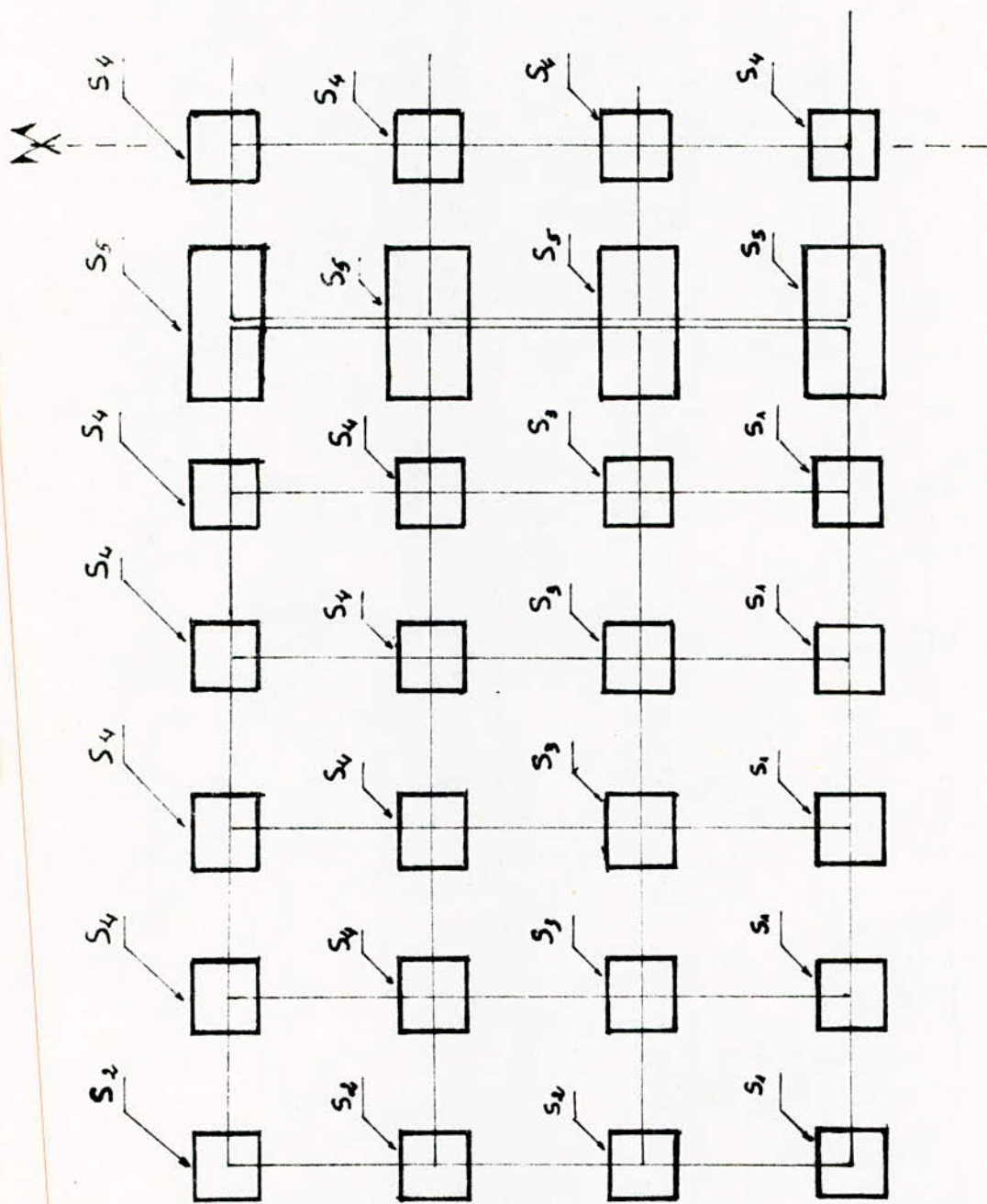
TABEAU RECAPITULATIF

Portique Longitudinal.

File →	A			B			C		
potaux	1-7	7-13	13-29	2-8	8-14	14-20	3-9	9-15	15-21
A=A' SP <sub>1</sub>	4,1	-	-	-	-	-	-	-	-
A=A' SP <sub>2</sub>	10,96	6	10,62	3,8	6,56	0,40	3,7	6,56	0,40
A <sub>min</sub>	3,50	5,64	11,43	4,15	5,63	11,44	4,15	5,63	11,44
A=A'	4T20	4T20	4T20	4T14	4T16	4T20	4T14	4T16	4T20

Portique transversal

File	Potaux	A=A' SP <sub>1</sub>	A=A' SP <sub>2</sub>	A <sub>min</sub>	A=A'
	1-5	3,85	6,46	2,61	4T16
D	5-9	-	7,15	4,82	4T16
	9-13	-	11,82	10,33	4T20
E	2-6	-	3,38	4,14	4T14
	6-10	-	5,23	5,63	4T16
	10-14	-	10,20	11,45	4T20
E'	2'-6'	-	4,26	2,82	4T14
	6'-10'	-	0,87	4,56	4T16
	10'-14'	-	12,65	9,98	4T20
D'	1'-5'	4,14	14,03	5,12	4T20
	5'-9'	-	3,40	7,12	4T20
	9'-13'	-	9,63	13,48	4T20





# **Fondations**

FONDATEIONS.

Les fondations que nous allons étudier sont des fondations superficielles.

Les semelles reposent sur du béton de propreté de 5 à 10 cm d'épaisseur.

Les semelles sont calculées en compression simple ; les moments à la base des poteaux étant repris par les longrines.

La contrainte admissible du sol est  $\bar{\sigma}_s = 2 \text{ bars}$ .

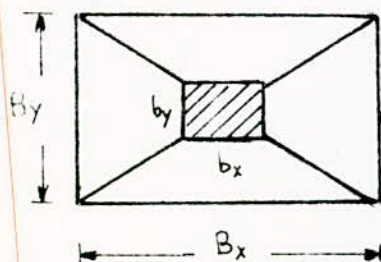
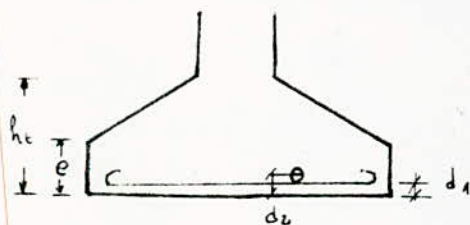
Nous avons 2 types de semelles :

- les semelles isolées
- les semelles continues sous 2 poteaux (au niveau des joints)

Calcul des semelles isolées.

- Dimensionnement des semelles :

La semelle est constituée d'un tronc de pyramide. Appelons :



- $N$  : charge (en kg) transmise au sol.
- $\bar{\sigma}_s$  : contrainte admissible sur le sol.
- $B_x$  : grand côté du rectangle.
- $B_y$  : petit côté du rectangle.

nous devons avoir :

$$B_x \cdot B_y \geq \frac{N}{\sigma_s}$$

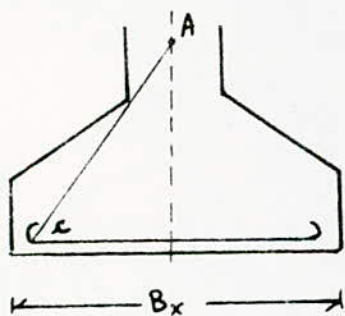
et nous prendrons  $\frac{B_x}{B_y} = \frac{b_x}{b_y}$  pour que la semelle et le poteau soient homothétiques.

La hauteur de la semelle doit vérifier :

$$h_t \geq \frac{B_x - b_x}{4} + d_1 \quad \text{et } e \geq 6\phi + 6.$$

Calcul des armatures :

Le calcul se fera par la méthode des tringles. Cette méthode consiste à admettre que l'effort provenant du poteau se transmet par l'intermédiaire de tringles obliques de béton ayant leur origine en A.



A est le point de rencontre de l'axe du poteau avec la droite joignant le point c, où commence le crochet des barres ; au point B où la semelle rejoint le parement du poteau.

1) La méthode des tringles conduit aux résultats suivants :

les efforts de traction dans les aciers sont :

- Dans le sens x-x :

$$F_x = \frac{N \cdot (B_x - b_x)}{8(h_t - d_1)}$$

$$d_1 = 3,5 \text{ cm}$$

$$d_2 = 5 \text{ cm}$$

- Dans le sens y-y :

$$F_y = \frac{N \cdot (B_y - b_y)}{8(h_t - d_2)}$$

Les armatures sont donc constituées de deux nappes superposées de barres orthogonales et parallèles aux côtés  $B_x$  et  $B_y$ .

Ces armatures sont :

$$A_x = \frac{F_x}{\sigma_a} : \text{armatures parallèles à } B_x.$$

$$A_y = \frac{F_y}{\sigma_a} : \text{armatures parallèles à } B_y.$$

Dans l'effort  $N$  nous avons l'effort de compression dû aux charges ( $N_0$ ) auquel nous ajoutons le poids de la semelle ( $N_s$ ).  
Le poids de la semelle est déterminé à partir d'un prédimensionnement de la semelle.

L'effort  $N$  déterminé, nous vérifions si le prédimensionnement que nous avons fait est correct ; si non nous augmentons les dimensions de la semelle et par le fait même le poids propre de la semelle ..

Vérification de la condition de non-poinçonnement :

Nous devons vérifier que :

$$\sigma_b = \frac{1,5 N}{P_c \cdot h_t} \leq 1,2 \cdot \bar{\sigma}_b.$$

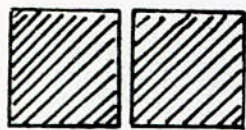
avec  $P_c = 2(b_x + b_y + 2h_t)$ .

$$N = N_0 + N_s.$$

Les résultats pour toutes les semelles sont donnés dans un tableau.

	$S_1$	$S_2$	$S_3$	$S_4$
$N_o$ kg	85100	94130	132010	115060
$N_s$ kg	6050	6600	10935	7810
$B_x$ cm	220	230	270	250
$B_y$ cm	220	230	270	250
$h_t$ cm	60	60	70	60
$F_x$ kg	33273	39004	58651	53010
$F_y$ kg	34181	40068	59102	54455
$A_x$ cm <sup>2</sup>	11,88	13,94	20,95	18,94
$A_y$ cm <sup>2</sup>	12,21	14,32	21,11	19,45
$\sigma_y$ kg	4,96.	5,48	6,13	6,68.

Calcul de la semelle  $S_s$  sous 2 poteaux (au niveau du joint).



$$b_x = 112 \text{ cm}$$

$$b_y = 55 \text{ cm.}$$

$$N_0 = 2 \times 94,13 = 188,26 \text{ t.}$$

- Prédimensionnement:

$$B_x \cdot B_y \geq \frac{N}{\bar{\sigma}_s} \quad \rightarrow \quad B_x \cdot B_y \geq 94130 \text{ cm}^2.$$

$$\frac{B_x}{B_y} = \frac{b_x}{b_y} = \frac{112}{55} = 2,0364.$$

$$\rightarrow \begin{cases} B_y = 225 \text{ cm} \\ B_x = 460 \text{ cm.} \end{cases}$$

•  $h_f = 75 \text{ cm}$

• Poids propre de la semelle.

$$N_s = 0,6 \cdot 4,6 \cdot 2,25 \cdot 2500 = 15525 \text{ kg.}$$

$$N = N_0 + N_s = 188260 + 15525 = 203785 \text{ kg.}$$

$$\frac{N}{\bar{\sigma}_s} = 101892,5 \leq B_x \cdot B_y = 225 \cdot 460 = 103500 \text{ cm}^2$$

$\rightarrow$  le prédimensionnement fait est bon.

mais avons:

$$F_x = 144050 \text{ kg.} \quad \rightarrow \begin{cases} A_x = 51,45 \text{ cm}^2 \end{cases}$$

$$F_y = 61761 \text{ kg} \quad \rightarrow \begin{cases} A_y = 22,06 \text{ cm}^2. \end{cases}$$

$$\sigma_b = 6,42 \text{ kg/cm}^2 < 7,08 \text{ kg/cm}^2.$$

### Ferraillage des longrines.

Les longrines serviront à reprendre les moments à la base des poteaux afin que les semelles ne reprennent que les effets verticaux et ne soient calculées qu'en compression simple.

On suppose que les longrines, en plus des moments à la base des poteaux, reprennent leur poids propre, le poids de la dalle flottante et 1,5m de terre et les surcharges d'exploitation du sous-sol.

#### Moments à la base des poteaux dus au prisme.

- longrines transversales:  $M = 32,6 \text{ t.m.}$
- longrines longitudinales:  $M = 37,4 \text{ t.m.}$

#### Moments dus aux charges verticales

##### • longrine transversale.

- dalle :  $0,15 \times 4,80 \times 2500 = 1800 \text{ kg/ml}$
- poids propre  $0,30 \times 0,60 \times 2500 = 450$
- terre  $0,30 \times 1,5 \times 1500 = 675$
- surcharges  $4,80 \times 400 = 1920$

$$G + 1,2 P = (1800 + 450 + 675) + 1,2 \cdot 1920 = 5229 \text{ kg/ml}$$

$$M_0 = q \frac{l^2}{8} = 5229 \times \frac{6^2}{8} = 23531 \text{ kg.m.}$$

$$M_t = 0,8 \cdot M_0 = 18825 \text{ kg.m.}$$

$$M_a = 0,3 M_0 = 7060 \text{ kg.m.}$$

• longines longitudinale.

- dalle :  $0,15 \times 6 \times 2500 = 2250 \text{ kg/ml}$
- pido/pupe :  $0,30 \times 0,60 \times 2500 = 450$
- terre :  $0,30 \times 1,5 \times 1500 = 675$
- surcharge :  $6 \times 400 = 2400$

$$G + 1,2 P = (2250 + 450 + 675) + 1,2 \cdot 2400 = 6255 \text{ kg/ml.}$$

$$M_0 = q \frac{l^2}{8} = 6255 \cdot \frac{4,8^2}{8} = 18015 \text{ kgm.}$$

$$M_E = 0,8 M_0 = 14412 \text{ kgm.}$$

$$M_a = 0,3 M_0 = 5405 \text{ kgm.}$$

Nous avons donc :

• pour les longines transversales

$$M_E = 18825 \text{ kgm.}, \quad b = 30 \text{ cm}, \quad h = 60 \text{ cm}$$

$$M_a = 39660 \text{ kgm.}$$

• pour les longines longitudinales.

$$M_E = 14412 \text{ kgm.}, \quad b = 30 \text{ cm}, \quad h = 60 \text{ cm.}$$

$$M_a = 42805 \text{ kgm.}$$



Ferraillage des longrines transversales.

• en travée :  $M_t = 18825 \text{ kgm.}$

$$\mu = \frac{15 \cdot 18825 \cdot 10^2}{2800 \cdot 30 \cdot 57^2} = 0,1035$$

$$\rightarrow k = 24,18$$

$$e = 0,8724$$

$k > \bar{k} \rightarrow$  pas d'armatures comprimées

$$A = \frac{18825 \cdot 10^2}{2800 \cdot 0,8724 \cdot 57} = 13,6 \text{ cm}^2 \quad (5T20)$$

• sur appui :  $M_a = 39660 \text{ kgm.}$

$$\mu = \frac{15 \cdot 39660 \cdot 10^2}{4200 \cdot 30 \cdot 57^2} = 0,1453$$

$$\rightarrow k = 13,20$$

$$e = 0,8542$$

$k < \bar{k} \rightarrow$  armatures comprimées.

m prend  $k = 22 > \bar{k} \rightarrow \sigma'_b = 191 < 206,25 \text{ kg/cm}^2$

$$\mu' = 0,1753 \quad , \quad e = 0,8649$$

$$M_1 = \mu' \cdot \sigma'_b \cdot b \cdot h^2 = 0,1753 \cdot 191 \cdot 30 \cdot 57^2 = 3263520 \text{ kg cm.}$$

$$\Delta M = M - M_1 = 3966000 - 3263520 = 702480 \text{ kg cm}$$

$$A' = \frac{702480}{4200 (57-3)} = 3,1 \text{ cm}^2 \quad \rightarrow (3T20).$$

$$A = \frac{3263520}{4200 \cdot 0,8649 \cdot 57} + \frac{702480}{4200 \cdot (57-3)} = 18,9 \text{ cm}^2 \quad (6T20)$$

### Ferraillage des longrines longitudinales

• en travée:  $M_t = 14412 \text{ kgm}$

$$\mu = \frac{15 \cdot 14412 \cdot 10^2}{2800 \cdot 30 \cdot 57^2} = 0,079$$

$$\rightarrow K = 28,78$$

$$E = 0,8858$$

$K > \bar{K} \rightarrow$  pas d'armatures comprimées.

$$A = \frac{14412 \cdot 10^2}{2800 \cdot 0,8858 \cdot 57} = 10,2 \text{ cm}^2$$

• sur appui:  $M_a = 42905 \text{ kgm}$

$$\mu = \frac{15 \cdot 42905 \cdot 10^2}{4200 \cdot 30 \cdot 57^2} = 0,1569$$

$$\rightarrow K = 18,29$$

$$E = 0,9498$$

$K < \bar{K} \rightarrow$  armatures comprimées.

on prend  $K = 22 > \bar{K}$ .  $\rightarrow \sigma'_b = 191 < 206,25 = \bar{\sigma}'_b$

$$\mu' = 0,1753, \quad E = 0,8649$$

$$M_1 = \mu' \cdot \bar{\sigma}'_b \cdot b \cdot h^2 = 3263520 \text{ kgcm}$$

$$\Delta M = M - M_1 = 4280500 - 3263520 = 1016980 \text{ kgcm}$$

$$A' = \frac{1016980}{4200 (57-3)} = 4,5 \text{ cm}^2$$

(3T20)

$$A = \frac{3263520}{4200 \cdot 0,8649 \cdot 57} + \frac{1016980}{4200 \cdot (57-3)} = 20,3 \text{ cm}^2$$

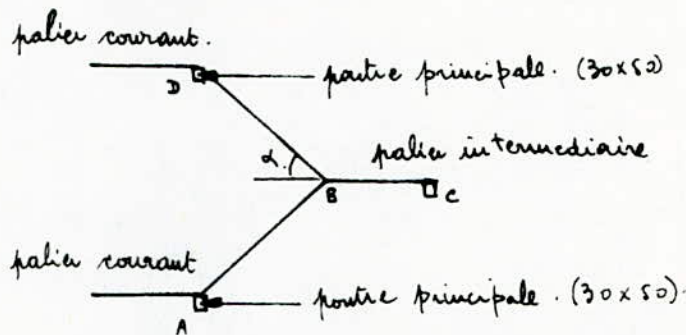
Si on prend des T25  $\rightarrow A = 21,4 \text{ cm}^2 \rightarrow 5T25$

# Escaliers

# escaliers

L'escalier que nous nous proposons de calculer est un escalier à paliers adjacents. Il est constitué de deux poutres d'elles inclinées, d'un palier intermédiaire situé à mi-étage et de deux paliers courants (au niveau des étages).

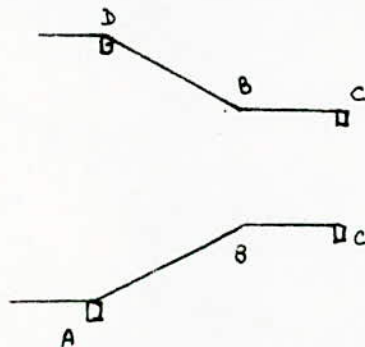
Nous ferons le calcul pour les escaliers menant du rez-de-chaussée au premier étage.



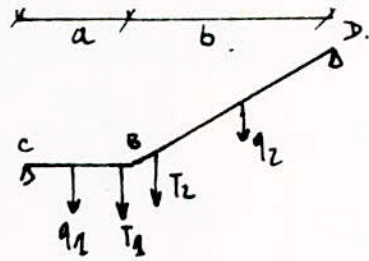
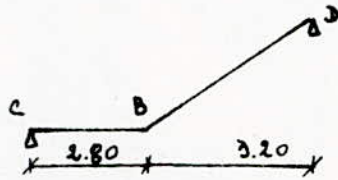
Nous avons :

- $H = 2,20\text{m}$  : hauteur entre deux paliers consécutifs
- $l = 2,80\text{m}$  : largeur du palier.
- $h = 0,17\text{m}$  : hauteur d'une marche
- $\alpha = 34^\circ$  : angle d'inclinaison.

Nous décomposons l'escalier en 2 parties :



Nous étudierons la volée CBD et nous adopterons le même ferrailage pour la volée ABC.



Etude de la poutre BD.

- épaisseur:  $\frac{DB}{30} < e_p < \frac{DB}{20}$

$\frac{320}{\cos \alpha \cdot 30} < e_p < \frac{320}{\cos \alpha \cdot 20}$

$\rightarrow 12,9 < e_p < 19,4$

$\rightarrow e_p = 15 \text{ cm.}$

Le calcul des efforts se fera pour une bande de un mètre de largeur.

charges revenant à la poutre BD.

- poids propre:  $\frac{2500 \times 0,15 \times 1}{\cos \alpha} = 456 \text{ kg/ml}$
- poids des marches:  $\frac{1}{2} \cdot 2200 \cdot 0,17 = 187 \text{ kg/ml}$
- revêtement:  $40 + 44 = 84$
- surcharge:  $400 \text{ kg/ml.}$

$\rightarrow G + 1,2 P = (456 + 187 + 84) + 1,2 \cdot 400 = 1207 \text{ kg/ml.}$

$q_2 = 1207 \text{ kg/ml.}$

Etude du palier CB

nous prendrons une épaisseur de 15 cm.

- poids propre :  $0,25 \cdot 2500 \cdot 1 = 375 \text{ kg/ml}$
- revêtement :  $= 84$
- surcharge :  $= 400$

$$G+1,2 P = (375+84) + 1,2 \cdot 400 = 939 \text{ kg/ml}$$

$$\rightarrow q_1 = 939 \text{ kg/ml.}$$

Calcul des efforts.Pailleasse BD.

$$M_B = M_{t2} = q_2 \cdot \frac{b^2}{12} = 1207 \cdot \frac{3,2^2}{12} = 1030 \text{ kgm.}$$

$$T_2 = q_2 \cdot \frac{b}{2} + \frac{M_B}{b} = 1207 \cdot \frac{3,2}{2} + \frac{1030}{3,2} = 2249 \text{ kg.}$$

Palier CB.

$$M_B = q_2 \cdot \frac{b^2}{12} = 1030 \text{ kgm.}$$

$$M_{t1} = q_1 \cdot \frac{a^2}{8} - q_2 \cdot \frac{b^2}{24} = 939 \cdot \frac{2,8^2}{8} - 1207 \cdot \frac{3,2^2}{24} = 406 \text{ kgm.}$$

$$T_1 = q_1 \cdot \frac{a}{2} + q_2 \cdot \frac{b^2}{12 \cdot a} = 939 \cdot \frac{2,8}{2} + 1207 \cdot \frac{3,2^2}{12 \cdot 2,8} = 1694 \text{ kgm.}$$

L'effort de traction total au niveau de la jonction pailleasse-palier est :

$$T = T_1 + T_2 = 1694 + 2249 = 3943 \text{ kg.}$$

$$\rightarrow T_{CB} = T / \operatorname{tg} \alpha = 3943 / 0,6875 = 5736 \text{ kg.}$$

$$\rightarrow T_{BD} = T / \sin \alpha = 3943 / 0,1567 = 6955 \text{ kg.}$$

Aussi bien pour la pailleuse que pour le palier

$$h_t = 15 \text{ cm.}$$

$$h = 13 \text{ cm}$$

$$z = \frac{7}{8} \cdot h = \frac{7}{8} \cdot 13 = 11,4 \text{ cm.}$$

$$\text{Nous avons } N_c = \frac{M_B}{z} = \frac{1030 \cdot 10^2}{11,4} = 9036 \text{ Kg.}$$

L'effort de traction total dans les aciers de la pailleuse BD

$$N = 9036 + T_{BD} = 9036 + 6955 = 15991 \text{ Kg.}$$

$$A = \frac{N}{\sigma_a} = \frac{15991}{2750} = 5,82 \text{ cm}^2. \rightarrow 6 \text{ HA } 10. (6,28 \text{ cm}^2)$$

$$\sigma'_b = \frac{z \cdot N}{b_0 \cdot y} = \frac{z \cdot 15991}{100 \cdot 3,6} = 88,84 \text{ kg/cm}^2.$$

Armatures de repartition :

$$\frac{1}{4} A < A_r < \frac{1}{3} A \rightarrow 3 \text{ HA } 10 \text{ p.m.}$$

$$\text{nous avons } k < 3z = 3 \cdot 11,4 = 34,2 \text{ cm.}$$

A l'angle, au niveau de B :

$$M = 406 \text{ Kg.m.}$$

$$A = \frac{N}{\sigma_a} = \frac{9036}{2750} = 3,3 \text{ cm}^2. \rightarrow 5 \text{ HA } 10. \text{ p.m}$$

L'effort de traction total dans les aciers du palier sera :

$$N = N_c + T_{CB} = 9036 + 5736 = 14772 \text{ Kg.}$$

$$A_1 = \frac{N}{\sigma_a} = \frac{14772}{2750} = 5,4 \text{ cm}^2 \rightarrow 8 \text{ HA } 10 \text{ p.m}$$

Vérification au cisaillement.

$$\left. \begin{array}{l} q = 1207 \text{ kg/ml.} \\ l = 6 \text{ m.} \end{array} \right\} T = q \cdot \frac{l}{2} = 3621 \text{ kg.}$$

$$\tau_b = \frac{T}{b \cdot z} = \frac{3621}{100 \cdot \frac{7}{8} \cdot 13} = 3,2 \text{ kg/cm}^2$$

$$\bar{\tau}_b = 1,15 \bar{\sigma}_b = 1,15 \cdot 5,9 = 6,79 \text{ kg/cm}^2$$

$\tau_b < \bar{\tau}_b \rightarrow$  pas d'armatures transversales.

Vérification de la condition de non-fragilité.

$$A \geq 0,69 \cdot b \cdot h \cdot \frac{\bar{\sigma}_b}{\bar{\sigma}_{cu}} = 0,69 \cdot 100 \cdot 13 \cdot \frac{5,9}{4200} = 1,3 \text{ cm}^2. \quad \text{vérifié.}$$

Vérification de la condition aux appuis.

$$\frac{T - M_a/z}{\bar{\sigma}_e} = \frac{3621 - \frac{M_a}{z}}{2750}$$

$$M_a = 0,3 \cdot M_0 = 0,3 \cdot q \cdot \frac{l^2}{8} = 0,3 \cdot 1207 \cdot \frac{6^2}{8} = 1630 \text{ kgm.}$$

$$\frac{3621 - \frac{1630 \cdot 0,00 \cdot 88}{7 \cdot 13}}{2750} < 0 \rightarrow \text{vérifié.}$$



# Mur de Soutènement

## Calcul du Mur de Soutènement. (Charon).

Notre bâtiment étant enterré sur 3 côtés, un mur de soutènement est nécessaire pour isoler le bâtiment des terres, ou que les cloisons du bâtiment ne reprennent aucune charge (sauf leur poids propre). Le bâtiment est totalement détaché du mur afin d'éviter la transmission d'efforts secondaires d'un élément à un autre.

Au niveau du bloc central, le mur aura une hauteur de 6,60 m, par contre pour le reste du bâtiment, le mur aura une hauteur de 4,90 m.

Le calcul se fera pour le mur du bloc central et nous adopterons le même ferrailage pour le reste du mur.

Le mur sera entre coupé de joints de dilatation espacés aux maximum de 10,15 m (bloc central) afin d'éviter les effets supplémentaires dus aux facteurs extérieurs.

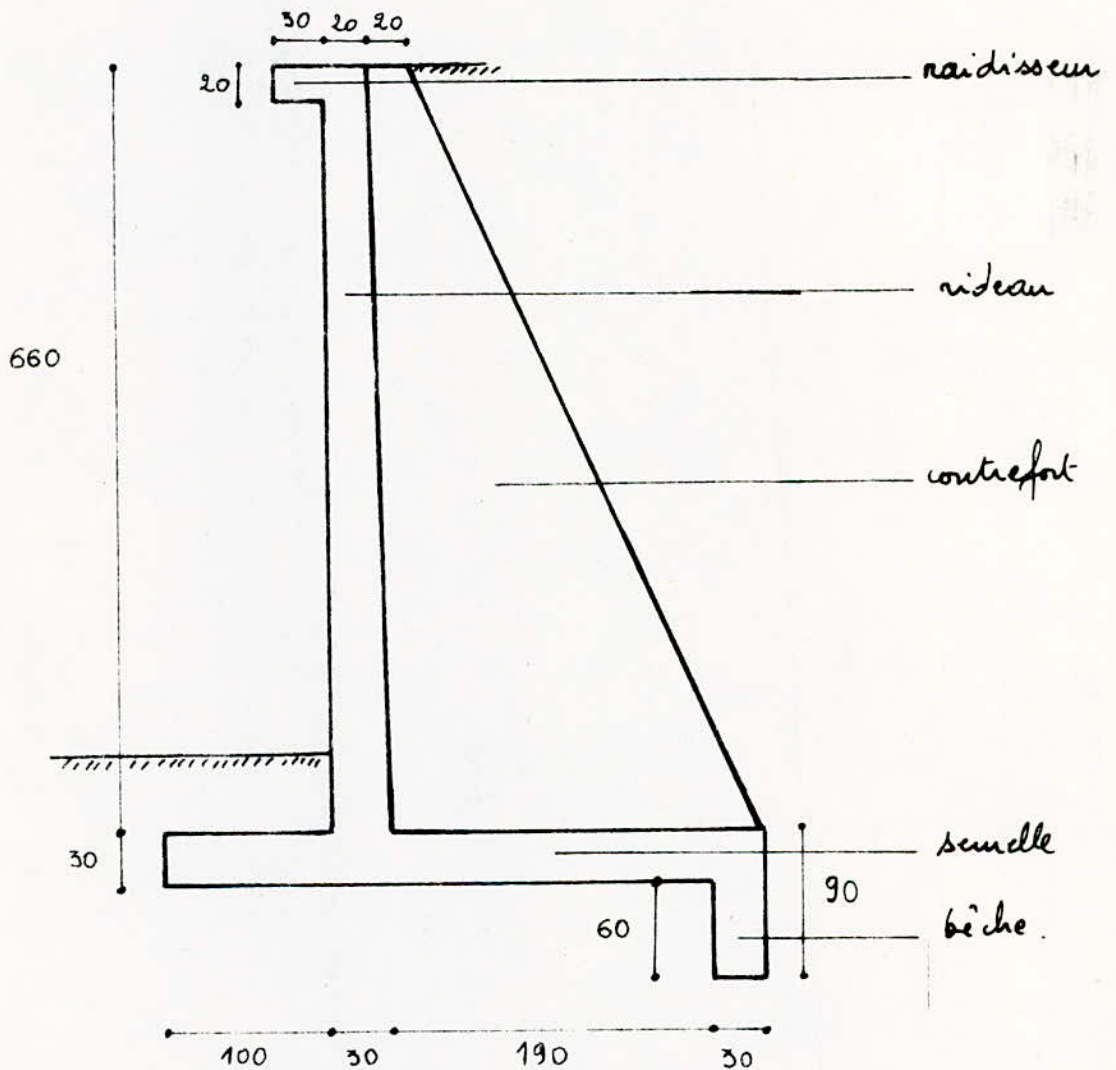
Le type de mur utilisé est un mur de soutènement avec contreforts.

### Caractéristiques du mur:

- niveau: - épaisseur à la base: 30 cm.
- épaisseur au sommet: 20 cm.
- semelle: - épaisseur: 30 cm.

(140)

- seuille avant : 1,00 m.
- seuille arriere : 2,50 m.
- bêche arriere : 0,30 x 0,60.
- raidisseur au sommet : 0,20 x 0,30 m.



- les contreforts ont une épaisseur de 25 cm et sont espacés entre-axes de 3,30 m. (bloc central)

le calcul du mur sera fait en tenant compte des effets du séisme.

L'article 3.42 du P.S 69 recommande :

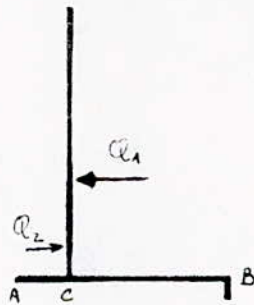
- pour le calcul du mur on doit appliquer :
  - au mur lui-même : le coefficient sismique applicable aux murs isolés, défini en 3.41. :  $\bar{s} = 9,10. \alpha$ . ( $\alpha = 1$ ).
  - aux forces exercées par les terres :

- en ce qui concerne les composantes horizontales, le coefficient de majoration

$$1 + 0,10. \alpha. \quad (\alpha = 1)$$

- en ce qui concerne les composantes verticales, le coefficient

$$1 \pm 0,10. \alpha. \quad (\alpha = 1)$$



Le mur étant légèrement enterri (1,20 m), nous tiendrons compte de la poussée des terres de part et d'autre du mur.

- Caractéristiques des terres :  $A = 0,27$  ,  $\Delta = 1800 \text{ kg/m}^3$ .

$$\rho = 30^\circ \text{ , } \bar{\sigma}_s = 2 \text{ kg/cm}^2.$$

$$Q_1 = A \cdot \Delta \frac{h_1^2}{2} \times 1 = 0,27 \cdot 1800 \cdot \frac{6,60^2}{2} = 10585 \text{ kg}$$

$$z_1 = \left( \frac{h_1}{3} + e_s \right) = \frac{6,60}{3} + 0,30 = 2,50 \text{ m}$$

$$Q_2 = A \cdot \Delta \frac{h_2^2}{2} = 0,27 \cdot 1800 \cdot \frac{1,20^2}{2} = 350 \text{ kg}$$

$$z_2 = \left( \frac{h_2}{3} + e_s \right) = \frac{1,20}{3} + 0,3 = 0,70 \text{ m}$$

les calculs sont faits pour une bande de un (1) mètre de largeur.

- Resultante des 2 poussées.

$$Q \cdot z = Q_1 \cdot z_1 - Q_2 \cdot z_2$$

$$Q = Q_1 - Q_2 = 10585 - 350 = 10235 \text{ kg}$$

$$\rightarrow z = \frac{10585 \cdot 2,50 - 350 \cdot 0,70}{10235} = 2,56 \text{ m}$$

- Vérification de la stabilité du mur.

Nous devons vérifier les 3 conditions suivantes :

- $\frac{\text{Moment stabilisateur}}{\text{Moment de renversement}} > 2$  (vérification de la sécurité au renversement).
- $\text{Max}(\sigma_A, \sigma_B) < 2 \text{ kg/cm}^2$  (vérification des contraintes).
- $\frac{\text{Resultante des poussées horizontales}}{\text{Resultante des charges verticales}} < 0,3$  (vérification du glissement).

Calcul des charges verticales:

- rideau :  $\frac{0,30 + 0,20}{2} \cdot 6,60 \cdot 2500 = 4125 \text{ kg}$
- seuille :  $0,30 \cdot 3,50 \cdot 2500 = 2625 \text{ kg}$
- terre :  $2,20 \cdot 6,60 \cdot 1800 = 26136 \text{ kg}$

$$\Sigma P = 32886 \text{ kg}$$

Moment des forces verticales par rapport au point A.

$$M_{St} = 4125 \cdot 1,15 + 2625 \cdot 1,75 + 26136 \cdot (1,3 + 1,10)$$

$$M_{St} = 72064 \text{ kgm}$$

$$M_{Renv} = Q \cdot z = 26202 \text{ kgm}$$

$$\bullet \frac{M_{St}}{M_R} = \frac{72064}{26202} = 2,75 > 2 \quad \text{vérifié.}$$

$$\bullet \text{vérification du glissement} : \frac{Q}{\Sigma P} < 0,3$$

$$\frac{10235}{32886} = 0,31 \approx 0,3$$

Comme nous avons une bêche arriere le glissement est admissible.

• vérification des contraintes.

Point de passage de la résultante des charges verticales par rapport au point A.

$$S = \frac{M_S}{\Sigma P} = \frac{72064}{32886} = 2,19 \text{ m}$$

$$s = 2,19 - 1,75 = 0,44 \text{ m} \quad \text{à droite du centre de gravité de la seuille.}$$

Moment par rapport au centre de gravité de la semelle.

$$M = (Q \cdot z - \Sigma P \cdot d)$$

$$= 26202 - 32886 \cdot 0,44 = 11732 \text{ kgm.}$$

Contraintes sur le sol : (elles sont majorées de 10%).

$$1,1 \left( \frac{32886}{100 \cdot 350} \pm 6 \cdot \frac{1173200}{100 \cdot 350^2} \right)$$

$$1,03 \pm 0,63$$

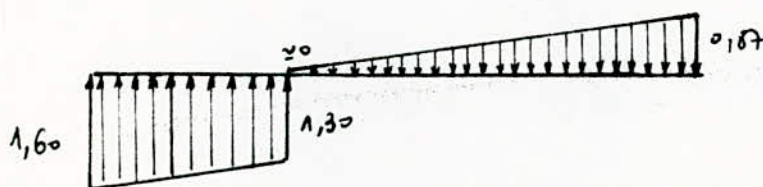
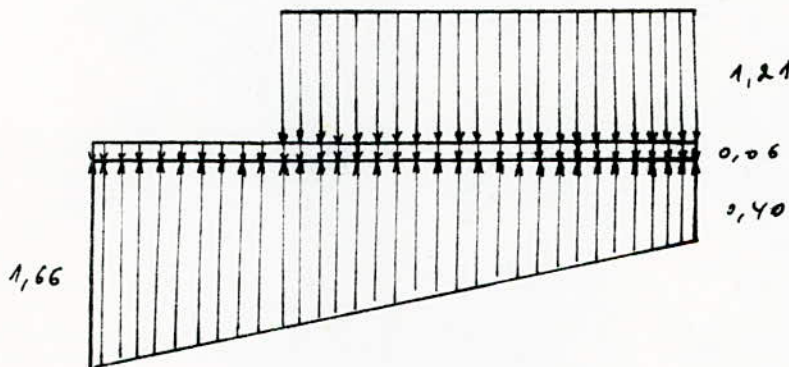
$$\begin{cases} \sigma'_A = 1,66 \text{ kg/cm}^2 \\ \sigma'_B = 0,40 \text{ kg/cm}^2 \end{cases}$$

- Calcul de la semelle :

• poids propre :  $0,25 \cdot 2500 = 625 \text{ kg/m}^2 = 0,0625 \text{ kg/cm}^2$ .

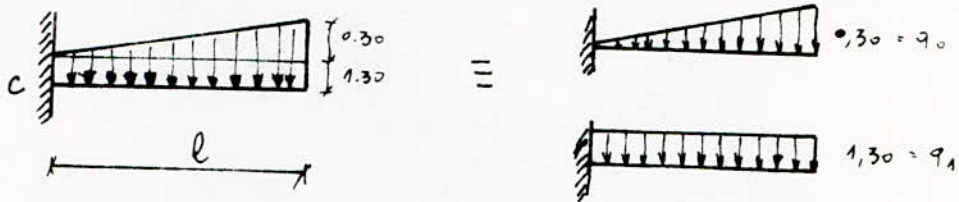
• poids du rideau + remblai

$$\frac{32886 - 2625}{100 \cdot 250} = 1,21 \text{ kg/cm}^2$$



calcul des moments en c.

La dalle A.C travaille en console.



$$q_0 = 3000 \text{ kg/m}^2 \rightarrow 3000 \text{ kg/m. (pour 1 bande de 1m).}$$

$$q_1 = 13000 \text{ kg/m}^2 \rightarrow 13000 \text{ kg/m. ( )}$$

$$M_0 = q_0 \cdot \frac{l}{2} \cdot \frac{2l}{3} = q_0 \cdot \frac{l^2}{3}$$

$$M_1 = q_1 \cdot \frac{l^2}{2}$$

$$M_c = M_0 + M_1 = \left( \frac{q_0}{3} + \frac{q_1}{2} \right) l^2 = \left( \frac{3000}{3} + \frac{13000}{2} \right) \cdot 1^2 = 7500 \text{ Kg.m.}$$

renforcement:

$$\mu = \frac{15 \cdot M}{b_a \cdot b \cdot h^2} = \frac{15 \cdot 7500 \cdot 00}{2800 \cdot 100 \cdot 27^2} = 0,0551$$

$$\left. \begin{array}{l} K = 36 \\ E = 2,9020 \end{array} \right\} A = \frac{7500 \cdot 00}{2800 \cdot 2,9020 \cdot 27} = 11 \text{ cm}^2 \text{ (6T16).}$$

p.m.

verification de la contrainte de cisaillement.

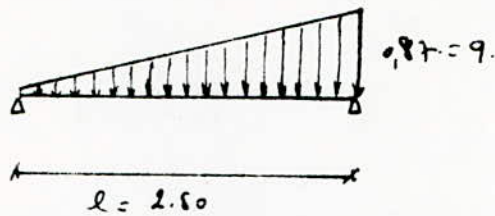
$$T = \frac{(1,30 + 1,66)}{2} \cdot 100 \cdot 100 = 14800 \text{ kg.}$$

$$\tau_b = \frac{T}{b \cdot \frac{7}{8} \cdot h} = \frac{14800}{100 \cdot \frac{7}{8} \cdot 27} = 6,26 \frac{\text{kg}}{\text{cm}^2} < 6,78 \text{ kg/cm}^2$$

→ pas d'armatures transversales.



- Calcul de la semelle arriere.



l'abscisse pour laquelle on aura le moment maximum est :

$$x = \frac{l}{q} \left[ \frac{q}{\sqrt{3}} \right] = \frac{2,5}{0,87} \left[ \frac{0,87}{\sqrt{3}} \right] = 1,44 \text{ m.}$$

$$M_{\text{max}} = -\frac{q}{l} \cdot \frac{x^3}{6} + q \cdot l \cdot \frac{x}{6}$$

$$= \frac{-0,87}{2,50} \cdot \frac{1,44^3}{6} + 0,86 \cdot 2,50 \cdot \frac{1,44}{6} = 0,349$$

$$M_{\text{max}} = 3490 \text{ kgm.} \ll 7500 \text{ kgm.}$$

Nous prendrons des aciers filants pour la semelle arriere.

6T16 . p.m

- Calcul de la bêche.

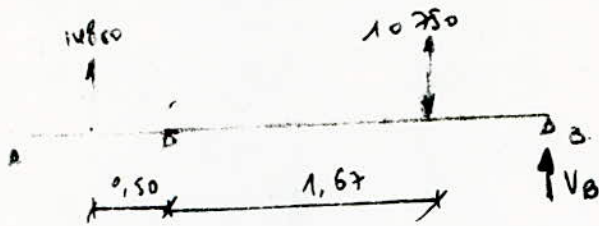
La bêche sera considérée comme une poutre semi-encastree s'appuyant sur les contreforts et recevant les reactions de la semelle.

$$\text{- poids propre: } 0,30 \times 0,60 \times 2500 = 450 \text{ kg/ml.}$$

$$\text{- } P_1 = \frac{(1,60 + 1,30)}{2} \cdot 100 \cdot 100 = 14800 \text{ kg/ml}$$

$$\text{- } P_2 = \frac{0,86}{2} \cdot 100 \cdot 250 = 10750 \text{ kg/ml.}$$

(147)



$$\Sigma M/c : 0 \rightarrow 14800 \times 0,5 + 10750 \cdot 1,67 - V_B \cdot 2,50 = -$$

$$\rightarrow V_B = 10181 \text{ kg/ml}$$

$$\rightarrow q = 10181 + 450 = 10631 \text{ kg/ml.}$$

- Moment en travée :

$$M_c = \frac{q l^2}{10} = \frac{10631 \cdot \overline{3,05}^2}{10} = 9890 \text{ kgm}$$

- Moment sur appui :

$$M_a = \frac{q l^2}{20} = 4945 \text{ kgm.}$$

- Ferraillage

- en travée :  $\mu = \frac{9890 \cdot 10^2 \cdot 15}{2800 \cdot 30 \cdot \overline{57}^2} = 0,0544.$

$$\rightarrow k = 26 \quad \left\{ \rightarrow A = \frac{9890 \cdot 10^2}{2800 \cdot 0,9020 \cdot 57} = 6,88 \text{ cm}^2. \right.$$

3T20

$$\sigma'_0 = \frac{2800}{26} < 137,5 \text{ kg/cm}^2$$

$\rightarrow$  pas d'armatures comprimées.

mais prendrons des armatures de montage. (3T16)

- Don appui :

$$\left. \begin{array}{l} \mu = 0,0272 \\ K = 56 \\ \varepsilon = 0,9250 \end{array} \right\} A = 3,4 \text{ cm}^2 \rightarrow 3T16$$

- Calcul des armatures transversales.

$$T = q \cdot \frac{l}{2} = 10631 \cdot \frac{3,05}{2} = 16213 \text{ kg.}$$

$$\tau = \frac{T}{b \cdot z} = \frac{16213}{30 \cdot \frac{7}{8} \cdot 57} = 10,84 \text{ kg/cm}^2$$

$$\tau_b < 3,5 \cdot \bar{\sigma}_b = 20,65 \text{ kg/cm}^2 \rightarrow \text{cadres et étriers verticaux.}$$

on prendra un cadre et un étrier  $\phi 8$ .  $A = 2,01 \text{ cm}^2$ .

$$t = \frac{A_t \cdot z \cdot \bar{\sigma}_{at}}{T} = \frac{2,01 \cdot \frac{7}{8} \cdot 57 \cdot 2800}{16213} = 17,5 \text{ cm.}$$

$$\bar{t} = \max \left\{ \begin{array}{l} 0,2 \cdot h = 0,2 \cdot \frac{7}{8} = 11,4 \text{ cm.} \\ h(1 - 0,3 \cdot \frac{\tau_b}{\bar{\sigma}_b}) = 57 \cdot (1 - 0,3 \cdot \frac{10,84}{17,9}) = 28,6 \text{ cm} \end{array} \right.$$

$\rightarrow t = 10 \text{ cm. constant.}$

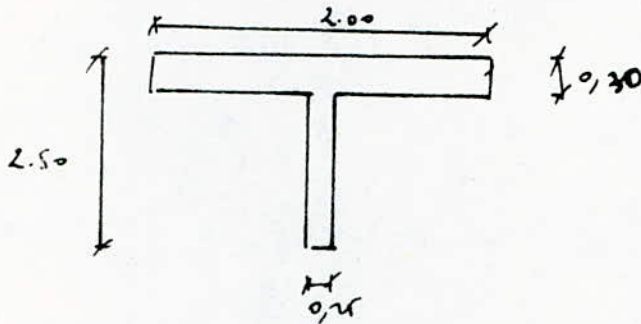
Calcul des contreforts.

Les contreforts travaillent comme des consoles verticales encastées dans les semelles et soumises aux effets transmis par le rideau. Leur section est en forme  $\rightarrow$  T ; la table de compression étant constituée par le rideau.

Les contreforts sont distants, entre-axes, de 3,28 m. et de 3,05 m entre-murs.

A la base nous aurons:

$$p = 0,27 \cdot 1800 \cdot 6,6 \cdot 3,05 = 9720 \text{ kg/m.}$$



$$M = 0,27 \cdot 1800 \cdot \frac{6,6^3}{6} \cdot 3,05 = 70560 \text{ kgm.}$$

ferailage:

$$\mu = \frac{15 \cdot 70560 \cdot 10^2}{2800 \cdot 200 \cdot 245} = 0,004. \quad \rightarrow \alpha = 0,0867$$

$$\kappa = 158$$

$$\varepsilon = 0,9711.$$

$\alpha < \frac{30}{245} = 0,122 \rightarrow$  l'axe neutre tombe dans la table de compression.

$$A = \frac{70560 \cdot 10^2}{2800 \cdot 0,9711 \cdot 245} = 10,6 \text{ cm}^2 \rightarrow (2T25 + 2T16)$$

verification au cisaillement:

$$T = A \cdot s \cdot \frac{h^2}{2} = 0,27 \cdot 1800 \cdot \frac{6,6^2}{2} \cdot \frac{3,05}{2} = 32073 \text{ kg}$$

$$\tau_b = \frac{32073}{25 \cdot 245} = 5,24 \text{ kg/cm}^2 < 6,8 \text{ kg/cm}^2$$

$$\rho_a = 1 - \frac{5,24}{9,5,9} = 0,90 \rightarrow \text{bet} = 0,90 \cdot 2400 = 2160 \text{ kg/cm}^2$$

Si nous prenons un espacement de 20 cm entre les plans des armatures transversales, nous aurons:

$$A_t = \frac{32073 \cdot 25}{2160 \cdot \frac{7}{8} \cdot 245} = 1,73 \text{ cm}^2$$

L'effet d'arrachement à la base du rideau est de 9720 kgm.  
Nous devons donc prévoir

$$\frac{9720}{2800} = 3,48 \text{ cm}^2 \text{ d'acier p.m.}$$

Comme les plans d'armatures à la base du contrefort sont espacés de 20 cm (5 p.m.), nous aurons  $\frac{3,48}{5} = 0,70 \text{ cm}^2$  par plan, soit au total:

$$A = 0,70 + 1,73 = 2,43 \text{ cm}^2$$

nous prendrons donc 1 cadre  $\phi 8$  et 2 étrées  $\phi 8$ .

En outre, sur chaque face du contrefort nous aurons des  $\phi 8$  à raison de 5 p.m. en tant qu'armatures de répartition (de peau).

- Calcul du rideau.

Le rideau sera considéré comme une dalle semi-encastée sur les contreforts et soumise à une charge horizontale.

Pour le calcul nous décomposerons le rideau en tranches de 1m de hauteur à partir du sommet et nous admettrons que la pression résultant de la poussée des terres reste constante sur cette hauteur de 1m.

$$p = A.S. h' \cdot 1,1$$

$$= 0,27 \cdot 1800 \cdot 6 \cdot 1,1 = 3208 \text{ kg/m}^2.$$

Moment en travée:

$$M_t = q \frac{l^2}{10} \quad l: \text{entre-axe des contreforts}$$

$$M_a = q \frac{l^2}{20}$$

$$\rightarrow M_t = 3208 \cdot \frac{3,28^2}{10} = 3452 \text{ kgm}$$

$$\rightarrow M_a = 3208 \cdot \frac{3,28^2}{20} = 1726 \text{ kgm.}$$

$$T = q \frac{l}{2} = 3208 \cdot \frac{3,28}{2} = 5262 \text{ kg.}$$

- ferailage:

- entraxe:  $\mu = \frac{15 \cdot 3452 \cdot 10^3}{2800 \cdot 100 \cdot 26} = 0,0274$

$$\rightarrow k = 54,5 \quad , \quad \varepsilon = 0,9281. \quad \rightarrow \sigma_s < \bar{\sigma}_s.$$

(152)

$$A = \frac{3452 \cdot 10^2}{2800 \cdot 0,9281 \cdot 26} = 5,2 \text{ cm}^2 \quad (4 \text{ T14})$$

- sur appui

$$\mu = 0,0137$$

$$K = 89$$

$$\varepsilon = 0,9479$$

$$\left. \begin{array}{l} \mu = 0,0137 \\ K = 89 \\ \varepsilon = 0,9479 \end{array} \right\} A = \frac{1726 \cdot 10^2}{2800 \cdot 0,9479 \cdot 26} = 2,51 \cdot \text{cm}^2 \quad (2 \text{ T14})$$

les barres de repartition (verticales) seront constituées par  
5  $\phi 8$  en travée et 3  $\phi 8$  sur appui.

- verification de la contrainte de cisaillement.

$$\tau_b = \frac{I}{b \cdot z} = \frac{5262}{100 \cdot \frac{7}{8} \cdot 26} = 2,32 \text{ kg/cm}^2 < 6,8 \text{ kg/cm}^2 \quad \text{verifié.}$$

## **BIBLIOGRAPHIE**



- . Regles techniques CCBA 68
- . Calcul et verification des ouvrages en beton armé. (CHARON)
- . Calcul pratique des sections en beton armé (CHARON).
- . Encyclopedie du batiment.
  - TA. Calculs et essais . Etudes des projets .
- . A. Guerin . Tomes 4 et 7.
- . Ossature de batiments en beton armé . (FUENTÉS).
- . CM 66
- . Guide Pratique de charpente metallique (R. DAUSSY).
- . CHORIAN.
- . Cours de C.M. E.N.P.A.
- . Regles parasismiques .PS 69.

